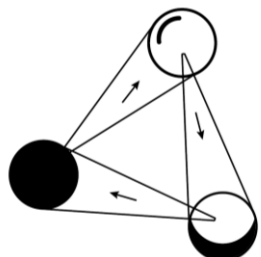


Detection of extremely weak signals at room temperature for radioastronomy and Earth observation applications



**MILLIMETER AND
SUBMILLIMETER TEAM**

Luis Enrique García Muñoz

**Full Professor
Universidad Carlos III de Madrid**

November 14th 2023

Motivación

Electro optic up-converter

Experiment

Sensitivity as radiometer

Conclusions

Consideraciones previas

Otra dificultad para nuestro *ahora*: *espacio y tiempo* no son constantes! Nuestra velocidad en el tiempo está relacionada con nuestra velocidad en el espacio. Imaginemos nuestra esfera espaciotemporal así:



El límite del amarillo y el azul se mueve según nuestra velocidad.

Cuanto más deprisa se desplace un objeto en el espacio, **más se ralentiza en el tiempo**. En la esfera, la superficie amarilla aumenta; la azul disminuye:



Al ganar velocidad en el espacio, el piloto pierde en velocidad temporal. El tictac de su reloj se ralentiza...

... comparado con el tictac del reloj de Adam.



Consideraciones previas

Una ralentización relativa: el piloto no observaría ninguna ralentización en su reloj. Pero si Adam pudiera observar en detalle el reloj del piloto...

ADAM



...vería que este se ha ralentizado unas millonésimas de segundo cada segundo, en comparación con el suyo.

PILOTO

- 0,0004
NANOSEGUNDOS

Un objeto inmóvil en el universo solo se desplazaría en el tiempo en relación con todos los demás. Por tanto, la esfera sería completamente azul:



Ten en cuenta que tal objeto no existe en el cosmos (... mucho menos un banco sobre una piedra).

Consideraciones previas

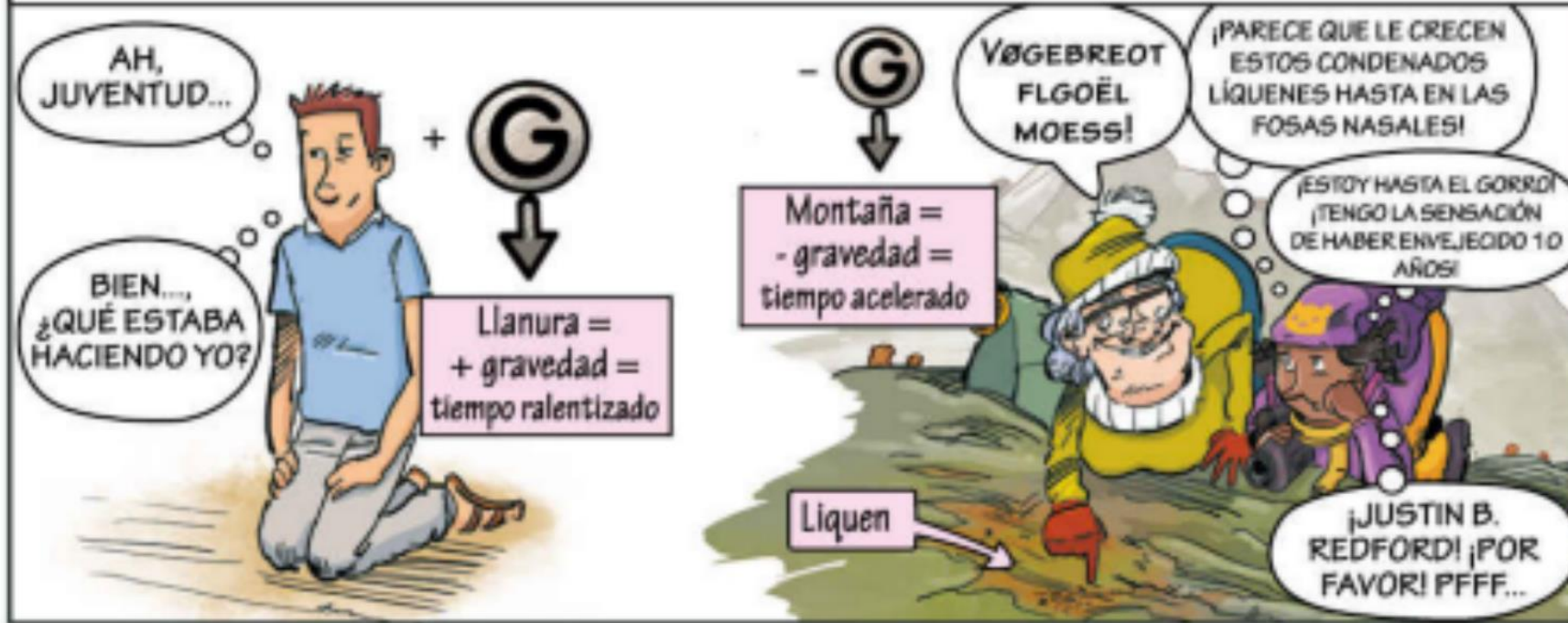
Por el contrario, la luz se desplaza a la velocidad máxima. Siempre se aleja de nosotros a 300.000 kilómetros/segundo*, cualquiera que sea nuestra velocidad: está como fuera del tiempo.



* Exactamente: 299.792.458 km/s.

Consideraciones previas

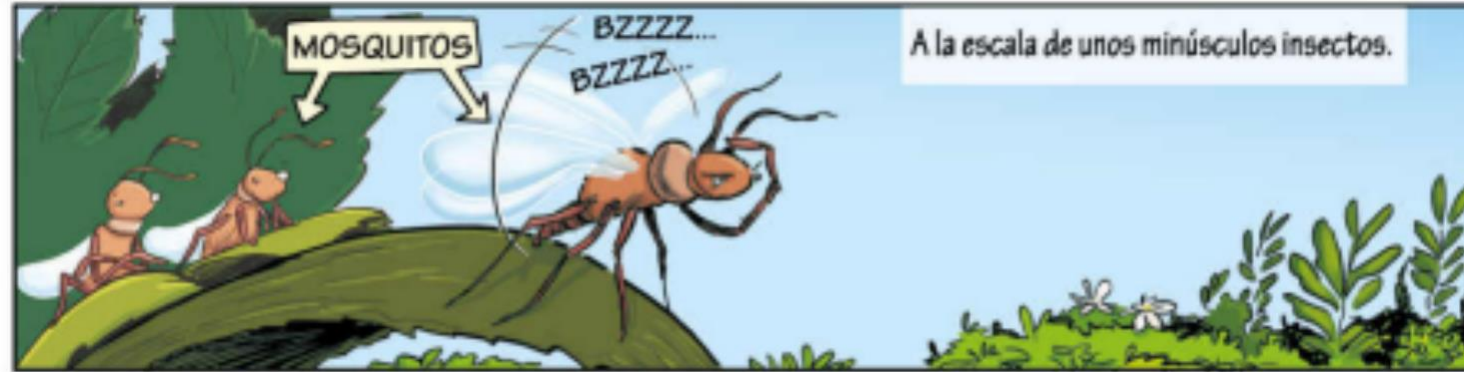
Compliquemos el asunto con un segundo ralentizador temporal: la gravedad, cuya acción hace que los objetos se atraigan entre sí en proporción a su masa. Cuanto más fuerte es la gravedad, más ralentiza el tiempo. Ahora bien, la gravedad es más pronunciada en altitudes bajas, de manera que allí el tiempo pasa ligeramente más lento que en la montaña.



He aquí el problema (aparte de la ausencia de Justin B. Redford). En varios puntos del globo, todos concuerdan en un *ahora* a las 10 h 00 min y 00,0 segundos. Pero una medición más precisa señala el fin de la simultaneidad: en cada uno de esos lugares imperan condiciones distintas de gravedad y de velocidad de desplazamiento. Además, unas centésimas de segundo los separan debido a la velocidad de la luz.

Consideraciones previas

En resumen: el *ahora* de unos difiere en algunos nanosegundos con respecto al *ahora* de otros. Dado que nuestros sentidos son incapaces de percibir el mundo por debajo de alrededor de una décima de segundo, las 10 h 00 min 00,00 s UTC solo nos proporcionan la ilusión de un tiempo simultáneo en todos los lugares de la Tierra.



Consideraciones previas



Consideraciones previas

Cualquier conversación telefónica (onda de radio), imagen (onda de luz visible) u otra onda electromagnética emitida en nuestro planeta también sale al cosmos. Esta onda tarda casi un segundo y medio en llegar a la Luna, nuestro «matorral cósmico» más cercano. Así, la escala del tiempo de transmisión cambia: de un máximo de unos 0,1 segundos en la Tierra, pasa a poco más de 1 segundo.



Consideraciones previas



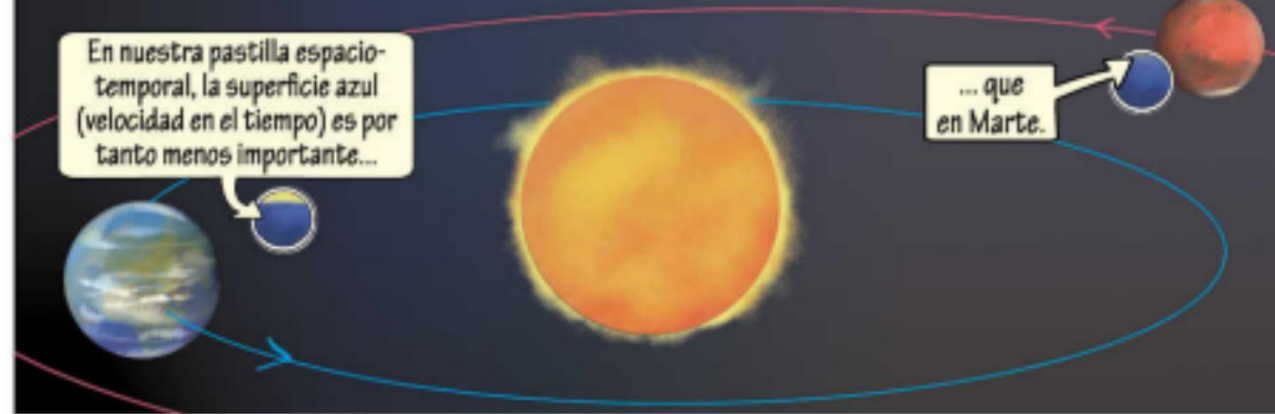
Consideraciones previas



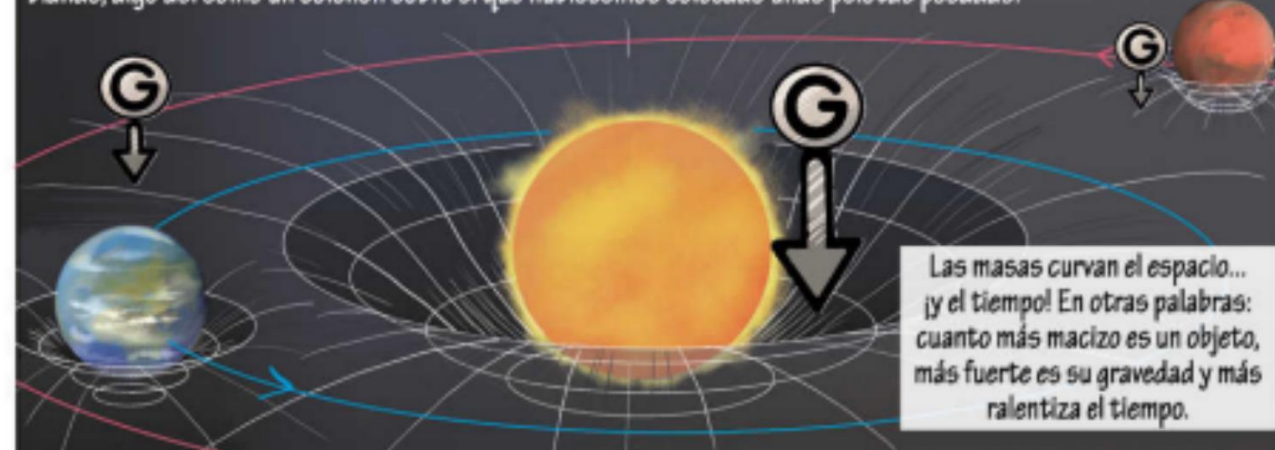
Podríamos definir un instante «t» para compensar el intervalo de 20 minutos necesarios para la llegada de la señal. Pero, una vez más, sería imposible observar las dos escenas de aquí abajo de manera simultánea, en pantallas, por ejemplo. Un instante «t» entre la Tierra y Marte tendría incluso cierto aire surrealista.

Consideraciones previas

Además, recuerda: un objeto se desplaza en el espacio (en amarillo → en la pequeña esfera), pero también en el tiempo (en azul →). La velocidad combinada de su velocidad en el espacio y en el tiempo equivale a la esfera entera: es la velocidad de la luz, siempre constante. Ahora bien, la Tierra orbita unos miles de km/h más rápido que Marte. Un observador situado en el Sol, por ejemplo, mediría que el tiempo pasa un poco más lentamente en la Tierra que en Marte.



Añadimos un elemento del que ya hemos hablado: la gravedad. Al integrar la gravedad a la relatividad restringida, Albert Einstein descubrió la **relatividad general**. Esta demuestra que todo el espacio-tiempo es blando, algo así como un colchón sobre el que hubiésemos colocado unas pelotas pesadas.

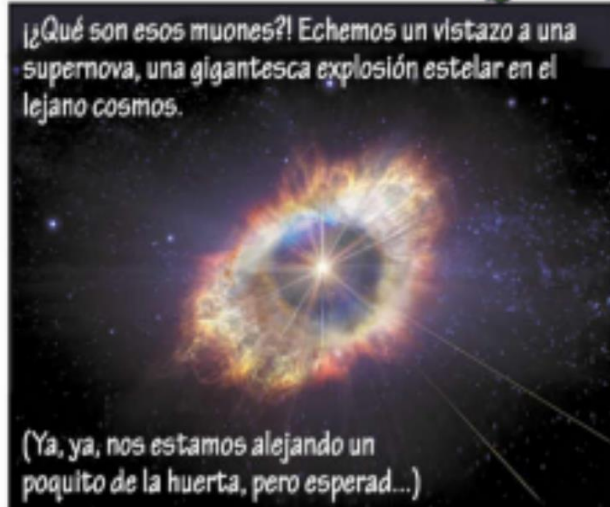
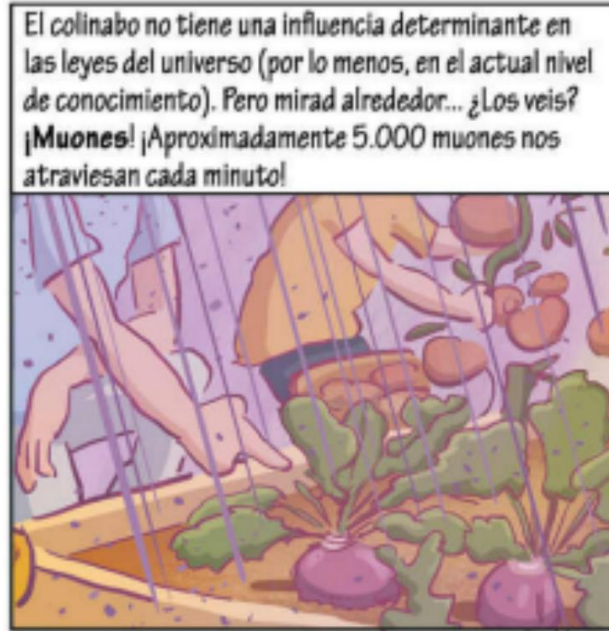


Consideraciones previas

La Tierra y Marte tienen **sistemas de referencia distintos**. Su gravedad, su velocidad y, por tanto, su tiempo, difieren. La diferencia es imperceptible, pero mensurable. Además, una distancia muy grande entre los objetos cósmicos también influye en la desincronización temporal, como veremos más adelante.



Consideraciones previas



Consideraciones previas



Consideraciones previas

Pues bien, los muones viven 0,000002 segundos, pero desde su punto de vista. Desde el nuestro, los muones viven mucho más tiempo gracias a su fantástica velocidad, cercana a la de la luz. Demostración...



Debido a su velocidad, su reloj va más lento que el nuestro. Mientras que para él pasan 2 pequeñas millonésimas de segundo, para nosotros transcurren varias milésimas de segundo.



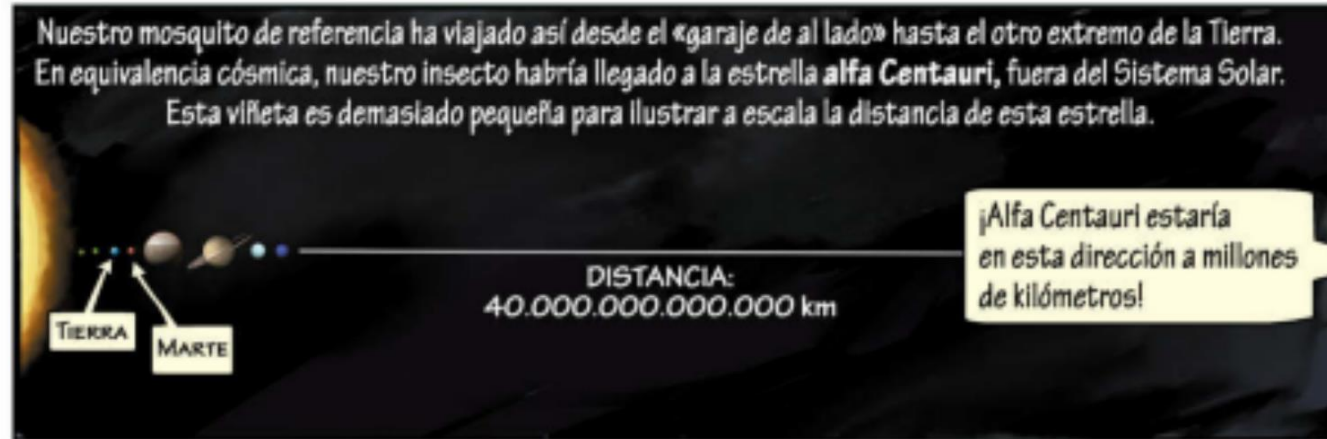
Consideraciones previas



Consideraciones previas



Consideraciones previas



Consideraciones previas



Consideraciones previas

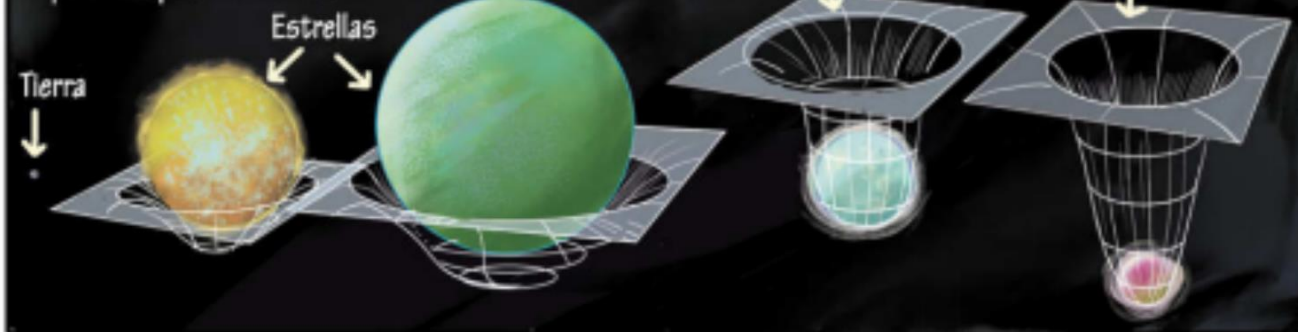


Consideraciones previas

Así que, aunque en este momento estés sentado, viajas a más de 2 millones de km/h. Nuestro universo visible cuenta con miles de millones de galaxias circulando a velocidades variables, a veces cercanas a la de la luz: para ellas, el tiempo «transcurre» mucho más lentamente que para nosotros...



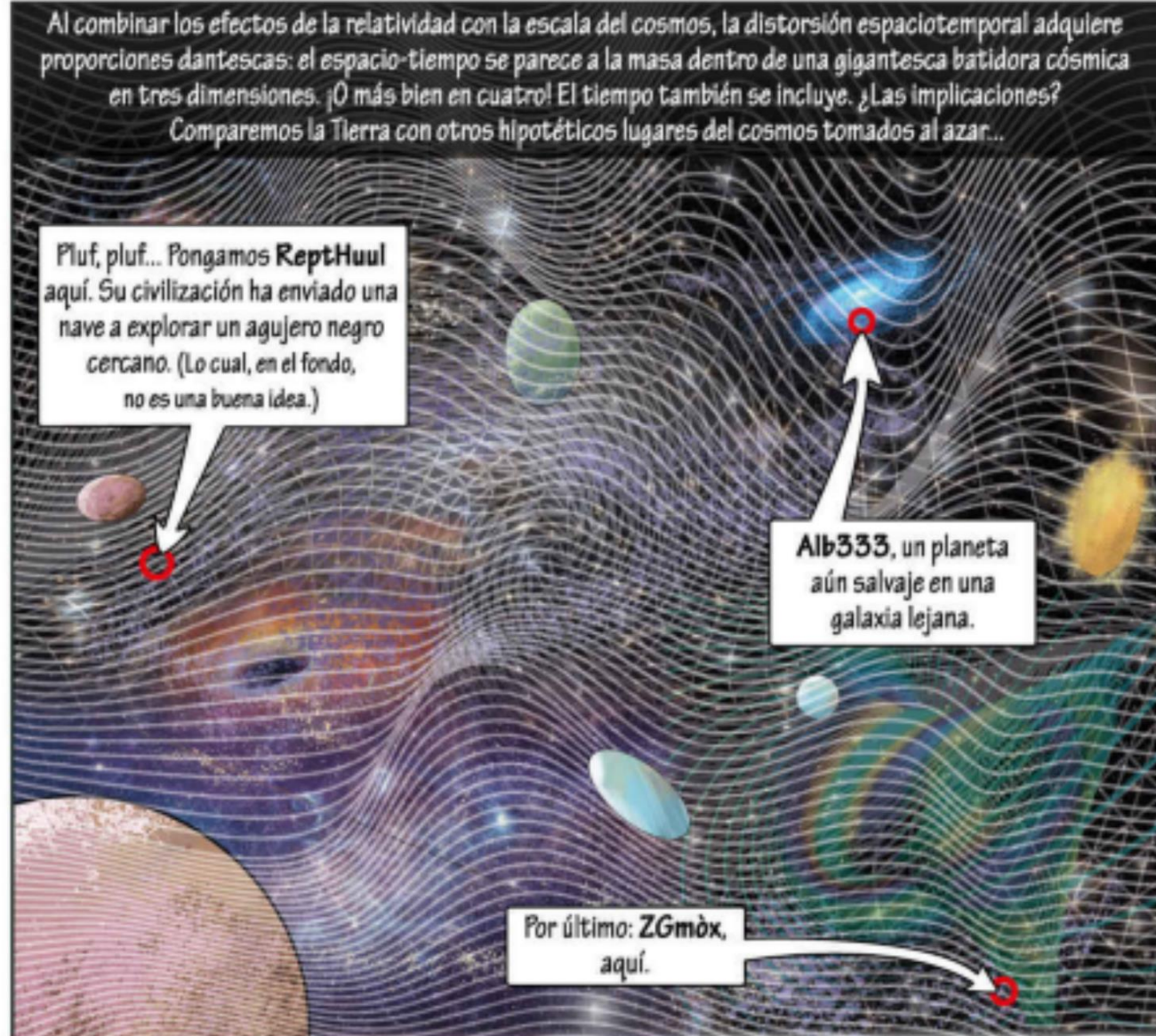
Cada uno de estos millones de galaxias contiene a su vez miles de millones de estrellas, planetas y cuerpos celestes con masas en ocasiones gigantescas. Todos curvan el suave colchón espaciotemporal del universo.



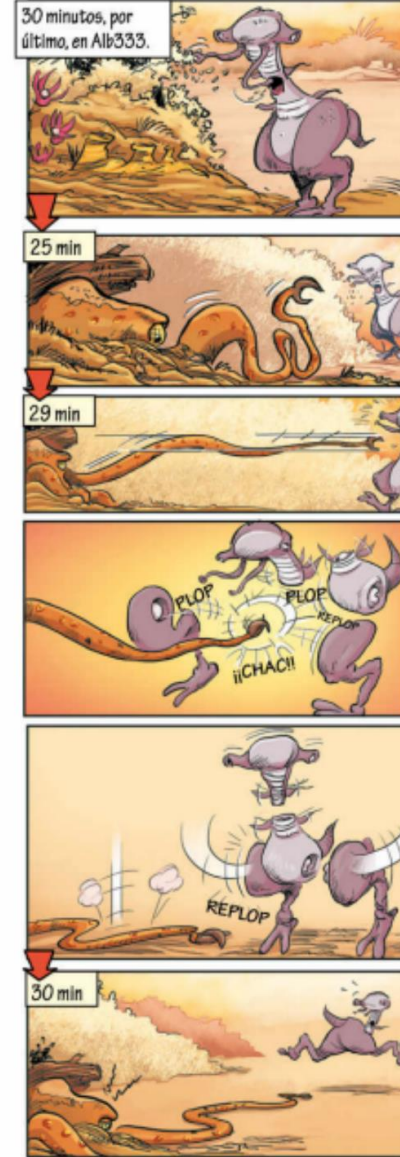
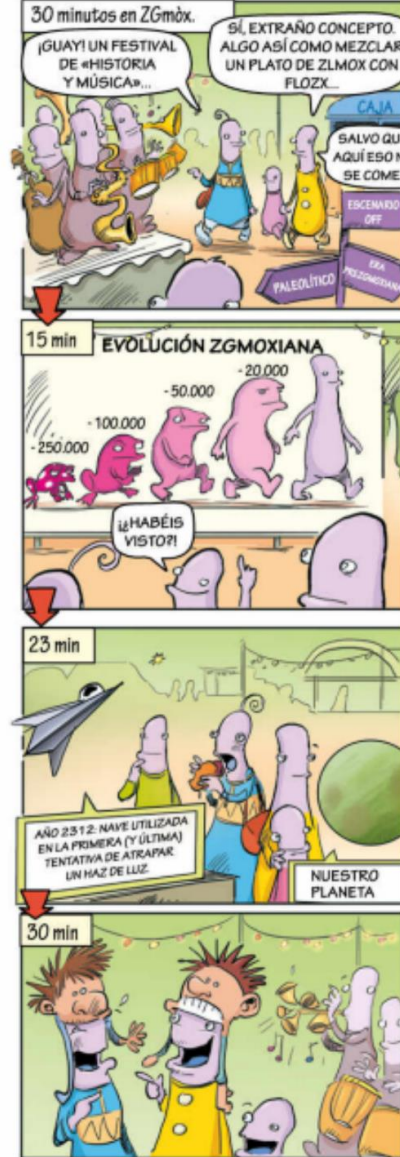
Consideraciones previas



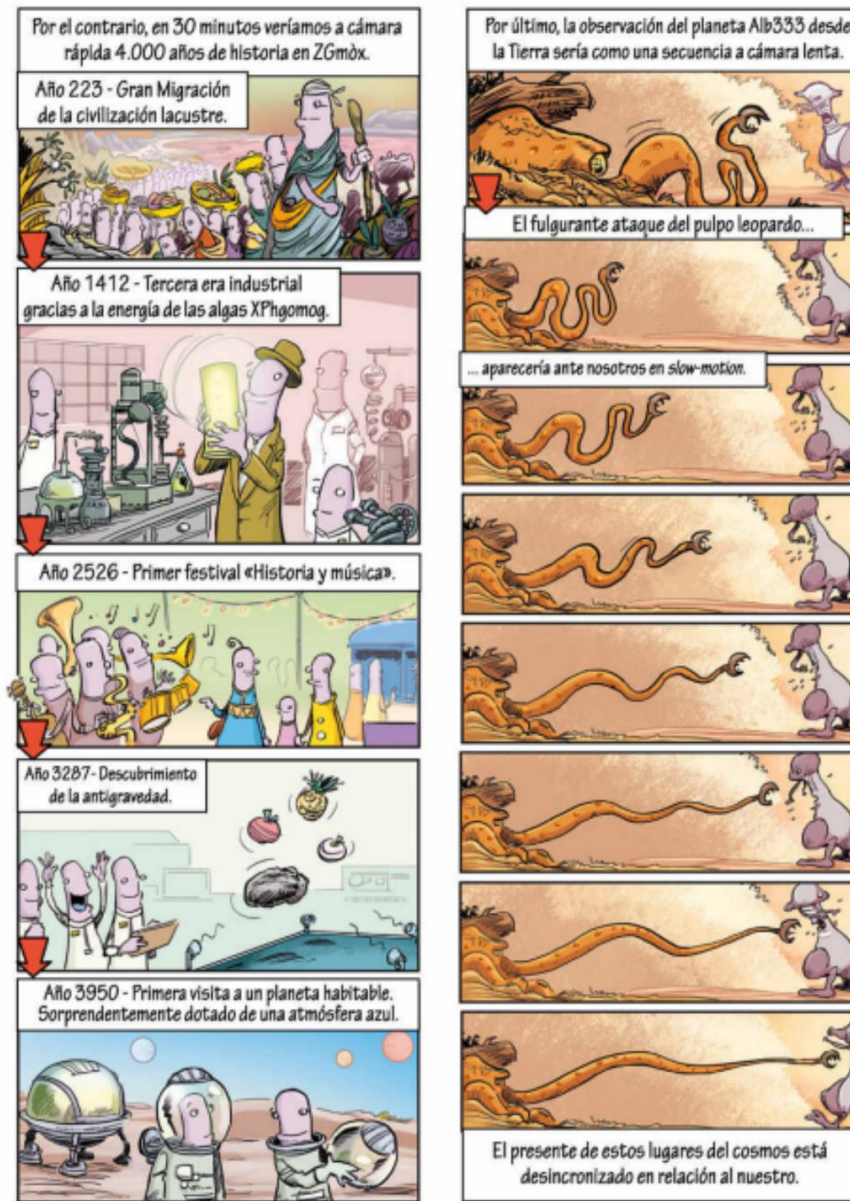
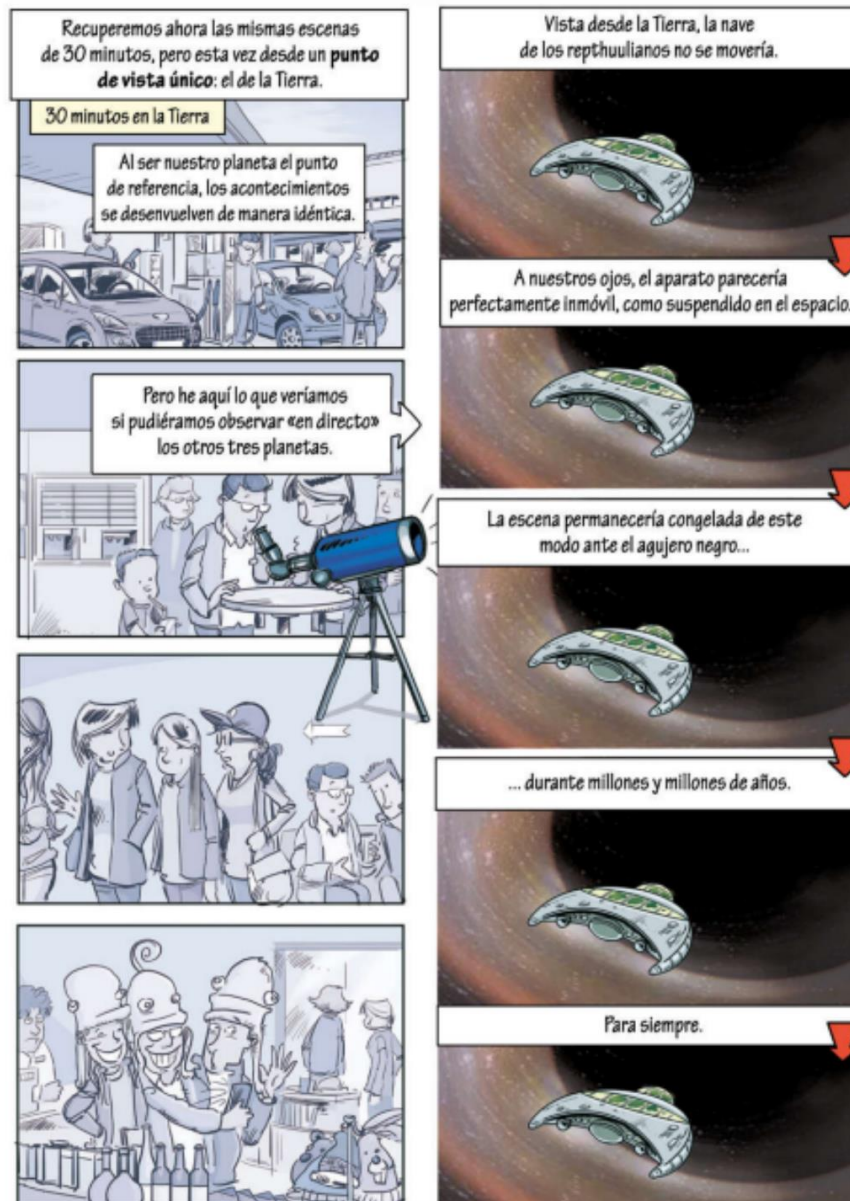
Consideraciones previas



Consideraciones previas

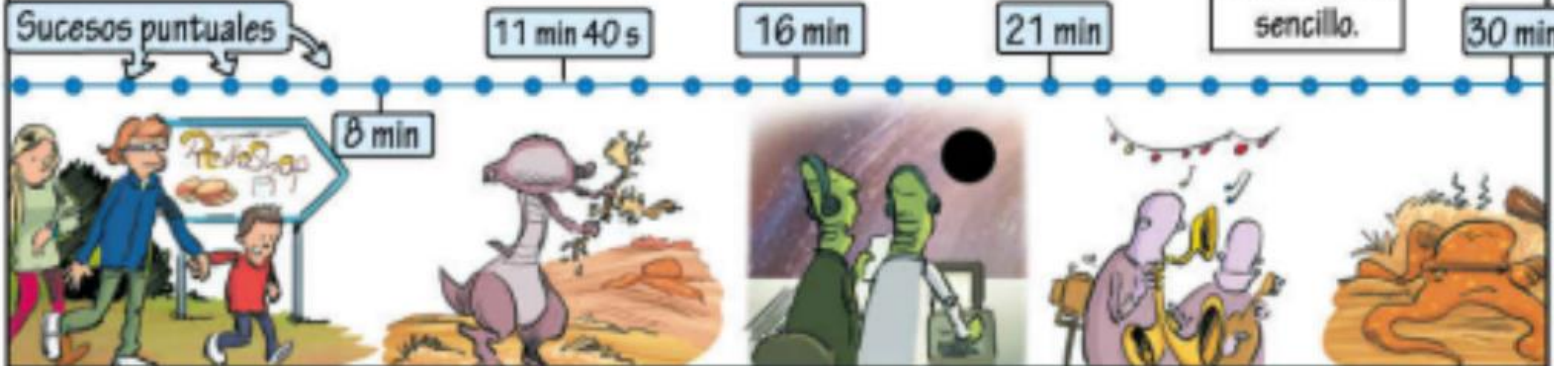


Consideraciones previas



Consideraciones previas

Entremos en detalle. Un suceso es como un punto en el espacio-tiempo: así, nuestra vida es una secuencia continua de sucesos puntuales. Estos puntos son los que mide un reloj, es nuestro tiempo propio, esa sensación del paso del tiempo. Universal.

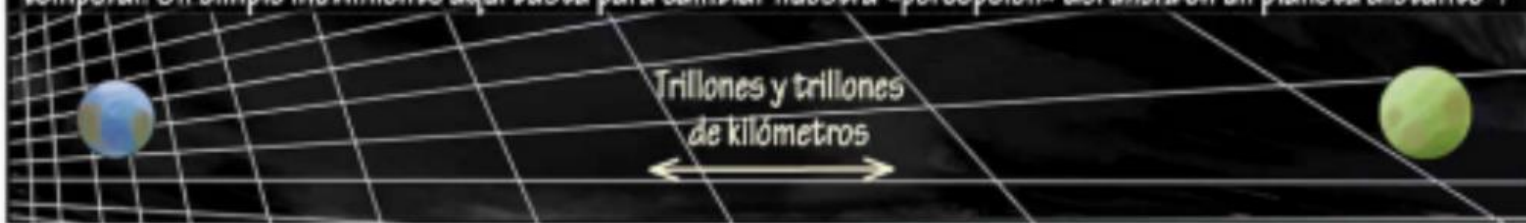


¡Pero la «cronogeometría» del universo lo cambia todo! A consecuencia de la elasticidad del espacio-tiempo debida a las velocidades y gravedades variables, una historia que tenga lugar en un rincón del cosmos vive un *ahora* desincronizado en relación a otras historias en otros lugares del universo.



Consideraciones previas

Por si esto fuese poco, cuanto más distantes están dos objetos, más significativa es la variación de su crono-geometría: según las leyes de la relatividad, una gran distancia actúa como amplificador de la desincronización temporal. Un simple movimiento aquí basta para cambiar nuestra «percepción» del *ahora* en un planeta distante.



Dicho de otro modo: «El *ahora* de una galaxia lejana [...] cuando camino puede diferir en miles de años con respecto al *ahora* de la misma galaxia cuando estoy inmóvil», escribe el astrofísico Trinh Xuan Thuan. Imaginemos que Zoé y Adam pudieran ver el *ahora* del planeta ZGmòx. En la práctica, es imposible. Pero aceptemos que poseen una especie de visión mágica.

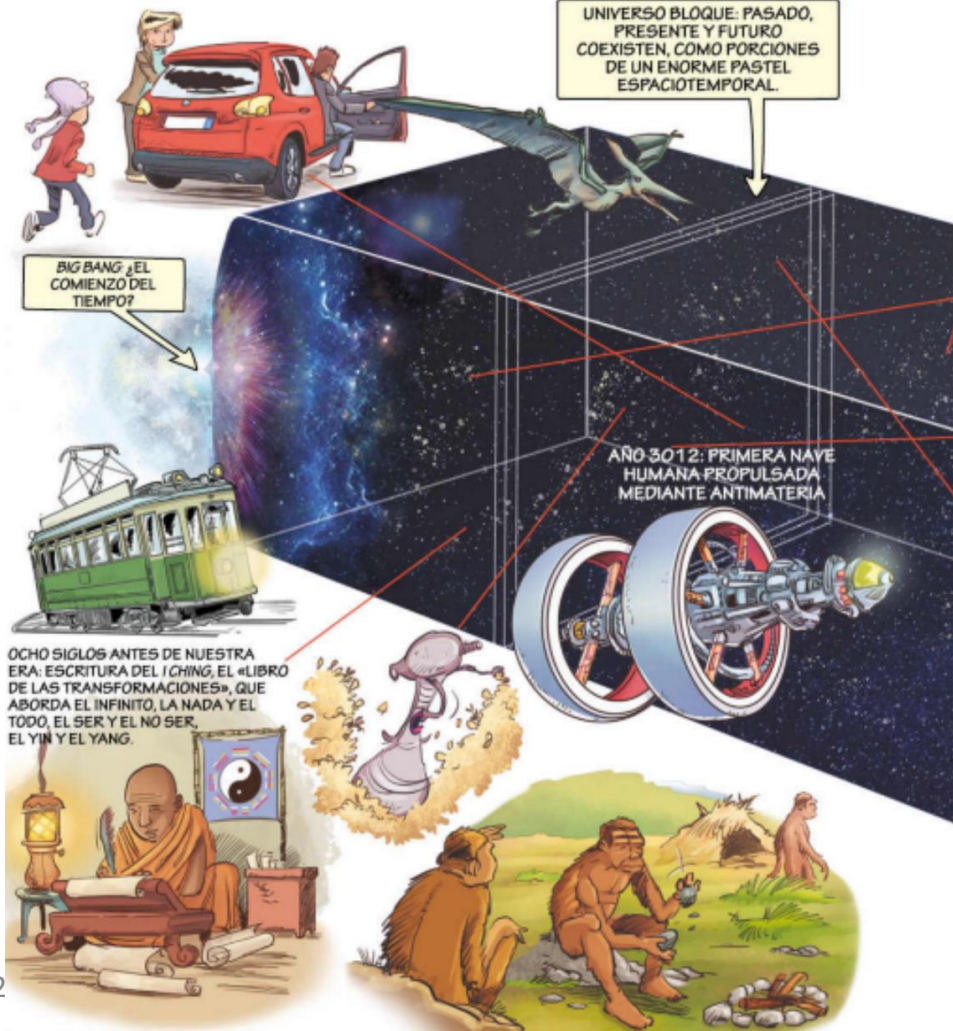


Consideraciones previas

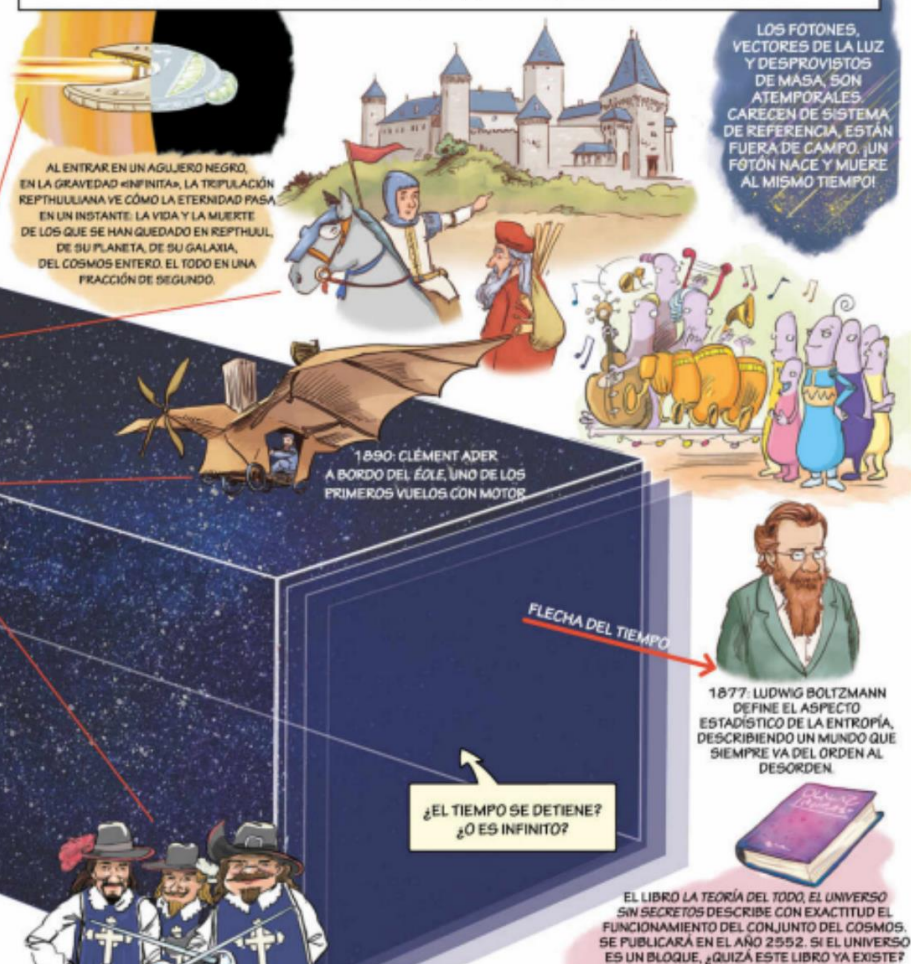


Consideraciones previas

Volvamos a nuestra pregunta inicial: **¿Qué hora es en el universo?** Esto es lo que nos dice la relatividad: los constituyentes del universo no son objetos tridimensionales existentes en la duración, sino más bien objetos tetradimensionales cuya componente temporal está integrada en las componentes espaciales. El tiempo, al igual que el espacio, no pasa. Por consiguiente, pasado, presente y futuro se confunden en una especie de universo bloque donde todos los momentos están al mismo nivel, sin cronología.



La relatividad de Einstein, ilustrada mediante este «universo pastel», nunca ha sido refutada. Por tanto, sigue siendo en la actualidad la descripción más sólida que tenemos del tiempo, aunque, sin duda, sea incompleta. La mayoría de los investigadores consideran insatisfactoria la idea de un tiempo que se presentaría como un bloque estático. De hecho, resulta difícil admitir la ausencia de tiempo, un futuro predeterminado, sin libre albedrío.



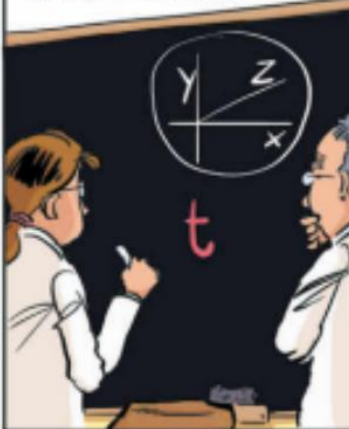
Para completar este extraño cuadro parece que habrá que descubrir una nueva física. Pero ¿cuál? ¿Cómo explicar, por ejemplo, nuestra percepción del paso del tiempo? A esta pregunta, Roger Penrose, uno de los más brillantes físico-matemáticos de nuestro tiempo, respondió: «Me encantaría saberlo».

Consideraciones previas

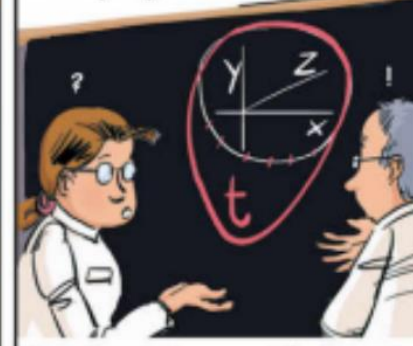
El debate existe. Recordemos que la teoría del universo bloque carga con algunos pesaditos...



¿Sería completamente necesario incluir el tiempo «t» en las ecuaciones? ¿Mezclarlo con las tres dimensiones?



Algunos físicos piensan que no. En su opinión, «espacializar» el tiempo es un error: matemáticas y realidad no tienen por qué rimar.



Para ellos, el tiempo es el fundamento de lo real, no una ilusión.

Tal vez un espacio-tiempo cuántico reconciliaría a todo el mundo. Problema: las ecuaciones de la relatividad (que describen lo infinitamente grande) y las de la física cuántica (que describen lo infinitamente pequeño*) son incompatibles*. Para reunirlas, habría que encontrar una naturaleza cuántica en la gravedad. Coexisten varias teorías...

Así por ejemplo, la teoría de la gravedad cuántica de lazos imagina un universo compuesto de minúsculos granos -o cuantos- de espacio-tiempo, en lugar de un universo bloque estático.



El espacio-tiempo sería así una nube probabilística cuántica cuya realidad emergiría de lo infinitamente pequeño. Todavía especulativa, esta teoría elimina el problema de un futuro ya determinado.

Consideraciones previas

También solucionaría la densidad infinita del agujero negro. Este podría contener en su centro una «estrella de Planck». A modo de recordatorio, he aquí la visión clásica de un agujero negro:

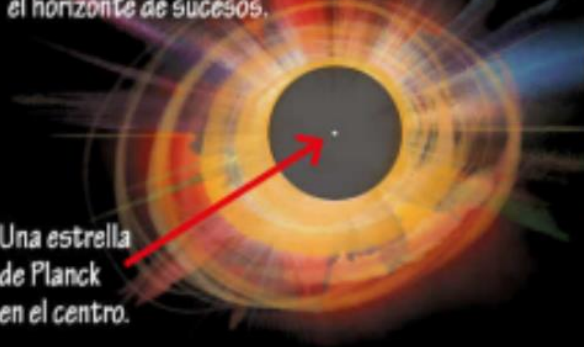
En el medio una singularidad, es decir, una densidad infinita...



... y un ciclo vital de trillones y trillones de años. Pero ¿es este en realidad el caso? ¿Y si...

... un agujero negro fuera de hecho una «explosión»? Su aparente inmovilidad a nuestros ojos solo se debería a la ralentización temporal creada por la gravedad. Como la nave reptHuillana congelada ante el horizonte de sucesos.

Una estrella de Planck en el centro.



Esta «explosión», un colapso y luego un rebote, sería causada por el franqueamiento de una densidad-límite (por tanto, no infinita) que supondría el paso de un agujero negro...

... hacia un agujero blanco!

Una especie de gemelo invertido del agujero negro del que es posible salir pero no entrar.



«La relatividad general predice la posibilidad de agujeros blancos», explica el físico Carlo Rovelli, coautor de la teoría.



Existen otras hipótesis. Todas tratan de resolver los enigmas de los agujeros negros y el tiempo. Y todas buscan pruebas.

Consideraciones previas

Pero en el estado actual del conocimiento, la relatividad nos dice que el tiempo es una línea inmóvil que se extiende hasta el infinito en las dos direcciones. Por otra parte, la variable tiempo no existe en las ecuaciones físicas fundamentales: para ellas, el tiempo no tiene dirección.



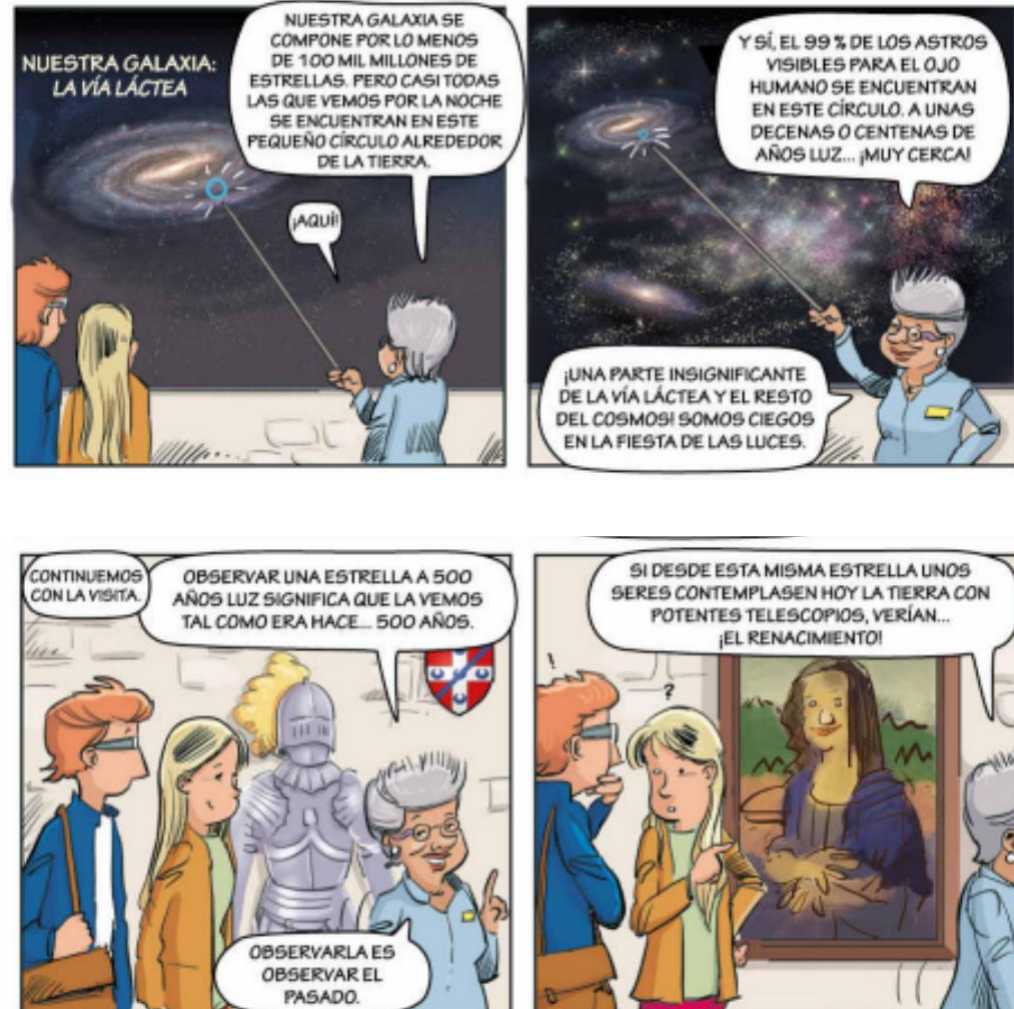
En otras palabras, las cosas pueden suceder en un sentido o en otro: los copos de nieve ascender hacia las nubes, los huevos rotos repararse. Como una película que reproduciremos hacia atrás.



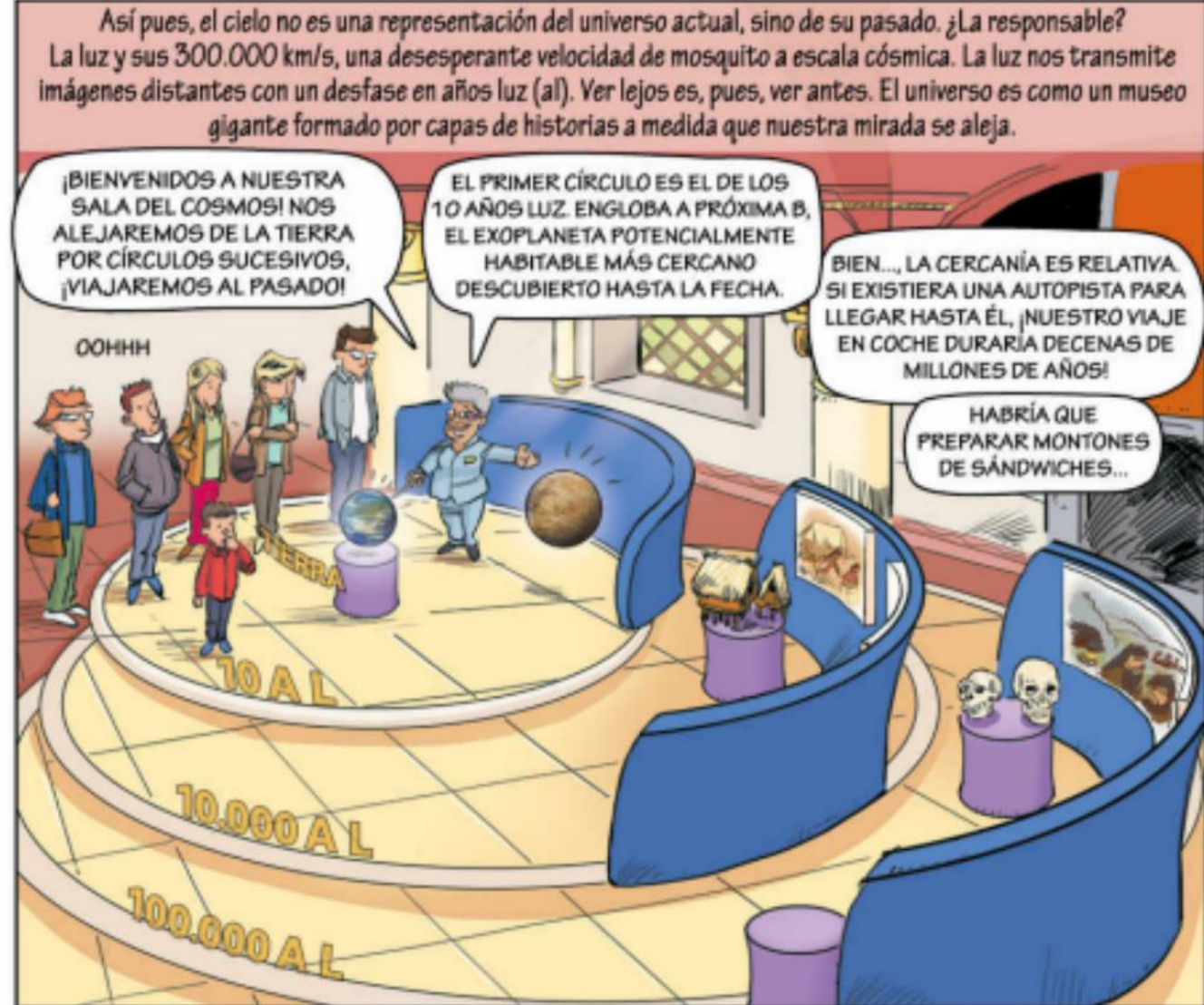
Nunca sucede porque hay un sentido, una flecha en el tiempo. Y esta se debe a un único factor: la termodinámica y su segundo principio. Por su acción, sin aporte de energía exterior, tu café pasará de caliente a frío. Nunca al revés.



Consideraciones previas



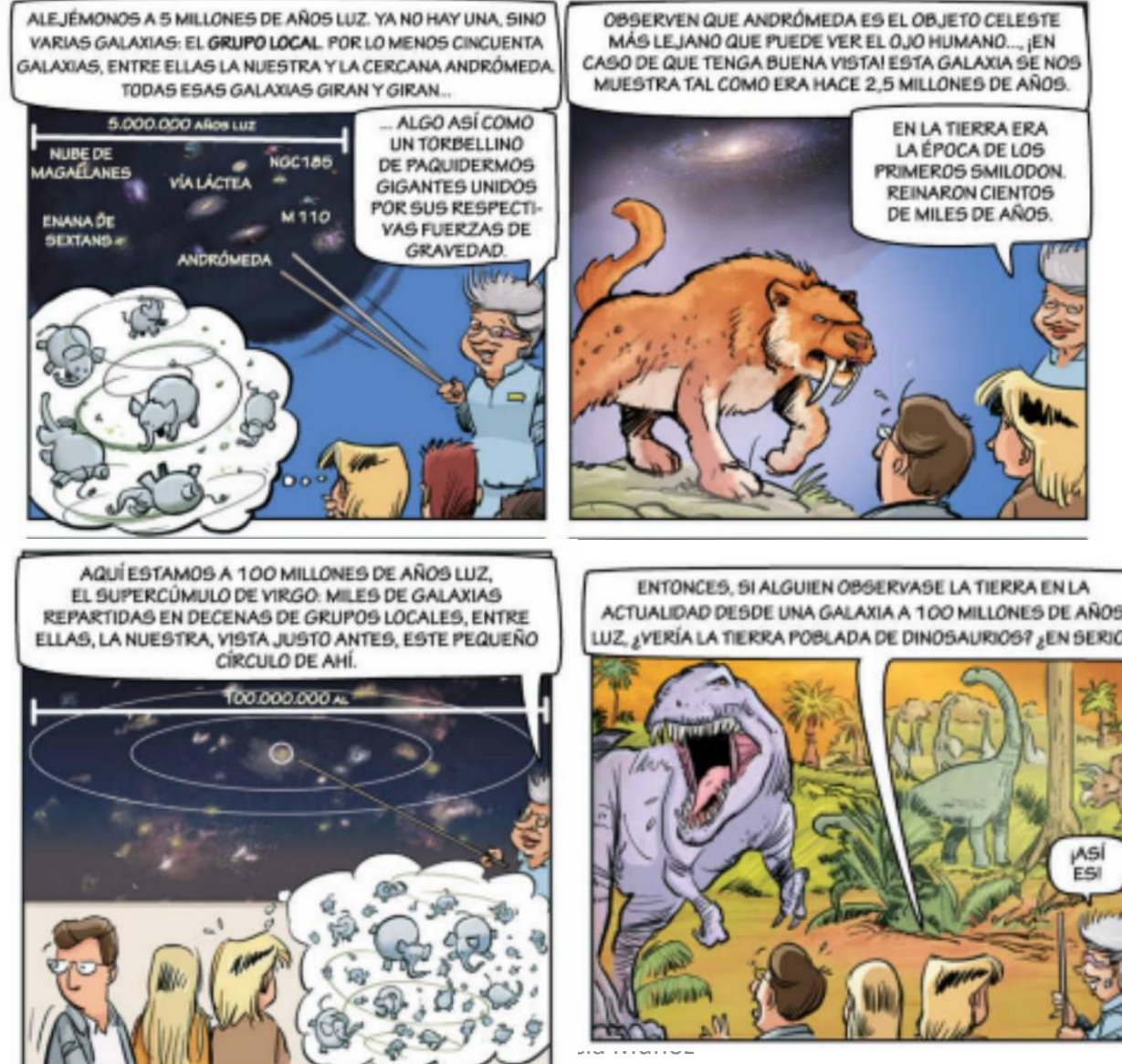
Consideraciones previas



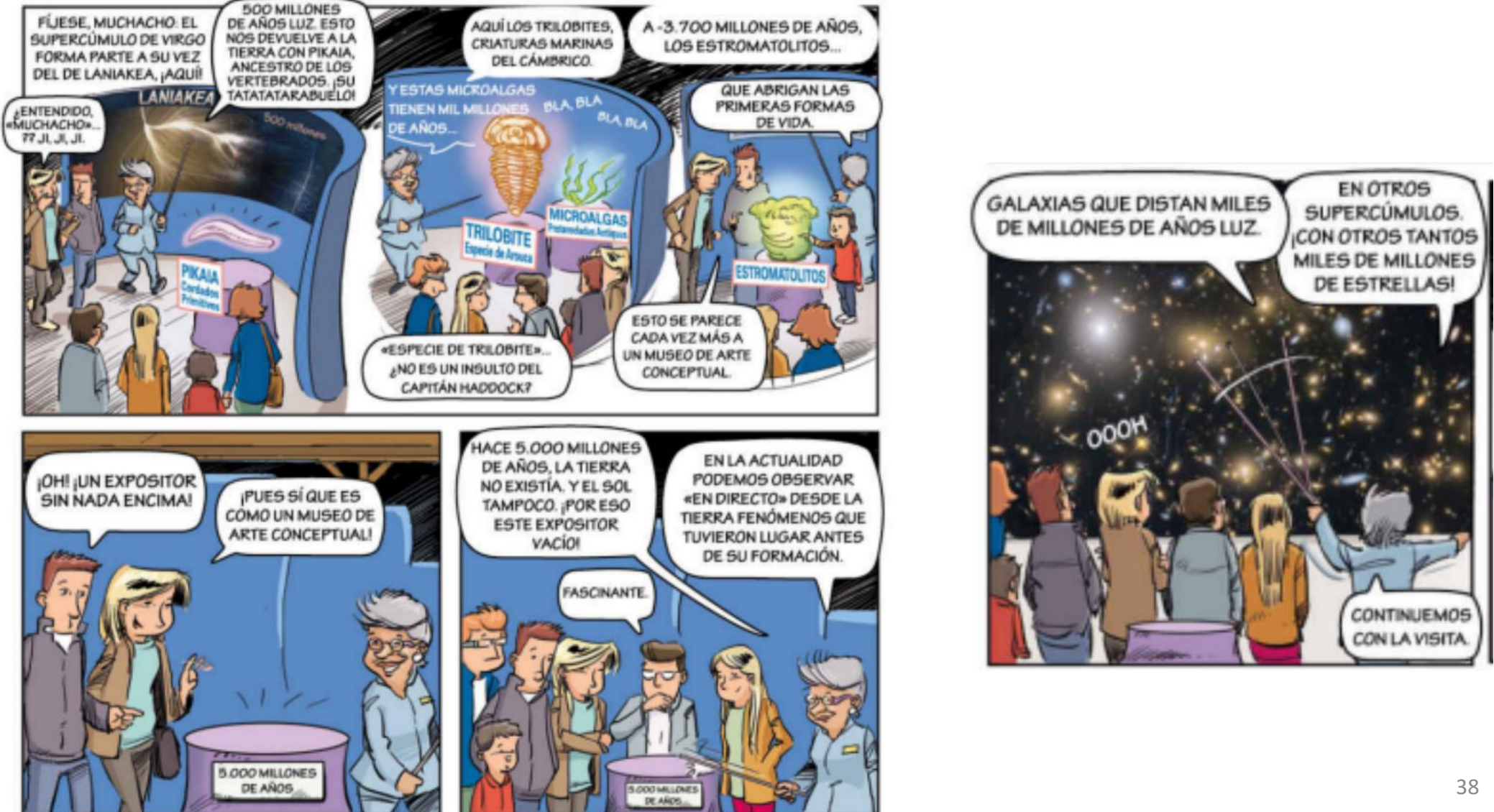
Consideraciones previas



Consideraciones previas



Consideraciones previas



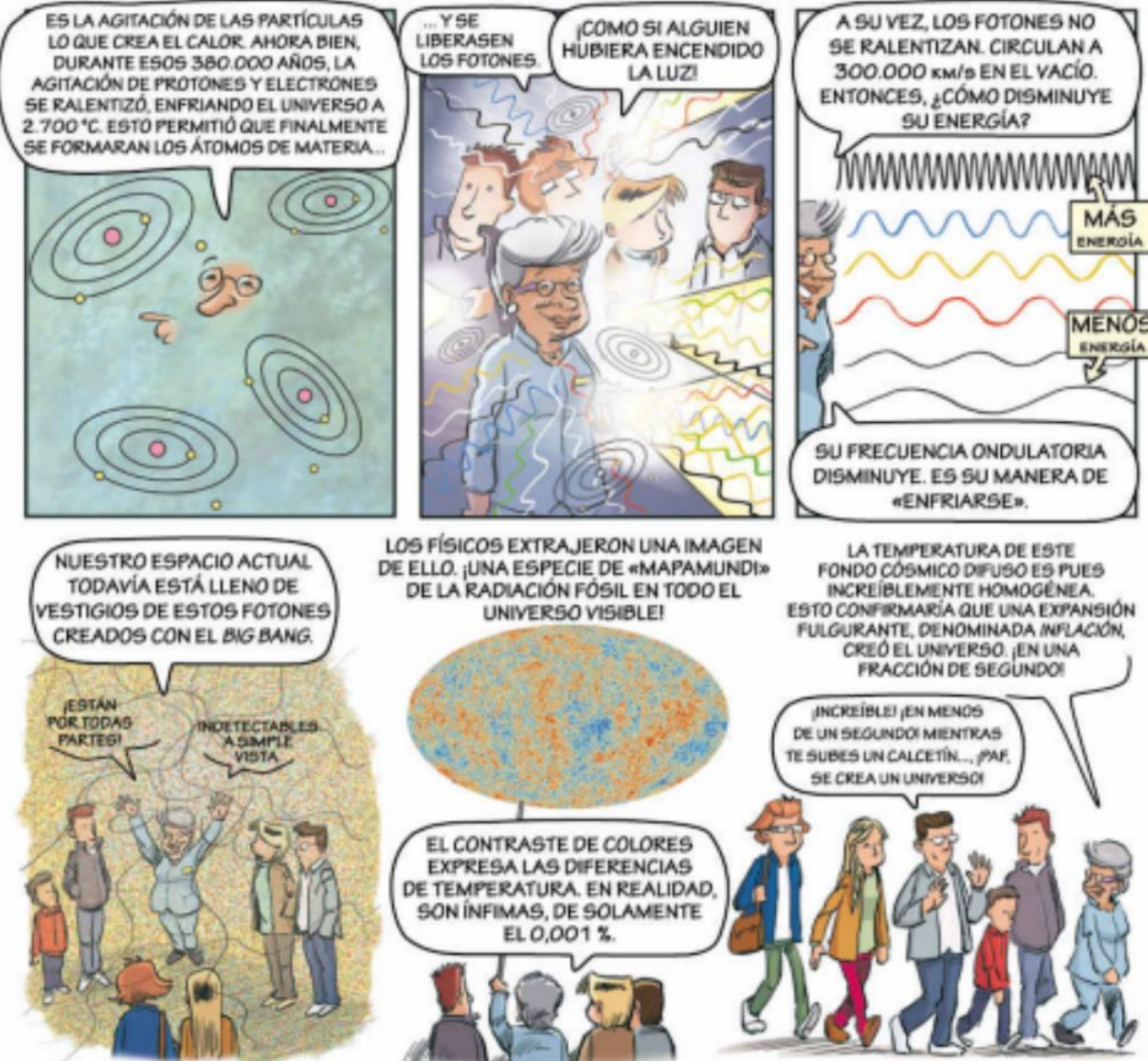
Consideraciones previas



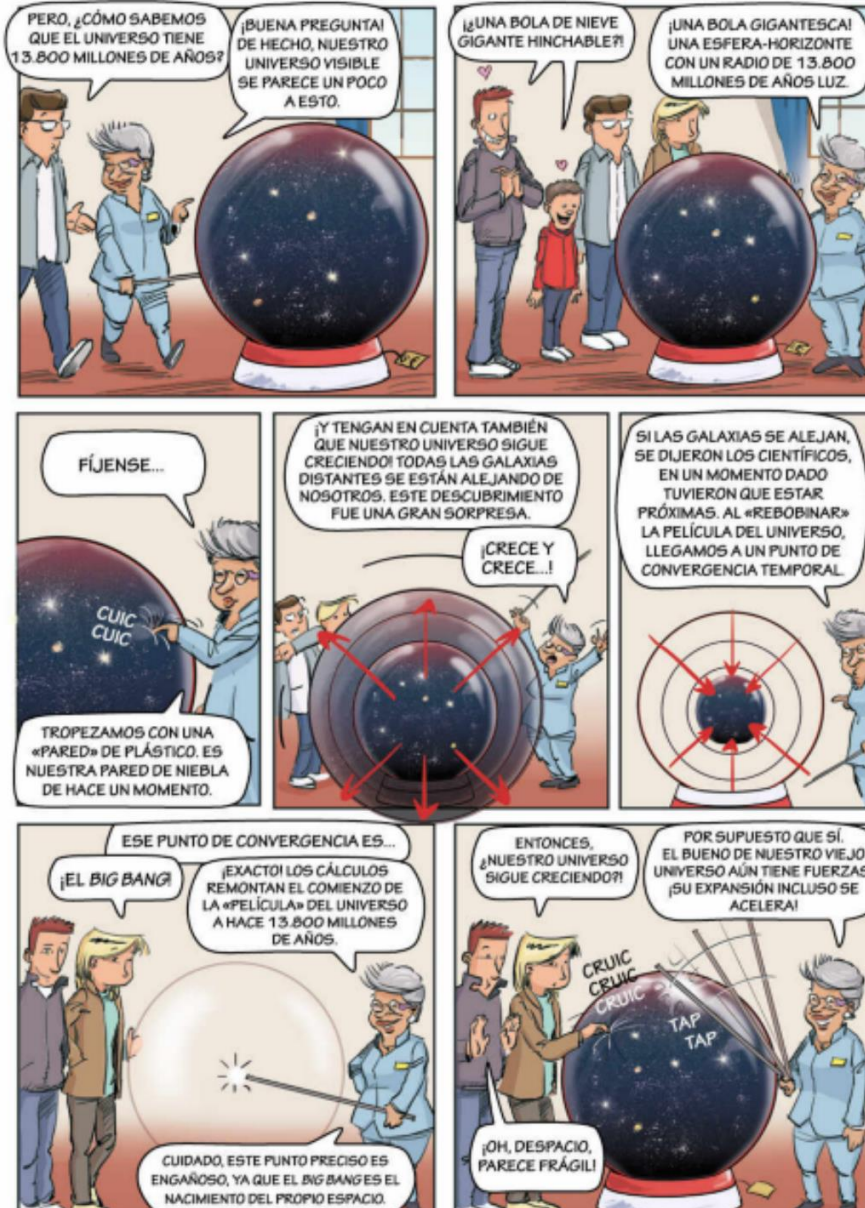
Consideraciones previas



Consideraciones previas



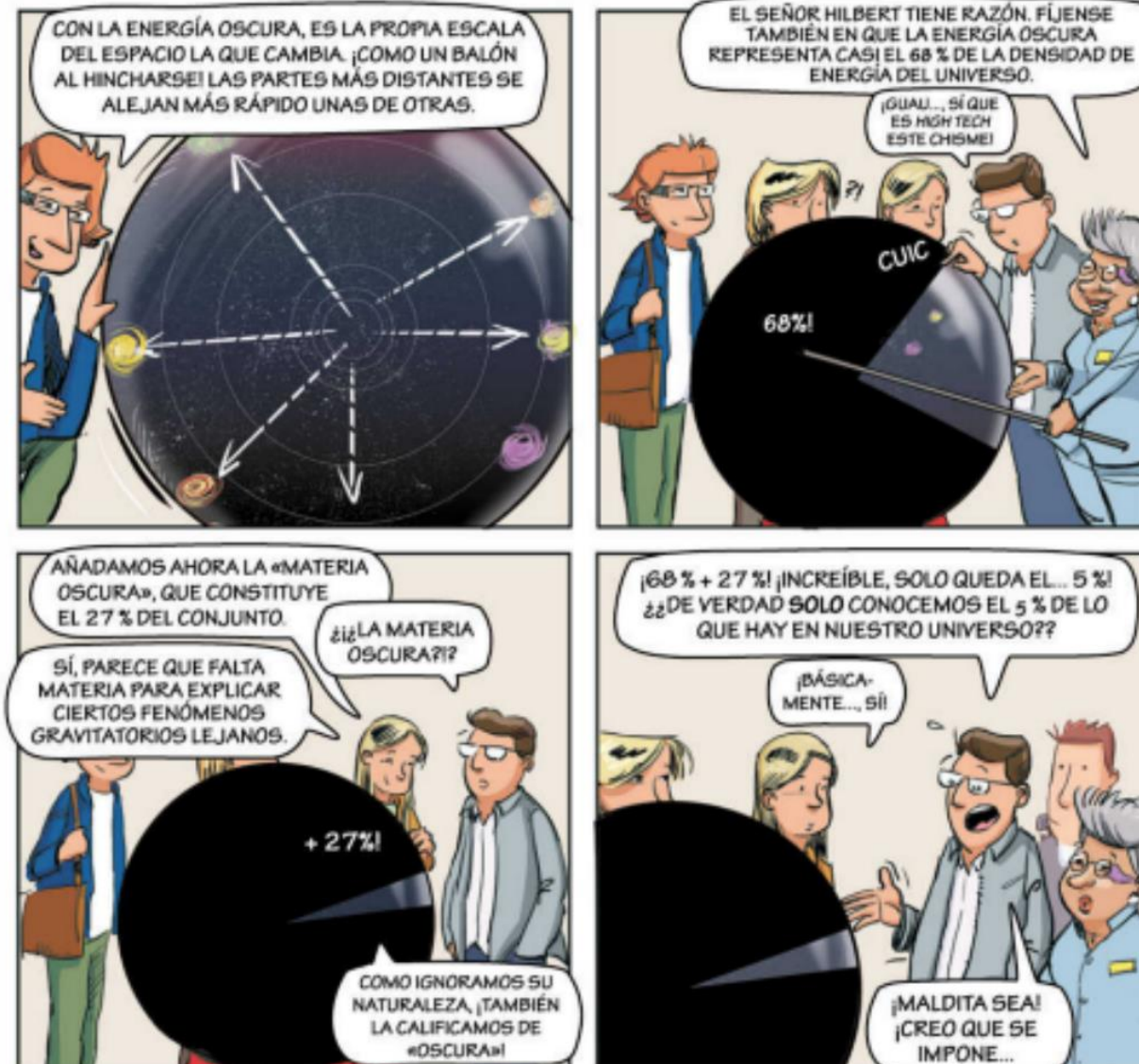
Consideraciones previas



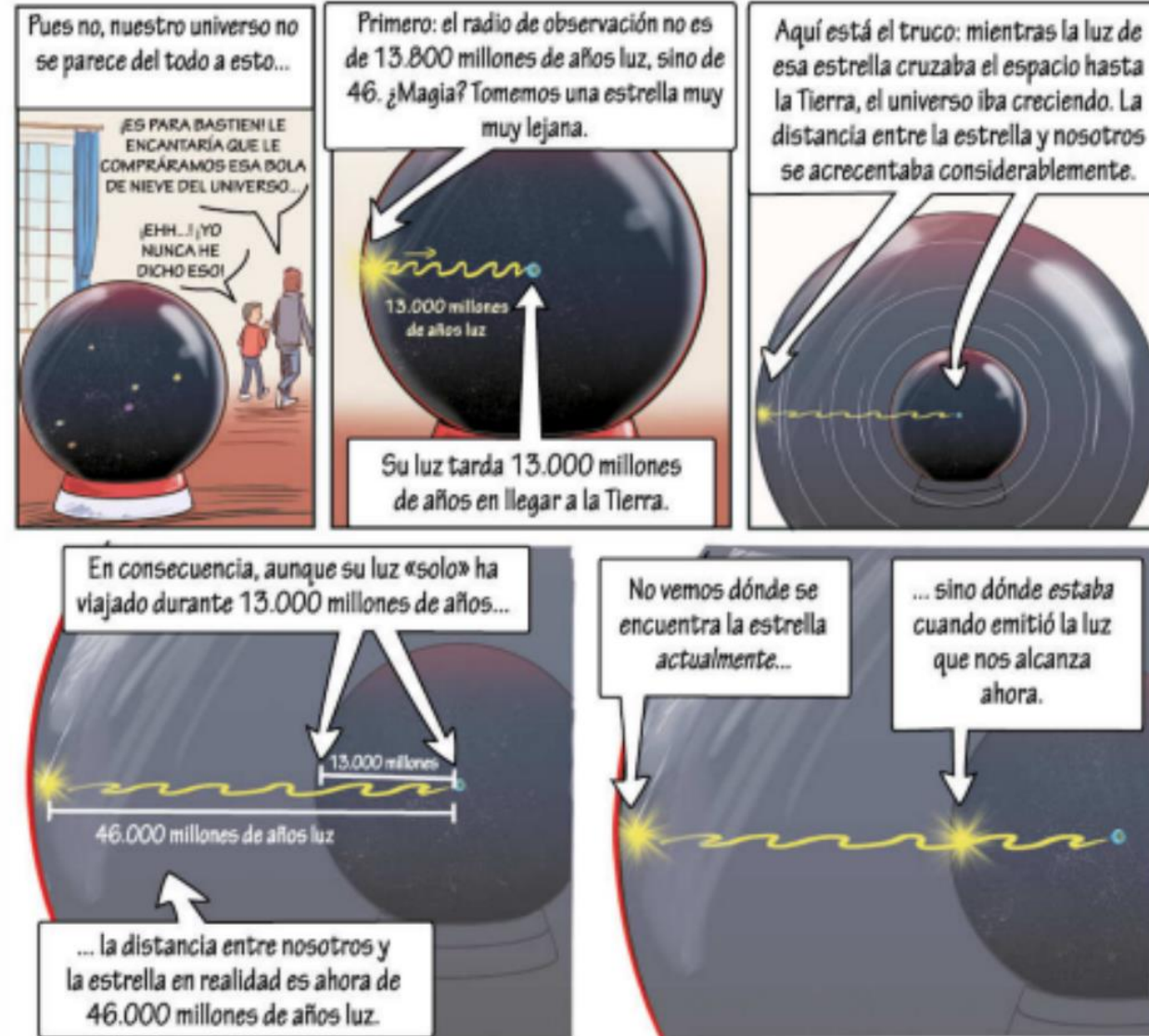
Consideraciones previas



Consideraciones previas



Consideraciones previas

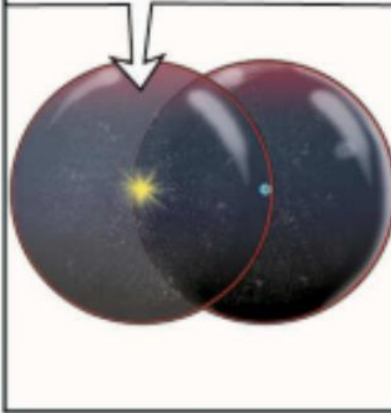


Consideraciones previas

Segundo: estar en el centro del universo es halagador. Pero, por desgracia para nosotros, pequeños terrícolas presuntuosos, esta esfera solo es el centro de **nuestra** zona observable.



La lejana estrella que acabamos de mencionar también posee su propia esfera-horizonte de observación en el cosmos, diferente de la nuestra.



Y, en realidad, cada cuerpo celeste está en el centro de su propia esfera-horizonte.



El horizonte observable desde la Tierra no es más que una insignificante bolita en un universo mucho, MUCHO más vasto. ¿Cuánto de vasto? ¿A qué se parece el universo entero? ¿Es finito o infinito?



No tenemos una respuesta definitiva a estas preguntas: por culpa de los límites de nuestra esfera-horizonte.

Consideraciones previas

Aun así, hace falta mucho más para desanimar a los científicos, armados con fórmulas matemáticas, satélites, telescopios y otros artillugios de medición.



El estudio conjunto de la densidad del universo y del fondo cósmico difuso brinda importantes pistas.

Así, un triángulo trazado sobre un universo de curvatura positiva, como una patata, vería la suma de sus ángulos superar los 180 grados. Sin energía oscura, la densidad de la materia acabaría provocando que se contrajese sobre sí mismo.

UNIVERSO PATATA



Nuestra esfera-horizonte Suma de los ángulos > 180°

Por el contrario, una curvatura negativa se parecería a una silla de montar, abierta y sin límite. El universo crecería sin fin, incluso sin energía oscura y con independencia de su densidad de materia.

UNIVERSO SILLA DE MONTAR



Ángulos < 180°

Finalmente, el universo podría ser plano como una caja: de curvatura nula. En este caso, la suma de los ángulos sería de 180 grados, como si el triángulo hubiera sido dibujado sobre una hoja de papel.

UNIVERSO CAJA



Ángulos = 180°

La forma del universo está especialmente determinada por la relatividad general: la **densidad** de materia y energía* presentes puede curvar el universo en una dirección... **ALTA densidad**

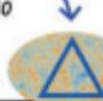


... o en otra.

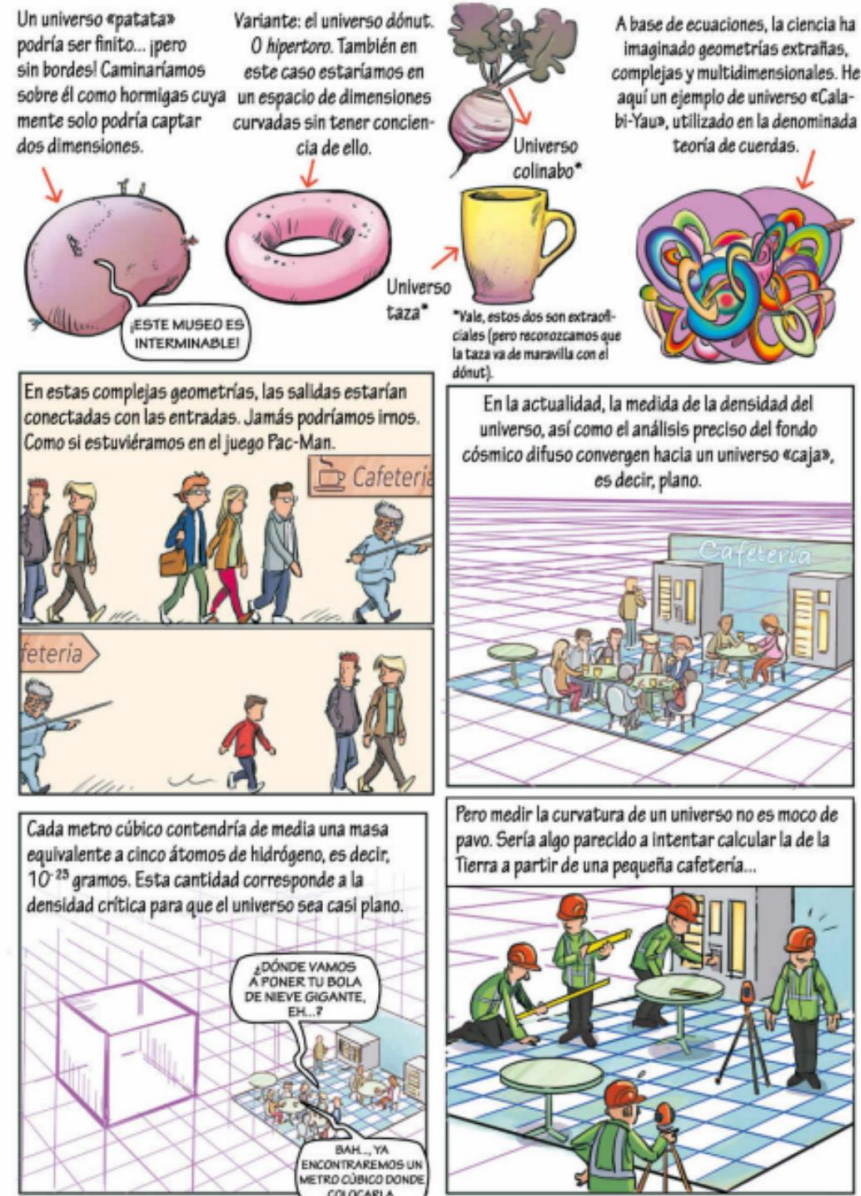


Baja densidad

También podemos imaginar una especie de triángulo cósmico gigante sobre el fondo cósmico difuso: según la curvatura del universo, la suma de los ángulos varía...



Consideraciones previas



Motivación

Electro optics up-converter

Experiment

Sensitivity as radiometer

Conclusions

Radioastronomía y predicción climática

Bandas milimétricas en radioastronomía

Ruido cuántico

Tecnologías en bandas mm y sub-mm

Motivación

Electro optic up-converter

Experiment

Sensitivity as radiometer

Conclusions

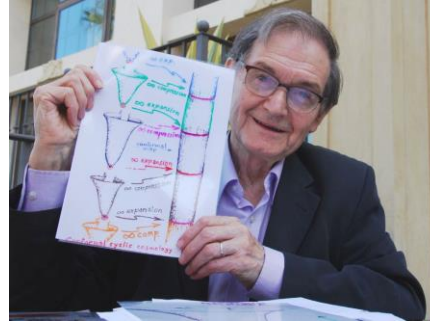
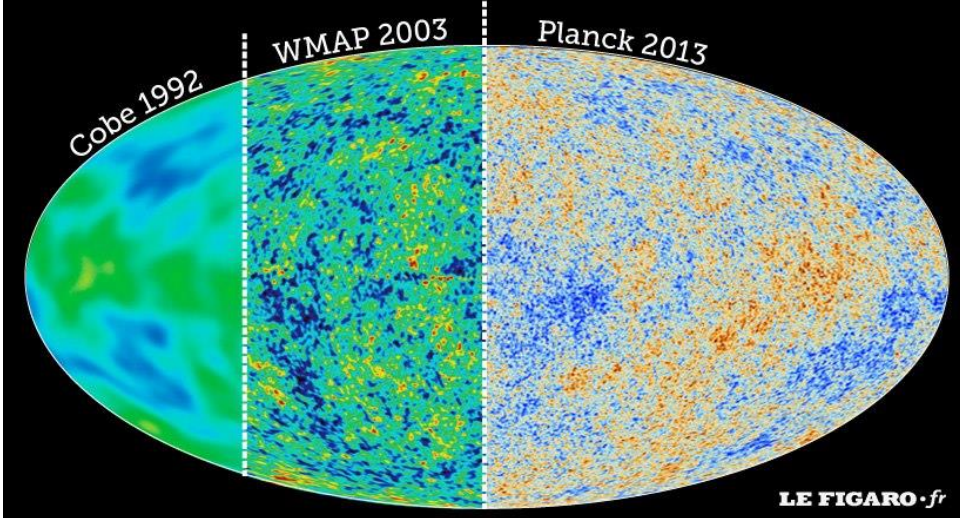
Radioastronomía y predicción climática

Bandas milimétricas en radioastronomía

Ruido cuántico

Tecnologías en bandas mm y sub-mm

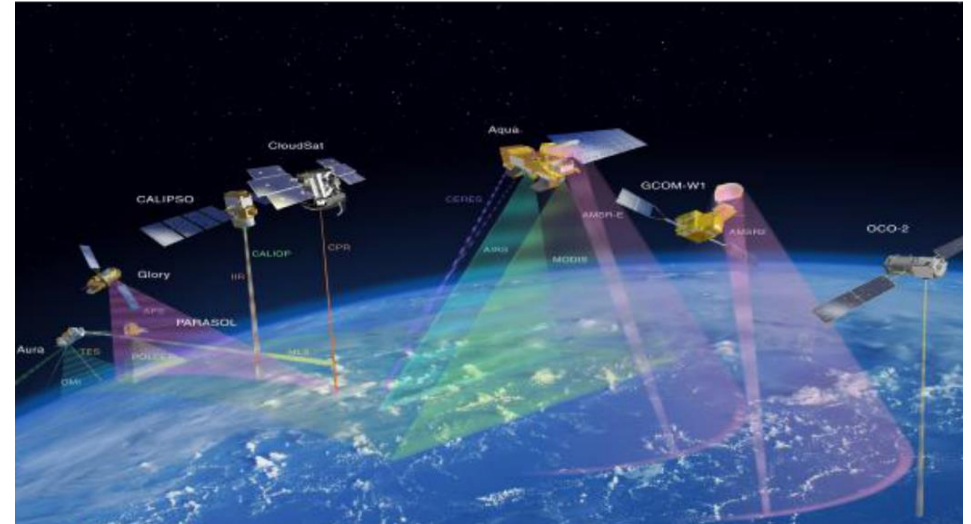
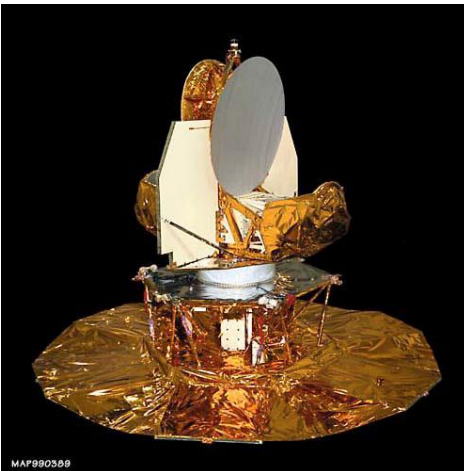
Motivación: radioastronomía y predicción climática



Ultra-low noise instrumentation

**Radio astronomy, Earth observation,
planetary missions, ...**

Source: WMAP website



Motivación

Electro optic up-converter

Experiment

Sensitivity as radiometer

Conclusions

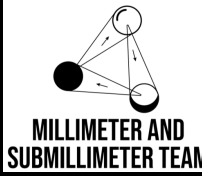
Radioastronomía y predicción climática

Bandas milimétricas en radioastronomía

Ruido cuántico

Tecnologías en bandas mm y sub-mm

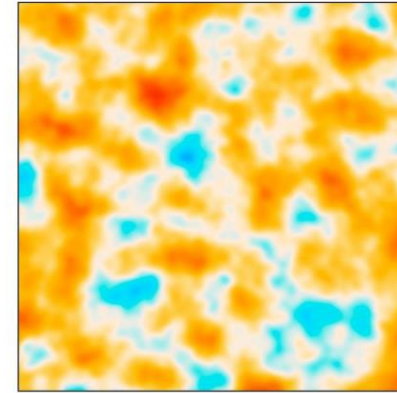
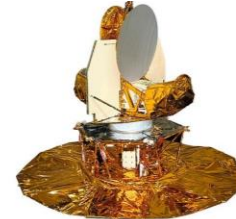
Motivación de las bandas milimétricas en radioastronomía



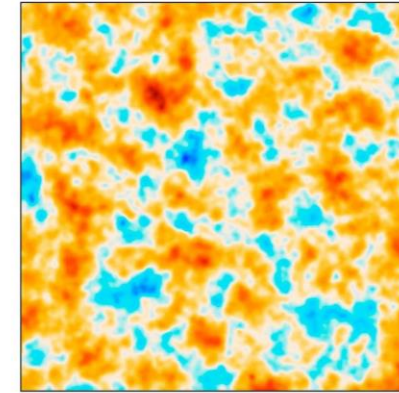
WMAP goal: map the relative CMB temperature over the full sky with a sensitivity of 20 μK per 0.3° square pixel.



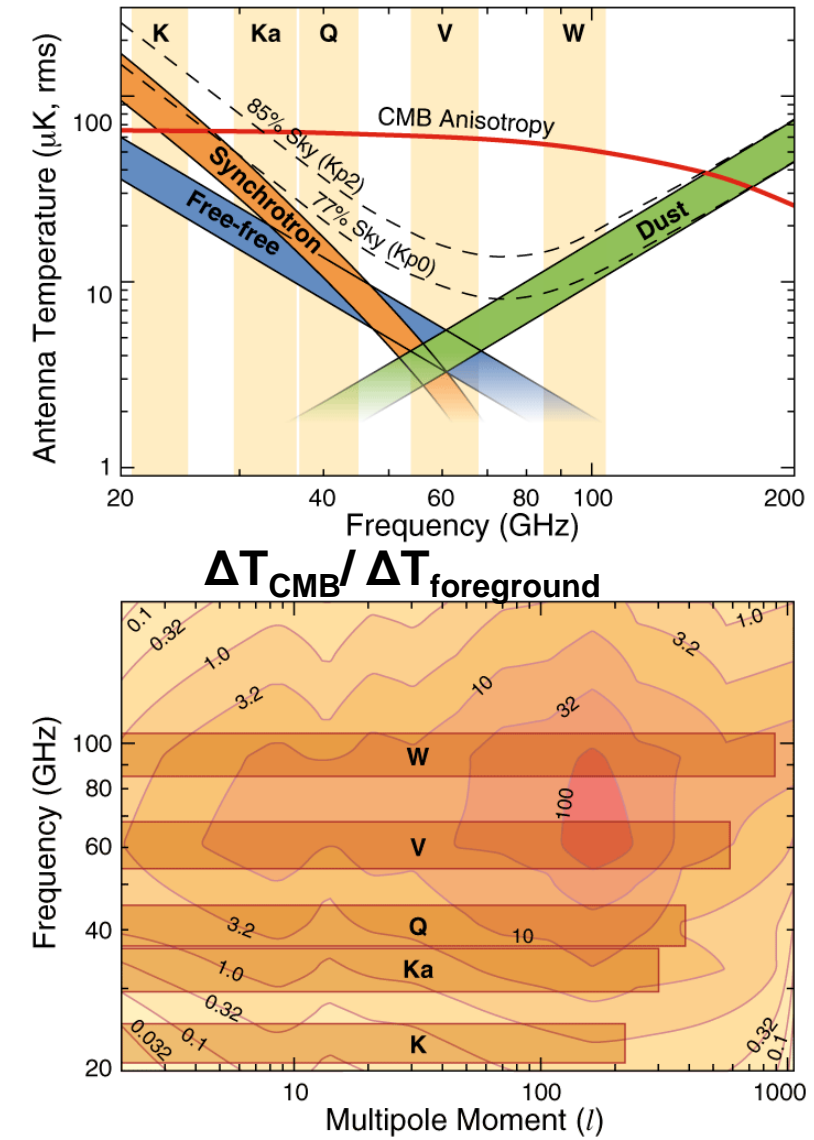
COBE



WMAP



Planck



Motivación

Electro optic up-converter

Experiment

Sensitivity as radiometer

Conclusions

Radioastronomía y predicción climática

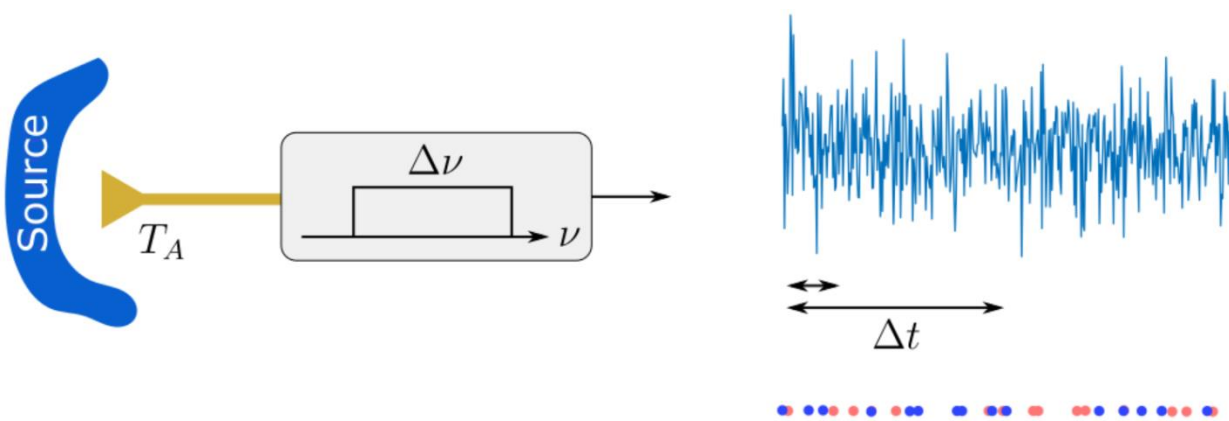
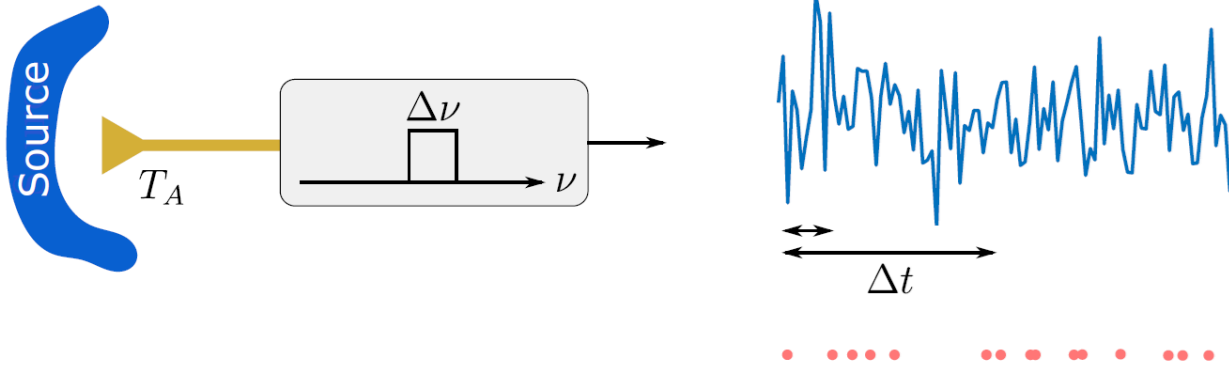
Bandas milimétricas en radioastronomía

Ruido cuántico

Tecnologías en bandas mm y sub-mm

Motivación: ruido cuántico

“Ideal” radiometer: No noise added, and 100% of photons detected



Mandel's formula

$$\Delta n = \sqrt{\underbrace{\bar{n}}_{\text{Shot noise}} + \underbrace{\frac{(\bar{n})^2}{\Delta\nu\Delta t}}_{\text{Thermal noise}}}$$

$$\Delta t \gg 1/\Delta\nu$$

Planck's formula

$$\Delta n \rightarrow \Delta T$$

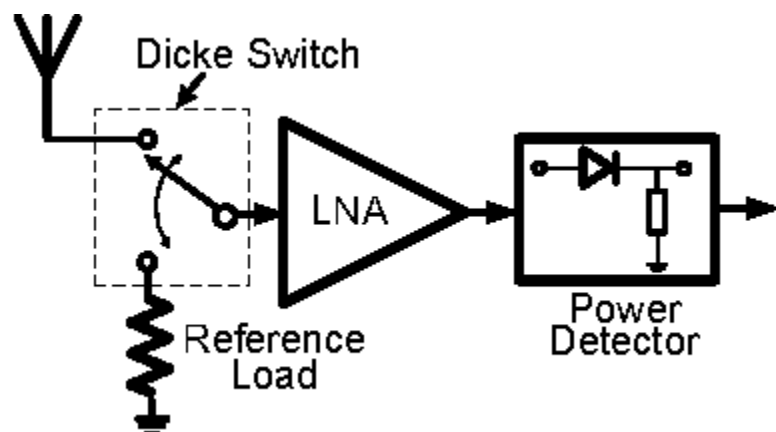
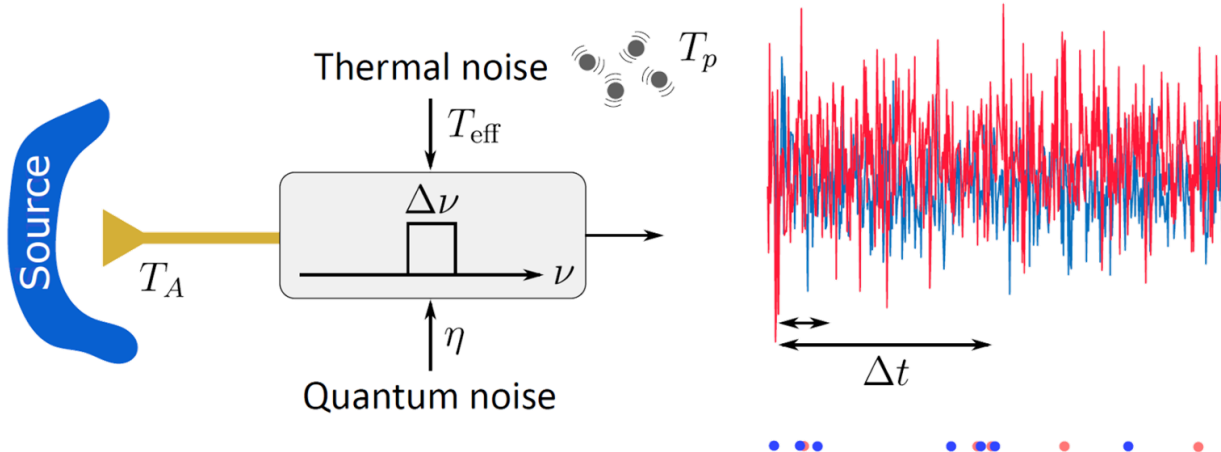
Radiometer equation

$$\Delta T = \underbrace{\frac{T_A}{\sqrt{\Delta t \Delta \nu}}}_{\text{classical}} \underbrace{\sqrt{\frac{h\nu}{k_B T_A} + 1}}_{\text{quantum}}$$



Motivación: ruido cuántico

“Actual” radiometer: Thermal noise added and $\eta < 100\%$, some photons are lost.



Some integration techniques

Dicke switching



THE REVIEW OF SCIENTIFIC INSTRUMENTS

VOLUME 17, NUMBER 7

JULY, 1946

The Measurement of Thermal Radiation at Microwave Frequencies

R. H. DICKE*
*Radiation Laboratory, Massachusetts Institute of Technology, Cambridge, Massachusetts***
 (Received April 15, 1946)

Motivación

Electro optic up-converter

Experiment

Sensitivity as radiometer

Conclusions

Radioastronomía y predicción climática

Bandas milimétricas en radioastronomía

Ruido cuántico

Tecnologías en bandas mm y sub-mm

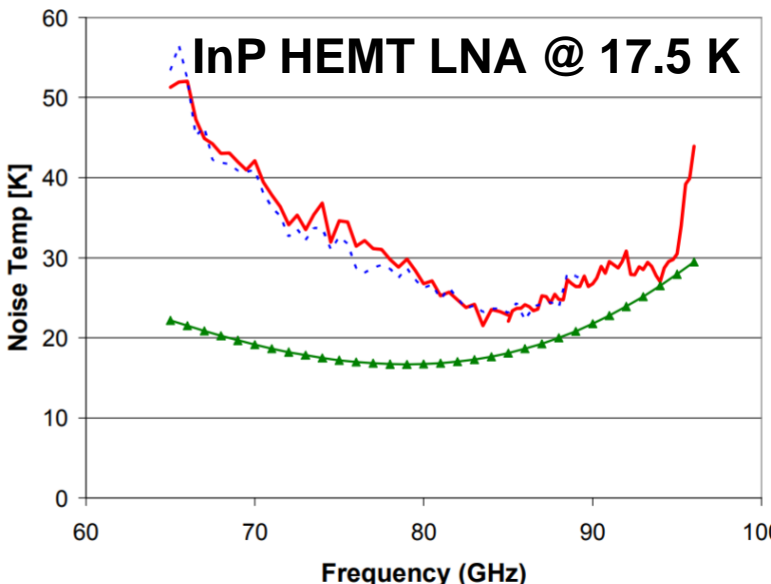
Motivación: tecnologías de detección en bandas mm y sub-mm

- **Bolometric detectors (HEB, TES, ...)**
- **Superconductor-Insulator-Superconductor (SIS)**
- **Kinetic Inductance Detectors (KIDs)**
- **High-electron-mobility transistors (HEMTs)**

Cryogenic operation

A W-Band Low-Noise Amplifier with 22K Noise Temperature

Eric W. Bryerton¹, Xiaobing Mei², Young-Min Kim², William Deal², Wayne Yoshida², Mike Lange², Jansen Uyeda², Matthew Morgan¹, and Richard Lai²



	Type	Temp	Phase	NEP
Golay	thermal	300K	no	150 pW/ $\sqrt{\text{Hz}}$
Pyroelectric	thermal	300K	no	150 pW/ $\sqrt{\text{Hz}}$
HEB	thermal	mK	no	$10^{-19}\text{W}/\sqrt{\text{Hz}}$
TES	thermal	mK	no	$10^{-21}\text{W}/\sqrt{\text{Hz}}$
Schottky	field rectifying	300K	yes	pW/ $\sqrt{\text{Hz}}$
CMOS	FET	300K	yes	pW/ $\sqrt{\text{Hz}}$

Photon-counting detectors require sub-Kelvin cryogenic operation

Extremely Low-Noise Cryogenic Amplifiers for Radio Astronomy: Past, Present and Future

Marian W. Pospieszalski

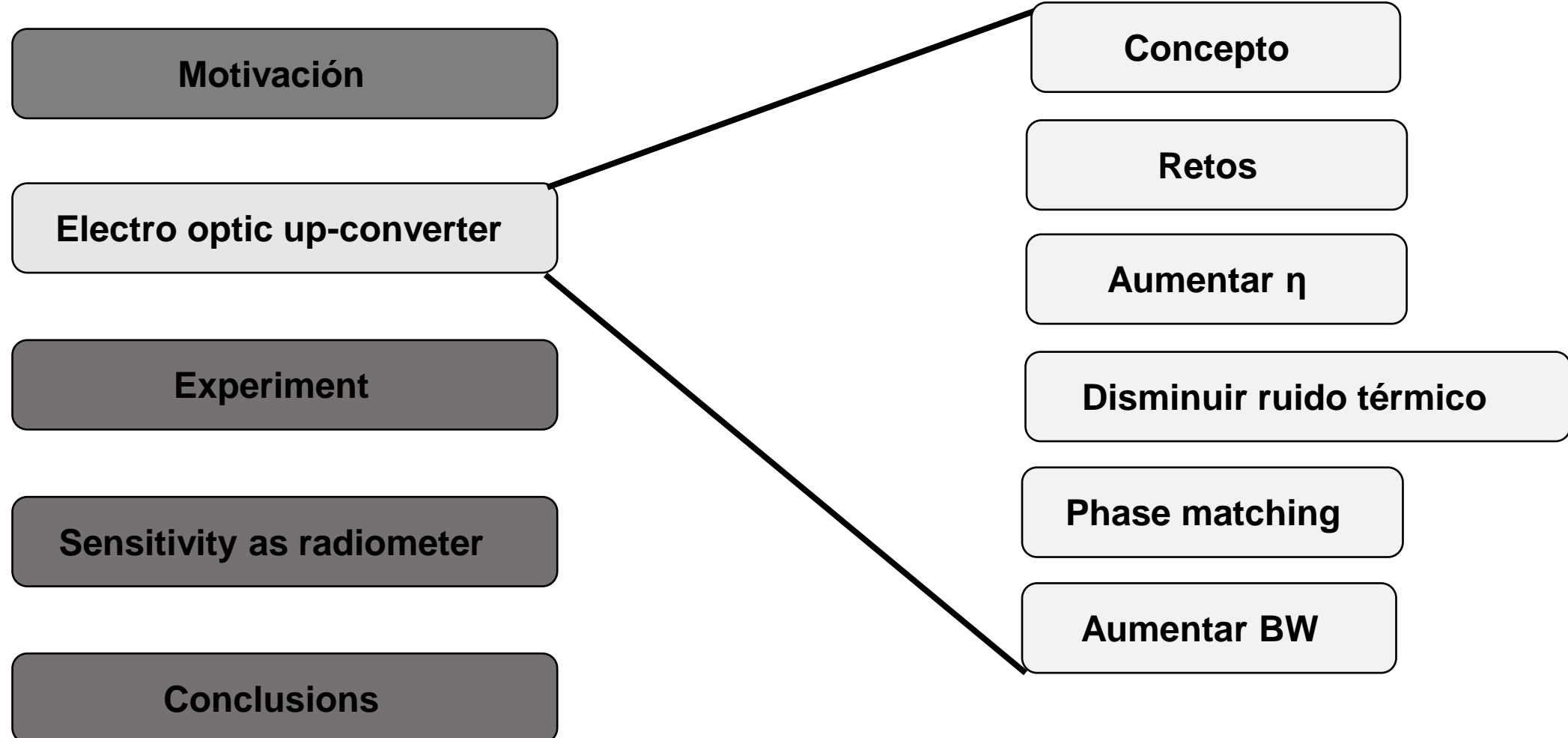
"I hope, after reading the paper, you will be convinced that there is a limit on the minimum noise temperature of FETs in general (based on their principle of operation) and for InP cryogenic HEMTs that limit is about 4-4.5 time quantum noise. We have practically reached it."

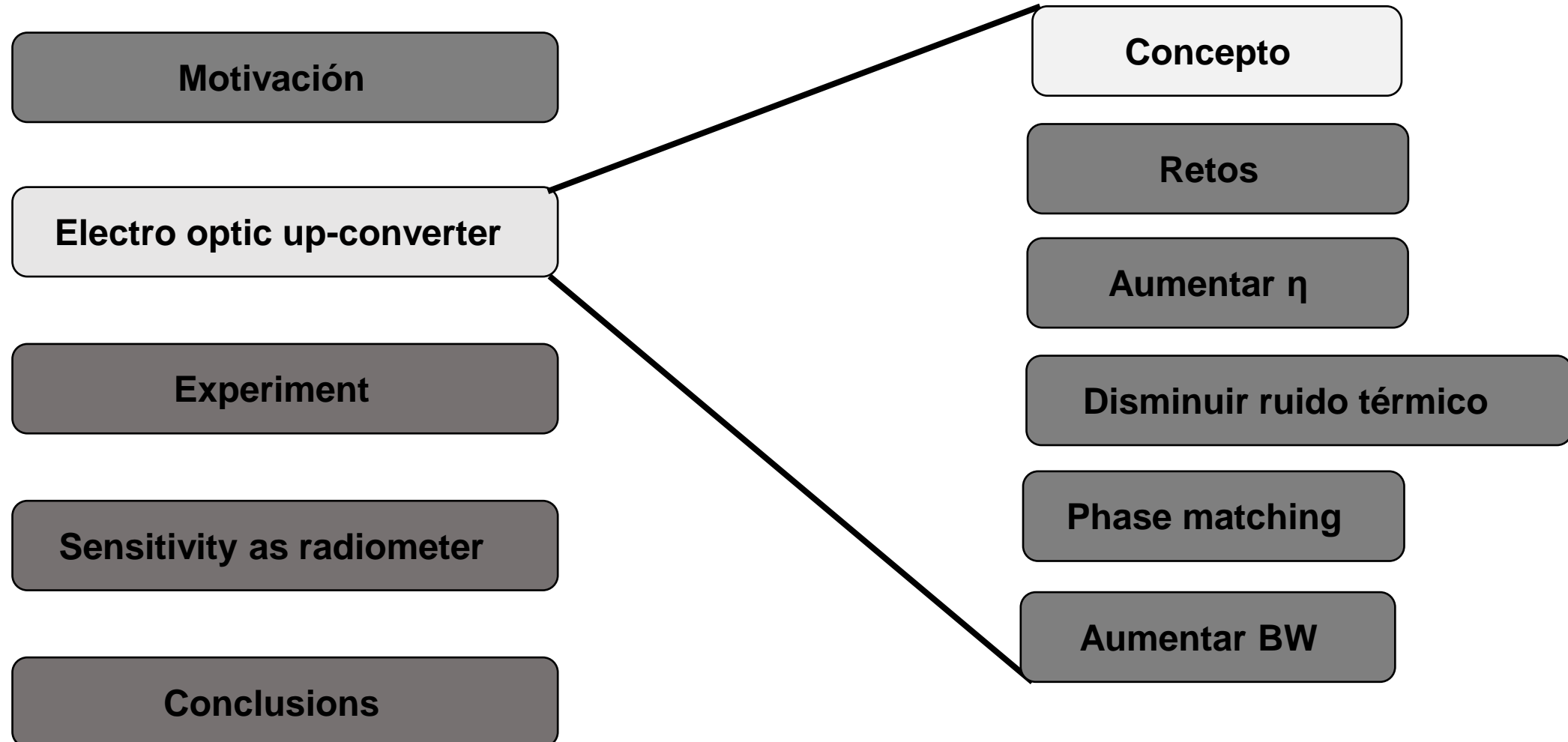


University of Colorado
Boulder



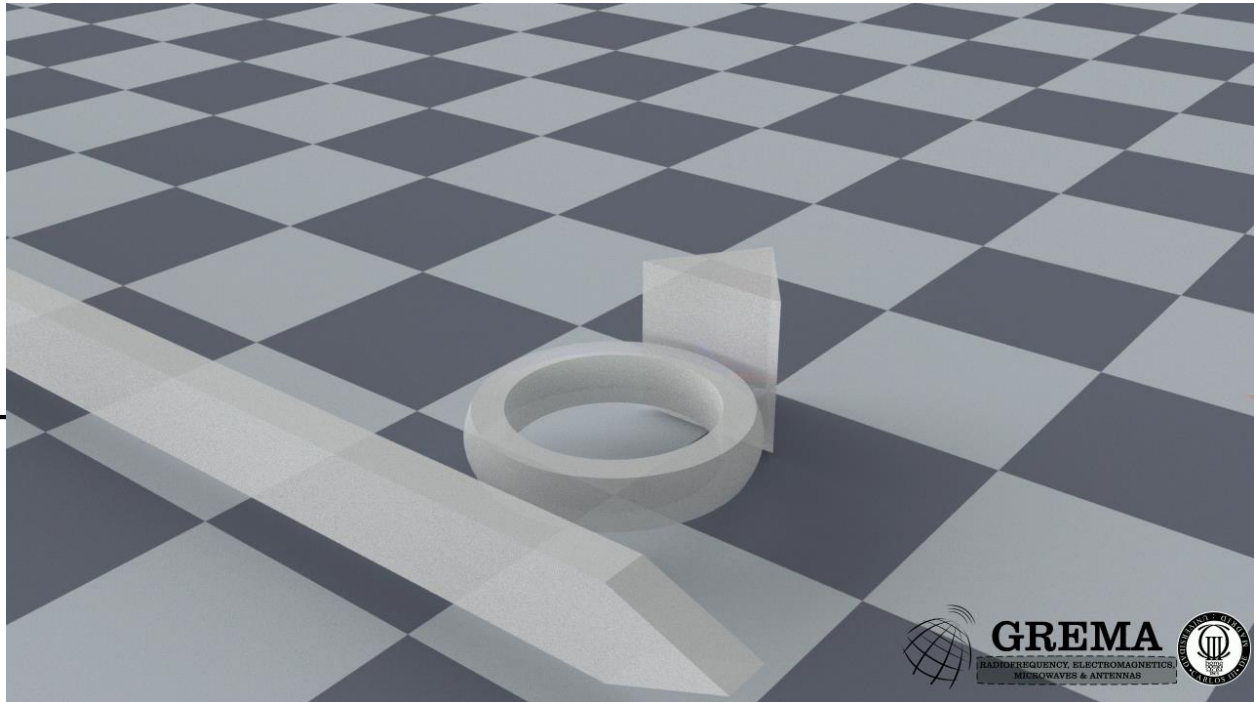
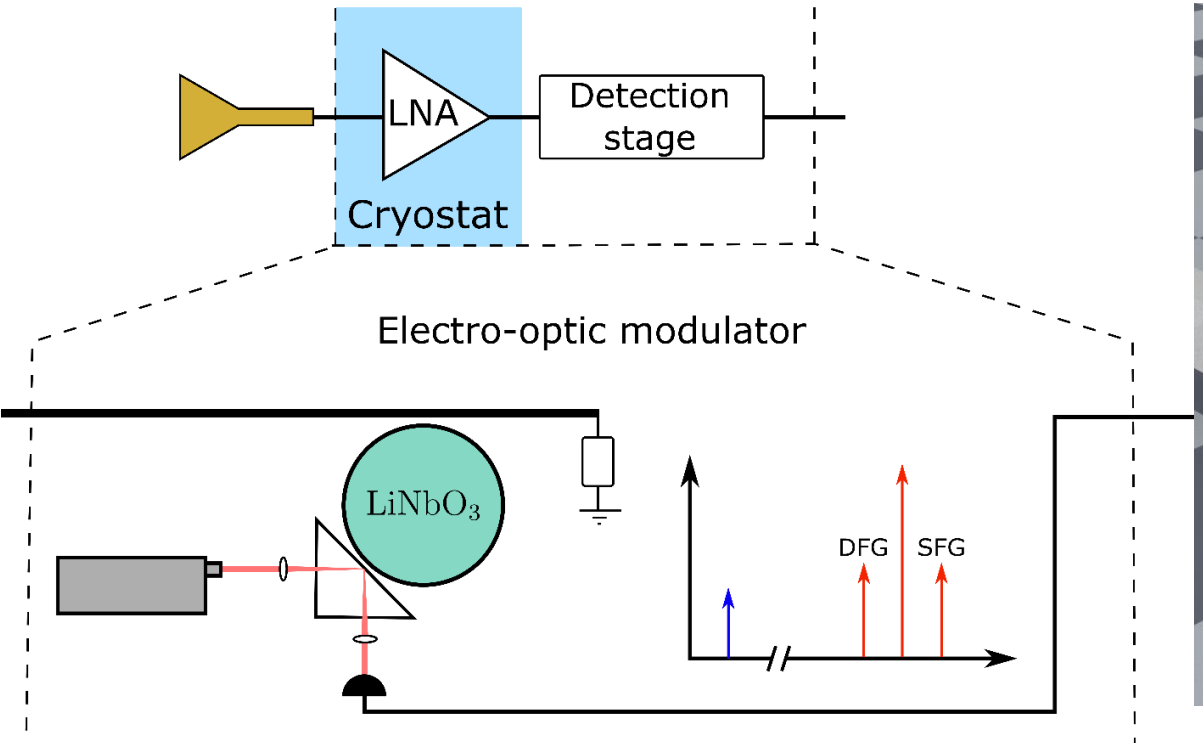
National Radio Astronomy Observatory
Enabling forefront research into the Universe at radio wavelengths

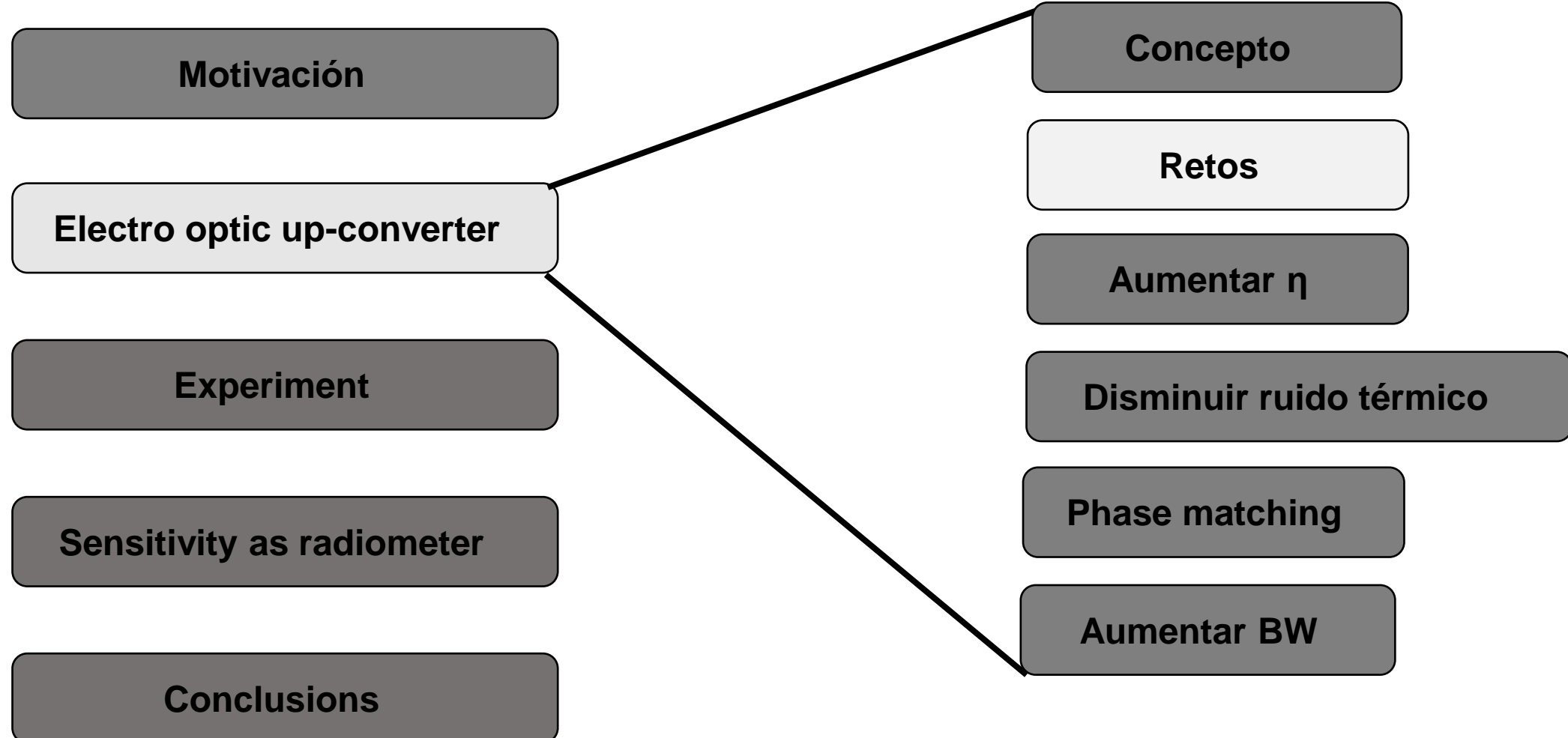




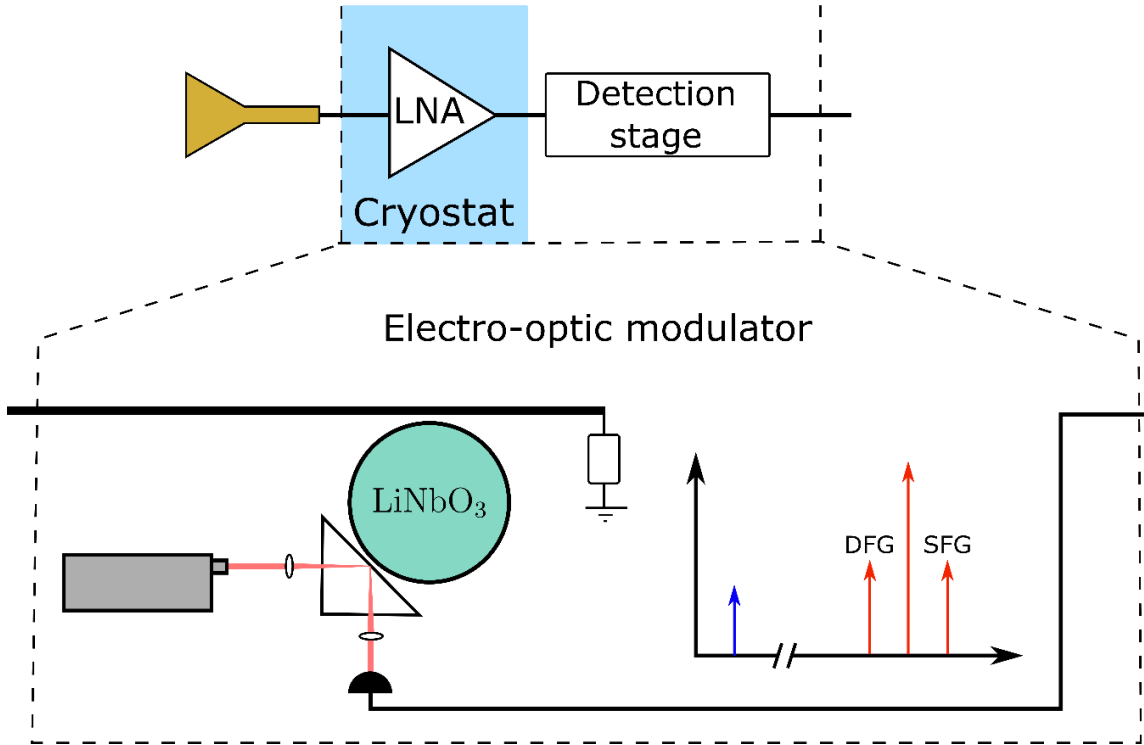
Electro-optic up-converter: concepto

Good candidate for low-noise detection with less strict cooling requirements





Electro-optic up-converter: challenges

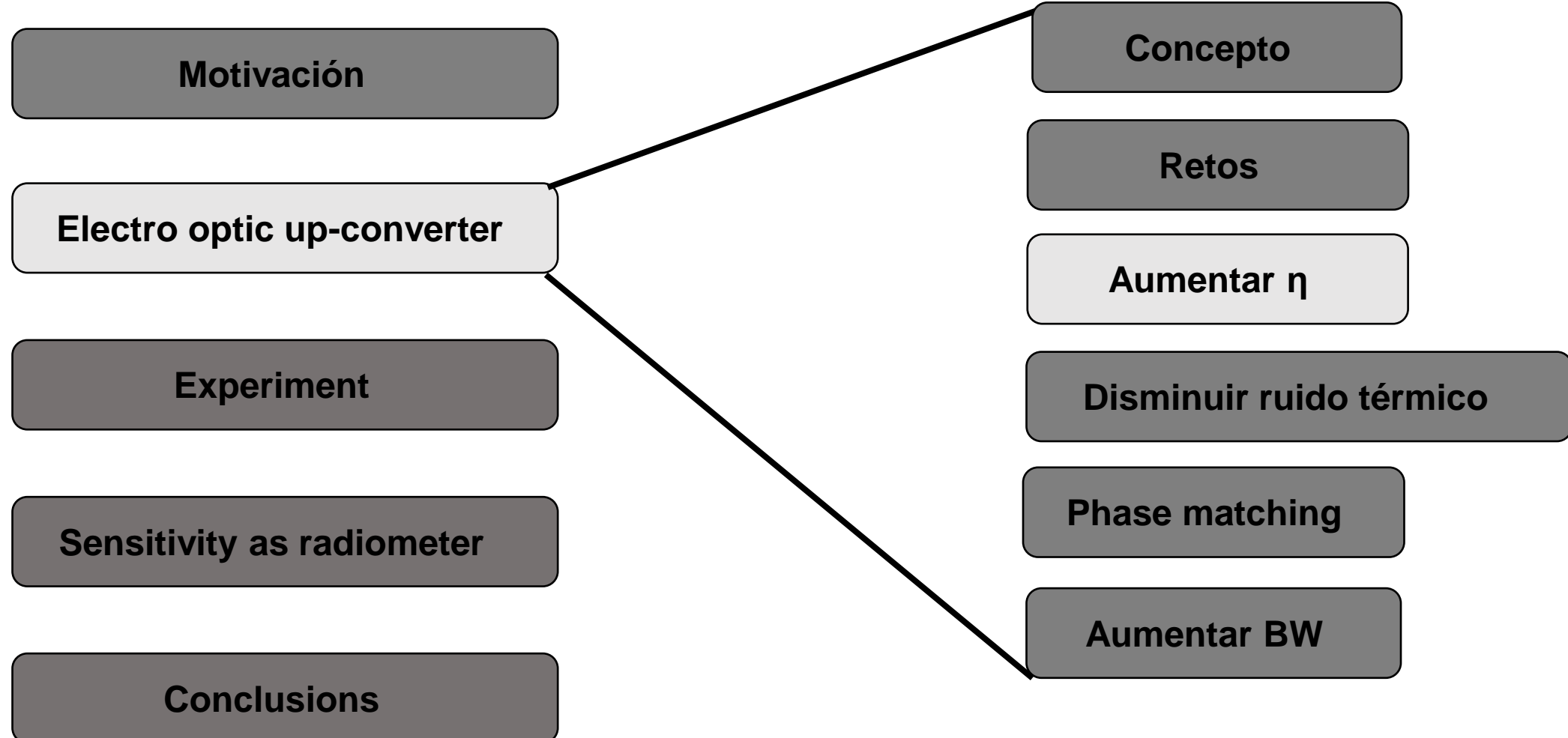


Challenges:

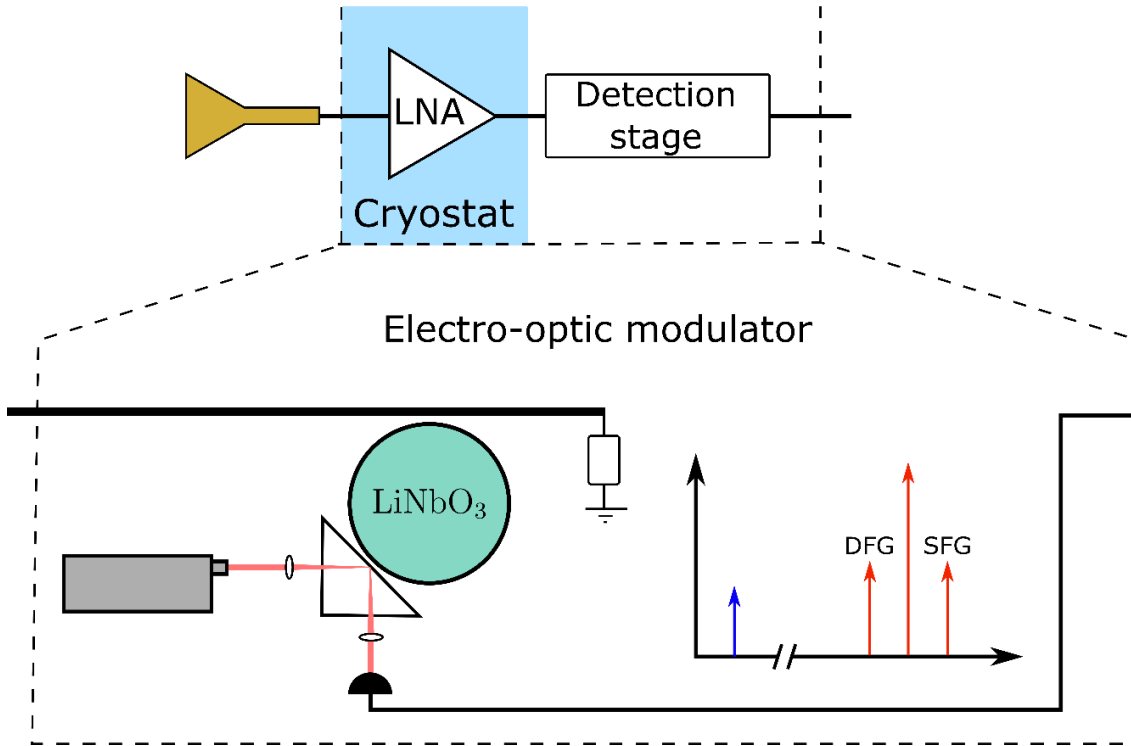
1. High conversion efficiency:

$$\eta = \frac{\# \text{ of upconverted photons}}{\# \text{ of input microwave photons}}$$

2. Avoid thermal noise being upconverted
3. Phase matching
4. High upconversion bandwidth



Electro-optic up-converter: challenges



Challenges:

1. High conversion efficiency:

$$\eta = \frac{\text{\# of upconverted photons}}{\text{\# of input microwave photons}}$$

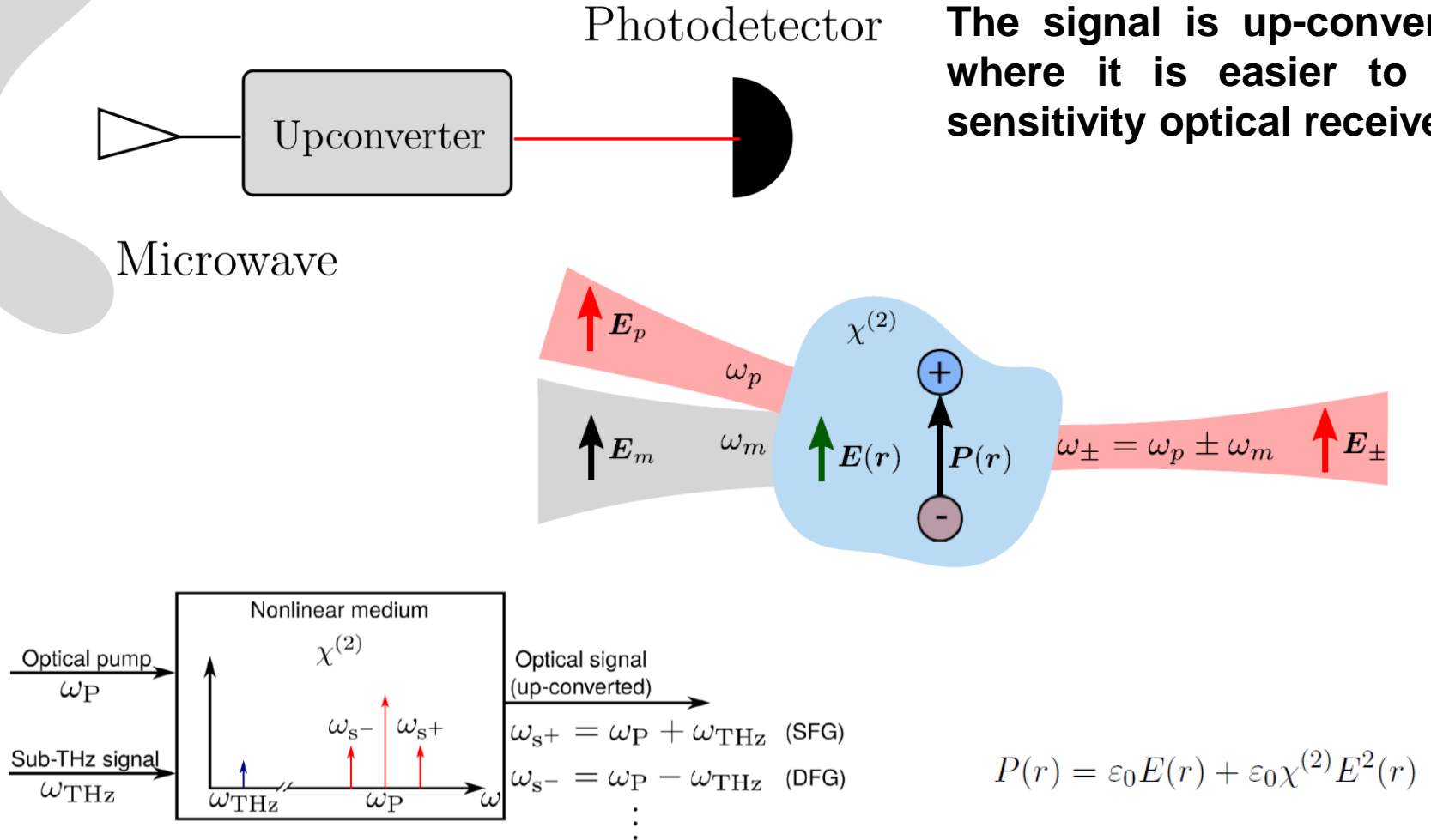
2. Avoid thermal noise being upconverted

3. Phase matching

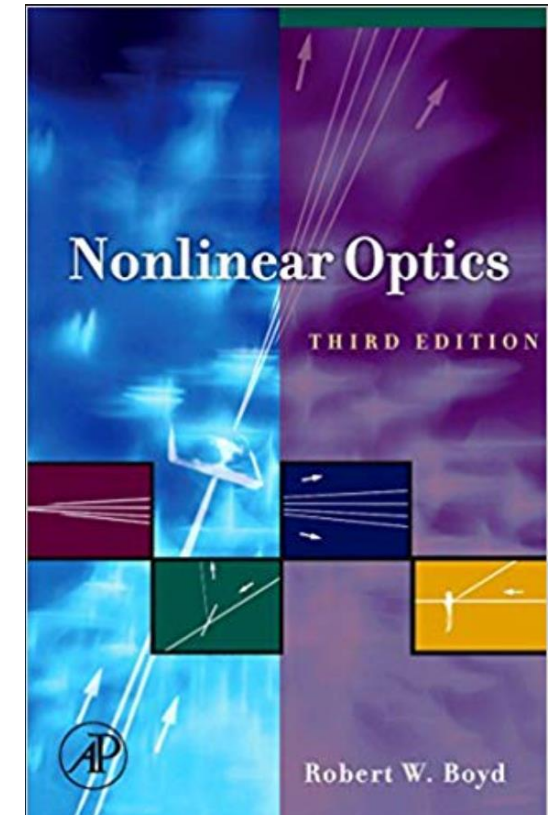
4. High upconversion bandwidth

Electro-optic up-converter

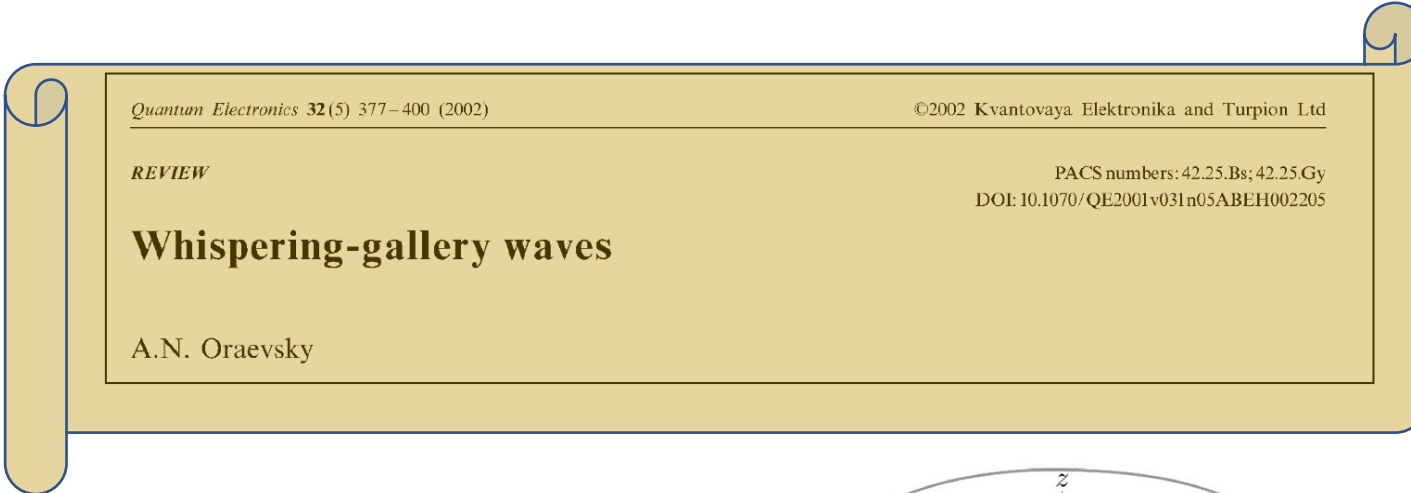
CMB 2.7K



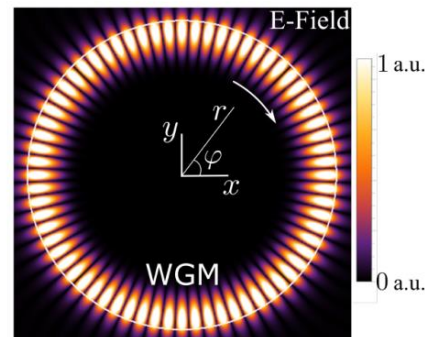
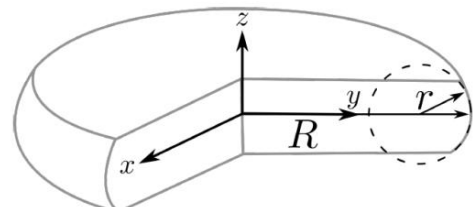
The signal is up-converted into the optical domain where it is easier to detect with available high-sensitivity optical receivers.



Electro-optic up-converter: theory and WGM resonators



- Travelling-wave resonator
- The circulating power can result significantly higher than the incoming power
- The effective path of the interaction is increased in the WGM resonator
- Three WGMs are excited (optical pump, sub-THz signal, up-converted signal)



Electro-optic up-converter: WGM resonators

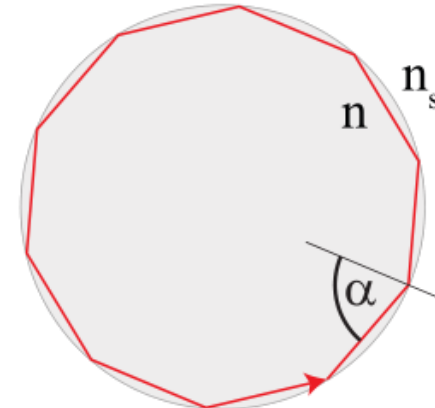
Q factors are only limited by host material

strong confinement of the light

→ great for nonlinear frequency mixing

evanescent field

→ interaction with the environment

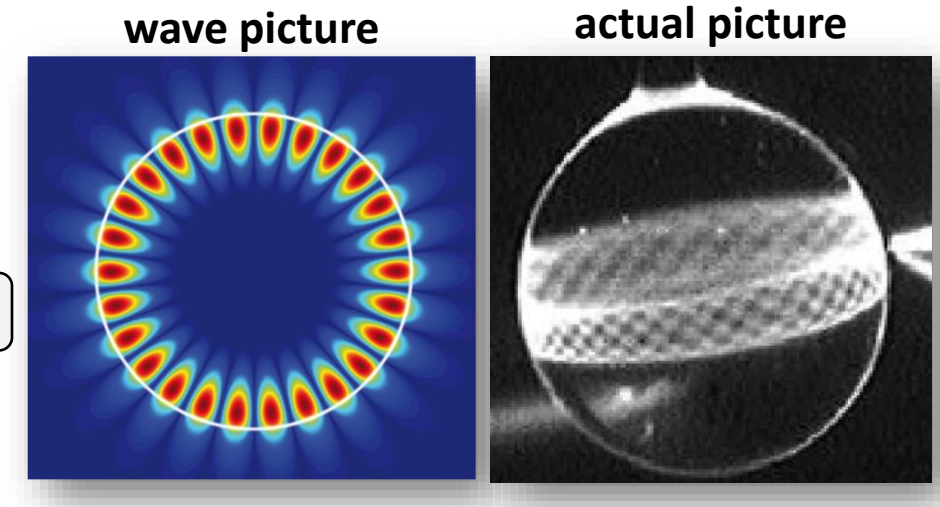


resonance condition:

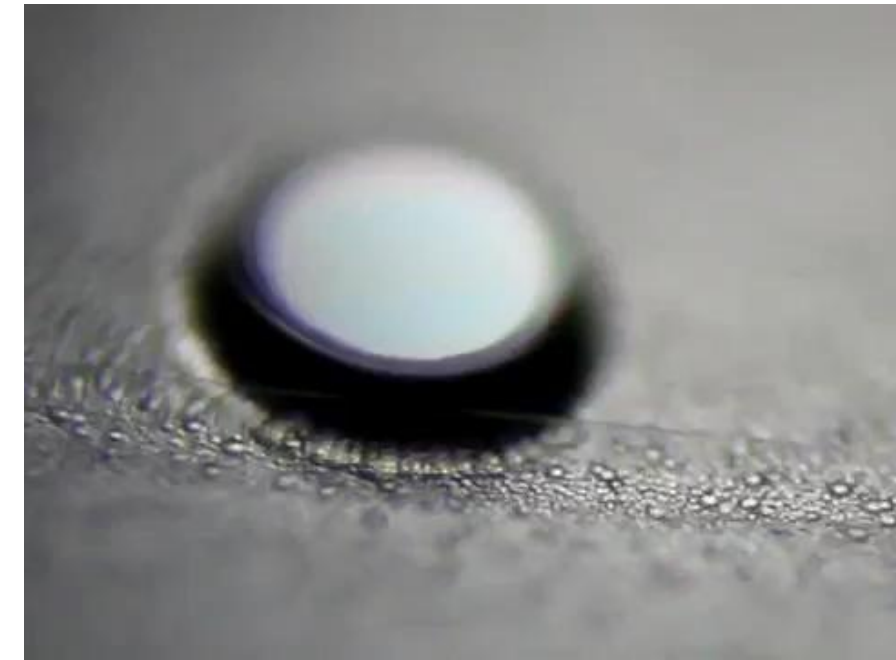
$$2\pi Rn \approx m\lambda$$

total internal reflection:

$$\sin \alpha \geq \frac{n_s}{n} \Rightarrow n > n_s$$

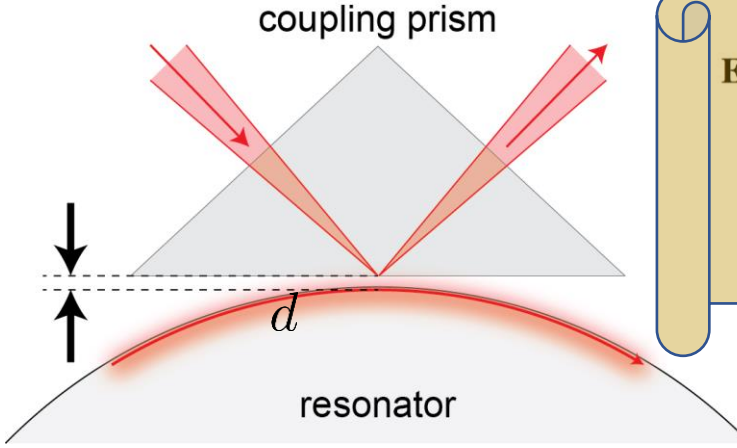


Gorodetsky et al,
Opt. Comm. 113, 133-143 (1994)



Electro-optic up-converter: how to couple light in a WGM resonator

Frustrating the TIR by another dielectric



$$n_{\text{prism}} > n_{\text{resonator}}$$

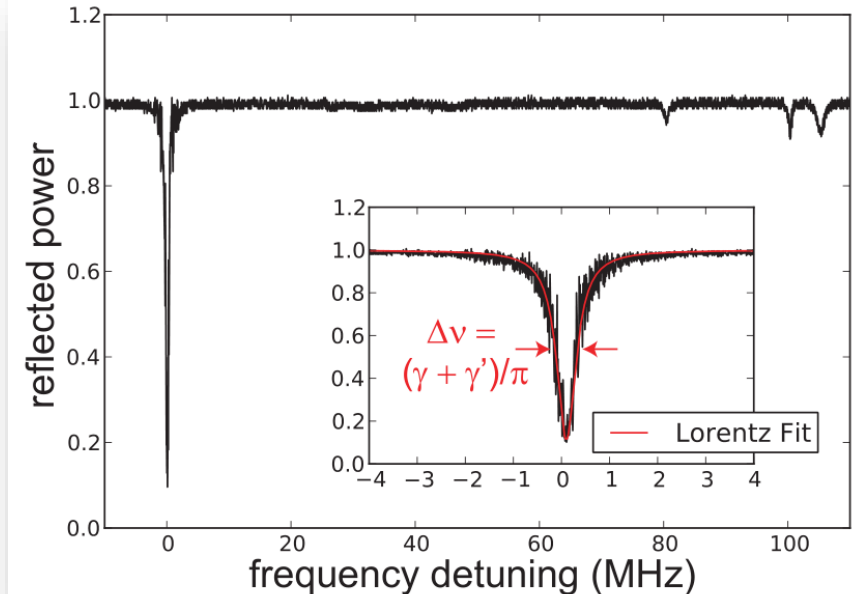
tunable coupling rate: $\gamma \propto e^{-\kappa d}$

- tunable bandwidth
- optimize nonlinear experiments

Efficient and Coherent Conversion of 80 GHz Signals into the Optical Domain Using a Whispering Gallery Mode Resonator

Florian Sedlmeir^{1,2,5}, Alfredo Rueda^{1,2}, Sascha Preu³, L. Enrique García-Muñoz⁴, Harald G.L. Schwefel⁵

Spectrum in reflection

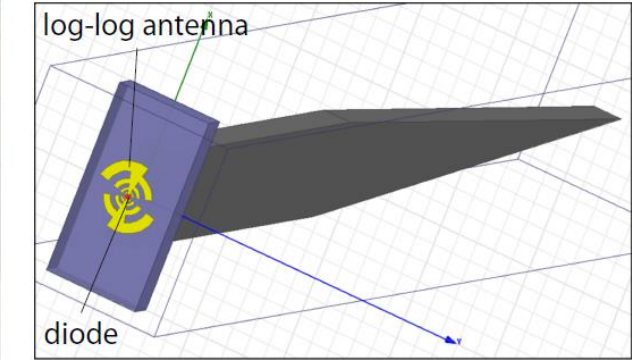
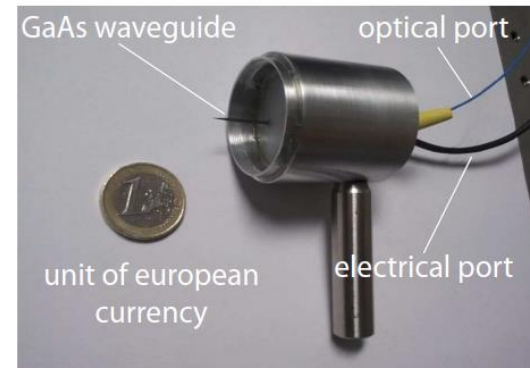
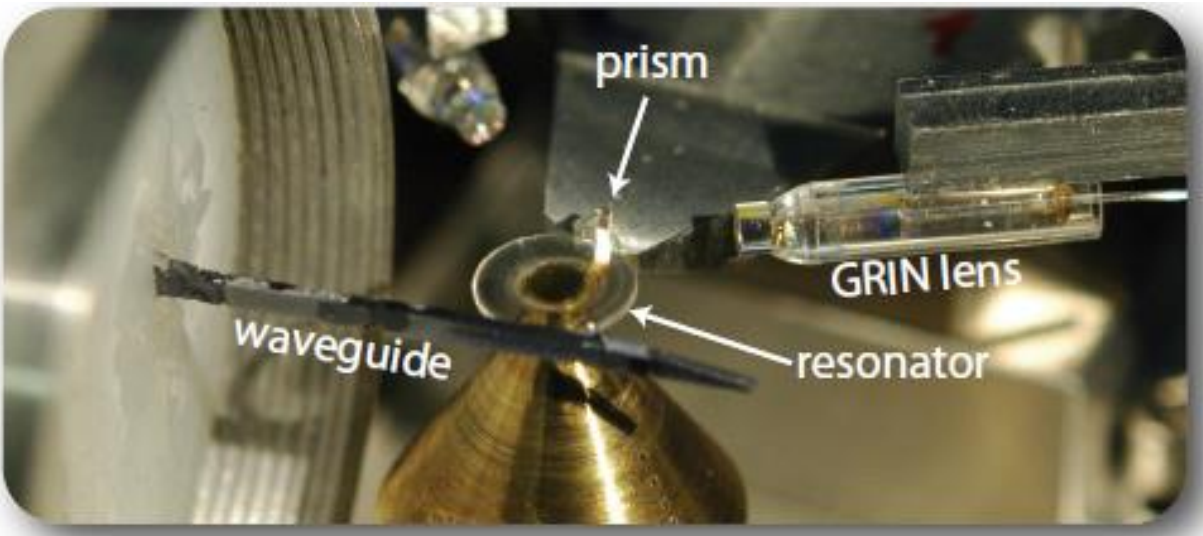
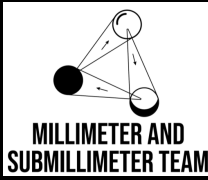


$$Q = \frac{\nu}{\Delta\nu}$$

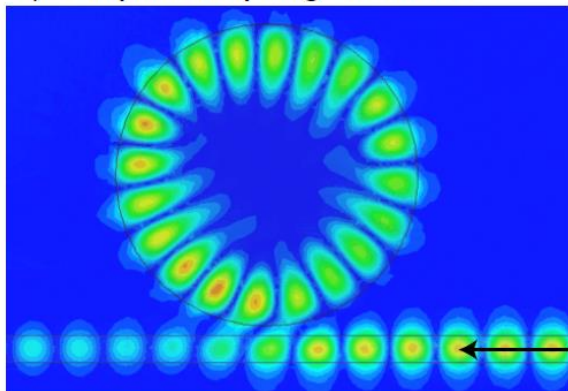
typical values:

$$Q \approx 10^7..10^9$$

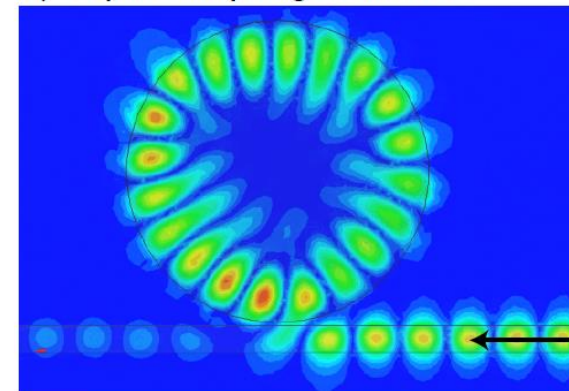
Electro-optic up-converter: how to couple mm-waves in a WGM resonator



a) 200 μ m coupling distance



b) 20 μ m coupling distance

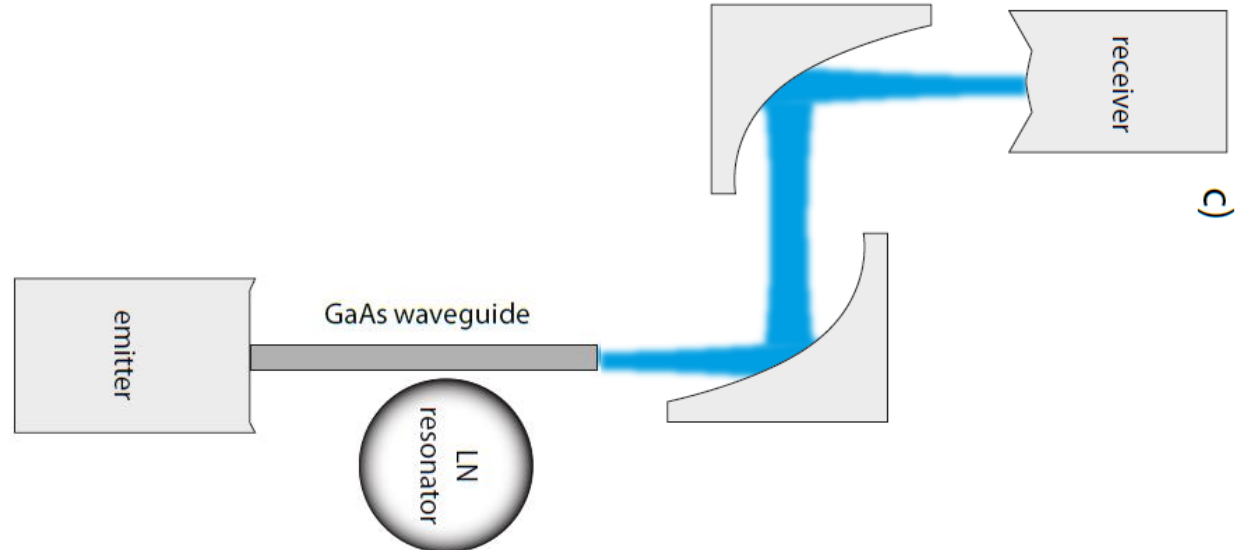
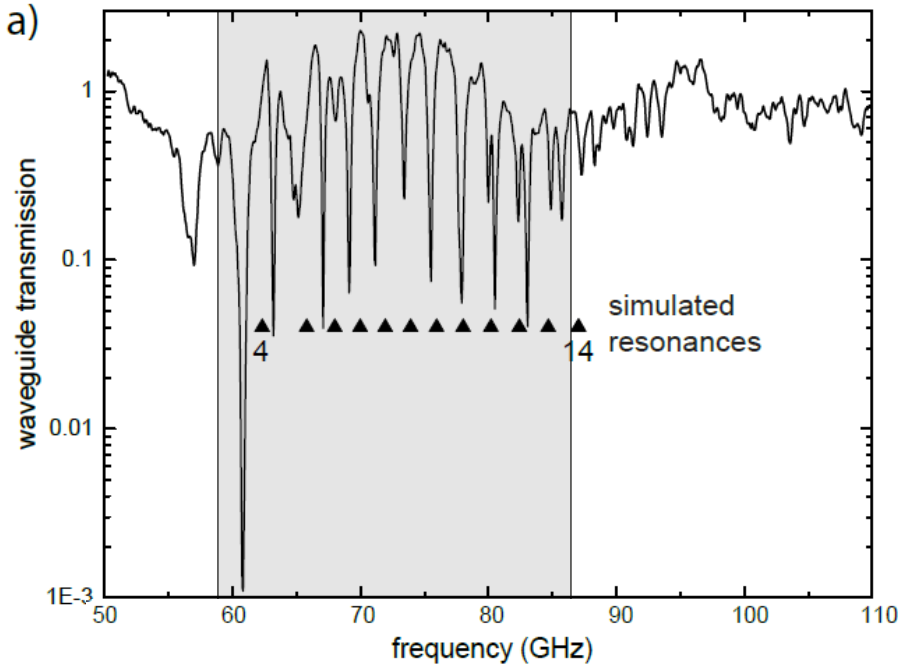


IEEE TRANSACTIONS ON ANTENNAS AND PROPAGATION, VOL. 63, NO. 3, MARCH 2015

Dielectric Rod Waveguide Antenna as THz Emitter for Photomixing Devices

Alejandro Rivera-Lavado, Sascha Preu, Luis Enrique García-Muñoz, Andrey Generalov, Javier Montero-de-Paz, Gottfried Döhler, Dmitri Lioubtchenko, Mario Méndez-Aller, Florian Sedlmeir, Martin Schneidereit, Harald G. L. Schwefel, Stefan Malzer, Daniel Segovia-Vargas, and Antti V. Räisänen

Electro-optic up-converter: how to couple mm-waves in a WGM resonator

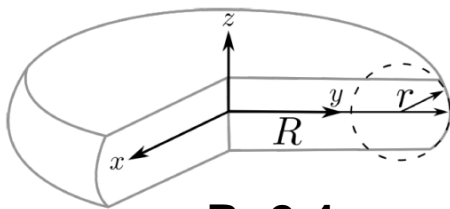
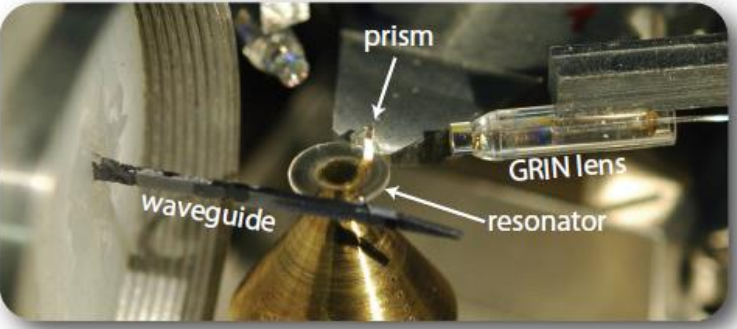


532 IEEE TRANSACTIONS ON TERAHERTZ SCIENCE AND TECHNOLOGY, VOL. 3, NO. 5, SEPTEMBER 2013

From Arrays of THz Antennas to Large-Area Emitters

Gottfried H. Döhler, Luis Enrique García-Muñoz, Sascha Preu, Stefan Malzer, Sebastian Bauerschmidt, Javier Montero-de-Paz, Eduardo Ugarte-Muñoz, Alejandro Rivera-Lavado, Vicente Gonzalez-Posadas, and Daniel Segovia-Vargas, *Member, IEEE*

Electro-optic up-converter: experimento



$R=2,4 \text{ mm}$ $r=150 \mu\text{m}$

1550 nm laser power = 2...5 mW

Optical output efficiency = 10 dB

FSR=9,155GHz

$$n_{\text{prism}}=2,42$$

$$n_{\text{laser}}=2,14$$

$$n_{\text{mw}}=5$$

$$Q_{\text{laser}}=5\times 10^6$$

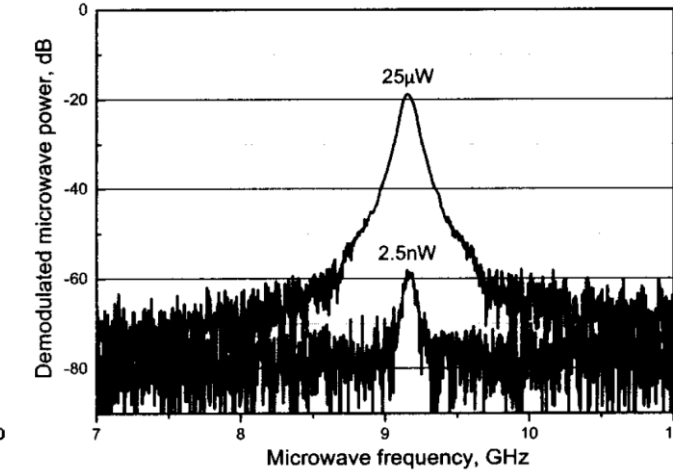
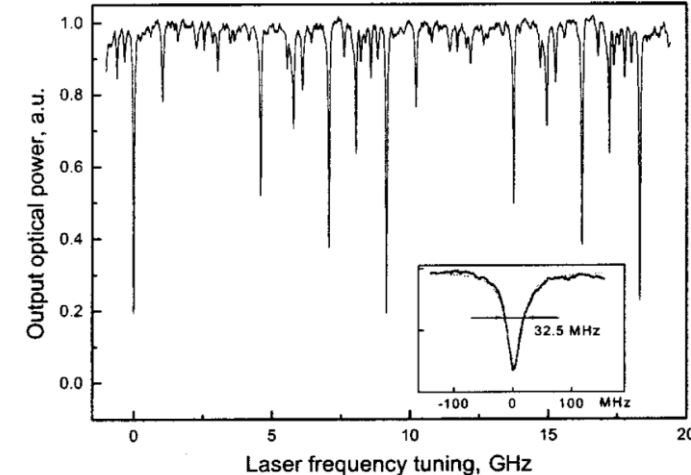
$$\text{Finesse}=300$$

$$Q_{\text{mw}}=100$$

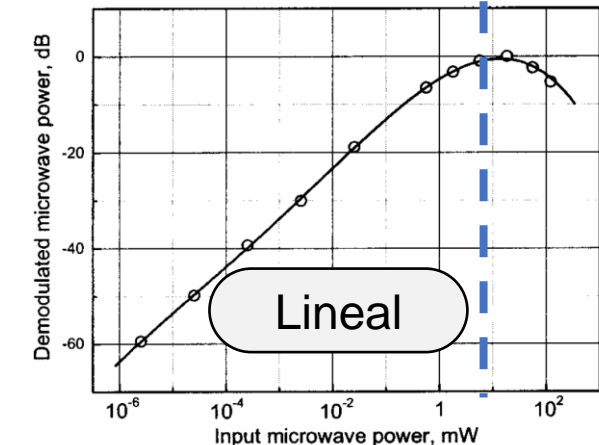
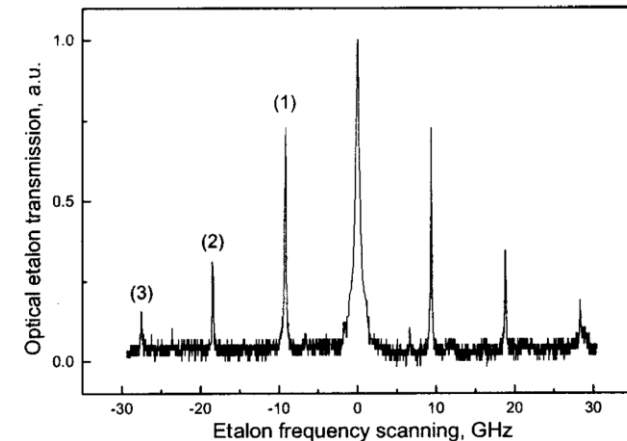
$$\text{BW}=150 \text{ MHz}$$

Efficient and Coherent Conversion of 80 GHz Signals into the Optical Domain Using a Whispering Gallery Mode Resonator

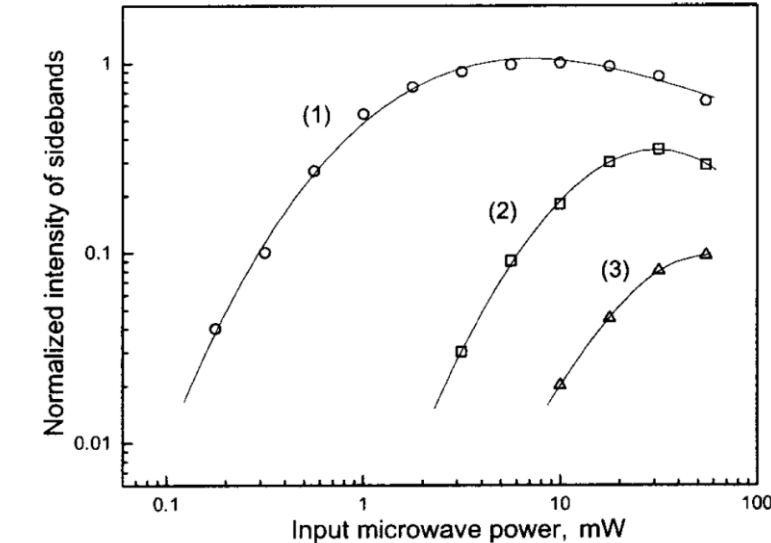
Florian Sedlmeir^{1,2,5}, Alfredo Rueda^{1,2}, Sascha Preu³,
 L. Enrique García-Muñoz⁴, Harald G.L. Schwefel⁵



$P_{\text{mw minimum}} = 1 \text{nW}$

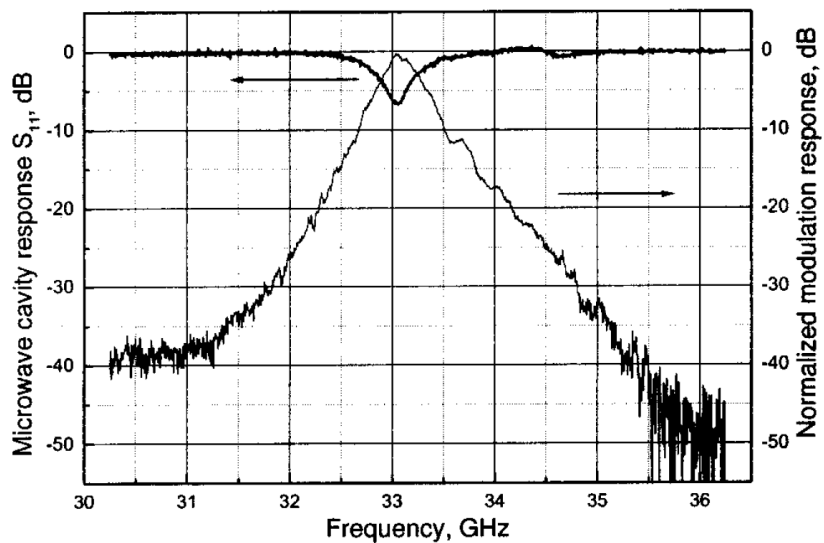


Electro-optic up-converter: experimento



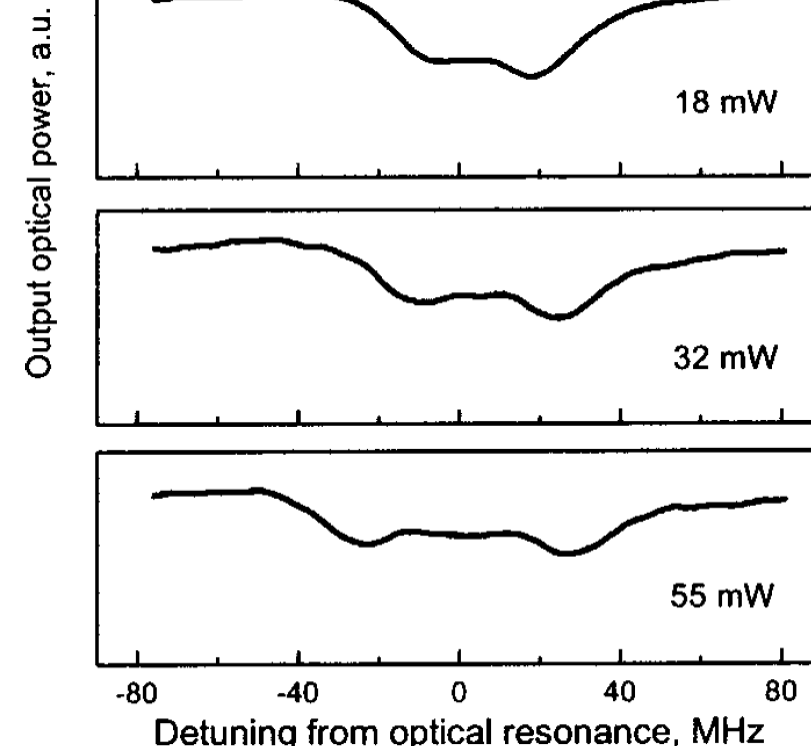
Efficient and Coherent Conversion of 80 GHz Signals into the Optical Domain Using a Whispering Gallery Mode Resonator

Florian Sedlmeir^{1,2,5}, Alfredo Rueda^{1,2}, Sascha Preu³,
L. Enrique García-Muñoz⁴, Harald G.L. Schwefel⁵



Maximization of the optical intra-cavity power of whispering-gallery mode resonators via coupling prism

G. A. SANTAMARÍA-BOTELLO,¹ L. E. GARCÍA MUÑOZ,^{1,*} F. SEDLMEIR,² S. PREU,³ D. SEGOVIA-VARGAS,¹ K. ATIA ABDALMALAK,¹ S. LLORENT ROMANO,¹ A. GARCÍA LAMPÉREZ,¹ S. MALZER,⁴ G. H. DÖHLER,⁴ H. G. L. SCHWEFEL,² AND H. B. WEBER⁴



Electro-optic up-converter: aumentar la eficiencia

$$\eta_{ph} = \frac{2P_p}{\varepsilon_0 \omega_{\pm}} \frac{\chi^{(2)}^2 Q_p^2 Q_m}{n_p^4 n_m^2} \frac{E_m'^2(\mathbf{r}_p)}{V_m} (1 - s_{11}^2 - s_{21}^2)$$

Research Article
Vol. 24, No. 23 | 14 Nov 2016 | OPTICS EXPRESS 26503
Optics EXPRESS

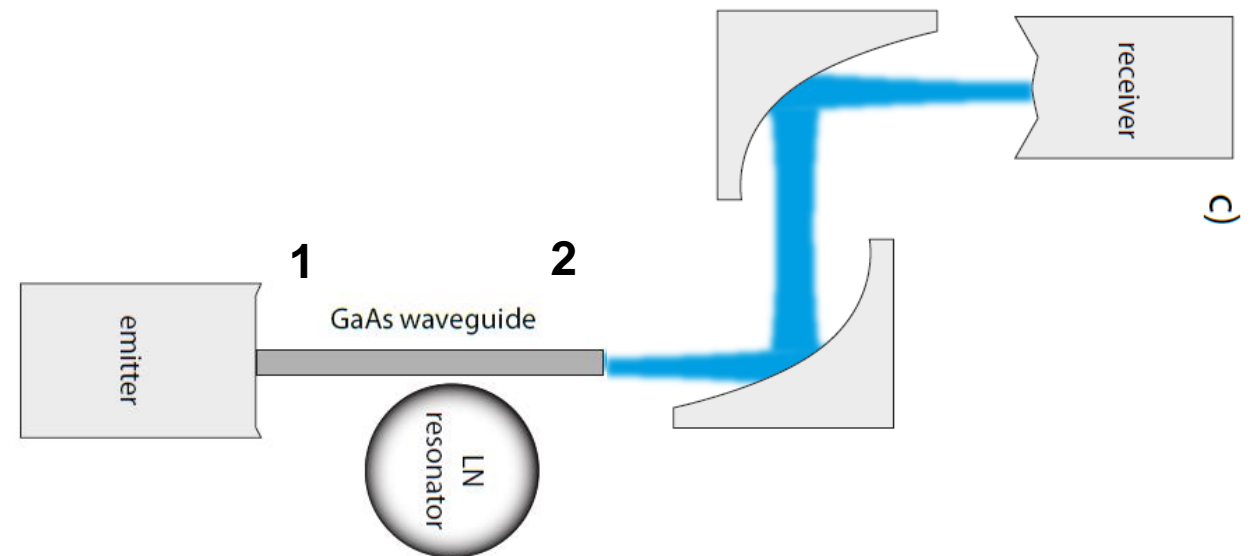
Maximization of the optical intra-cavity power of whispering-gallery mode resonators via coupling prism

G. A. SANTAMARÍA-BOTELLO,¹ L. E. GARCÍA MUÑOZ,^{1,*} F. SEDLMEIR,² S. PREU,³ D. SEGOVIA-VARGAS,¹ K. ATIA ABDALMALAK,¹ S. LLORENTES ROMANO,¹ A. GARCÍA LAMPÉREZ,¹ S. MALZER,⁴ G. H. DÖHLER,⁴ H. G. L. SCHWEFEL,² AND H. B. WEBER⁴

Topical Review

Nonlinear and Quantum Optics with Whispering Gallery Resonators

Dmitry V Strekalov^{1,2}, Christoph Marquardt^{2,3}, Andrey B Matsko⁴, Harald G L Schwefel^{2,3,5} and Gerd Leuchs^{2,3}



Electro-optic up-converter: aumentar la eficiencia



$$\eta_{ph} = \frac{2P_p}{\varepsilon_0 \omega_{\pm}} \frac{\chi^{(2)^2} Q_p^2 Q_m}{n_p^4 n_m^2} \frac{E_m'^2(r_p)}{V_m} (1 - S_{11}^2 - S_{21}^2)$$

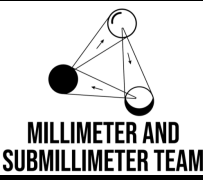
1

Limited to:

The application (frequency)

The maximum optical power
that the resonator can
handle

Electro-optic up-converter: aumentar la eficiencia



$$\eta_{ph} = \frac{2P_p}{\cancel{\epsilon_0 \omega_{\pm}}} \frac{\chi^{(2)}^2 Q_p^2 Q_m}{n_p^4 n_m^2} \frac{E_m'^2(r_p)}{V_m} (1 - S_{11}^2 - S_{21}^2)$$

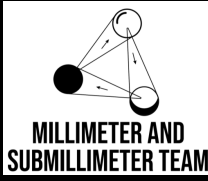
↓
1

Limited to:

The application (frequency)

The maximum optical power
that the resonator can handle

Electro-optic up-converter: aumentar la eficiencia



$$\eta_{ph} = \frac{2P_p}{\varepsilon_0 \omega_{\pm}} \frac{\chi^{(2)^2} Q_p^2 Q_m}{n_p^4 n_m^2} \frac{E_m'^2(r_p)}{V_m} (1 - S_{11}^2 - S_{21}^2)$$

2
↓

Depends on the selection of the material of the WGM resonator

Electro-optic up-converter: aumentar la eficiencia

Material	$\chi^{(2)}$ (pm/V)	n_p	n_m	Q_p	Q_m	$\frac{\chi^{(2)} Q_p^2 Q_m}{n_p^4 n_m^2}$
Lithium tantalate (LiTaO ₃)	155	2.116	6.29	5.7×10 ⁸	150	1.5×10 ⁻³
Lithium Niobate (LiNbO ₃)	151	2.138	4.95	1×10 ⁸	200	8.9×10 ⁻⁵
Quartz (SiO ₂)	0.4	1.536	2.11	5×10 ⁷	5000	8.1×10 ⁻⁸
Aluminium nitride (AlN)	5	2.16	2.88	6×10 ⁵	2000	1.0×10 ⁻¹⁰
Gallium Arsenide (GaAs)	41.9	3.37	3.59	1×10 ⁵	1000	1.1×10 ⁻¹¹
Indium Phosphide (InP)	40	3.165	3.514	1×10 ⁵	1000	1.3×10 ⁻¹¹
Zinc selenide (ZnSe)	18	2.45	3.0158	5×10 ⁴	525	1.3×10 ⁻¹²
Zinc telluride (ZnTe)	56.3	2.733	3.1707	1.6×10 ³	555	8.0×10 ⁻¹⁵

Electro-optic up-converter: aumentar la eficiencia

Material	$\chi^{(2)}$ (pm/V)	n_p	n_m	Q_p	Q_m	$\frac{\chi^{(2)} Q_p^2 Q_m}{n_p^4 n_m^2}$
Lithium tantalite (LiTaO ₃)	155	2.116	6.29	5.7×10 ⁸	150	1.5×10 ⁻³
Lithium Niobate (LiNbO ₃)	151	2.138	4.95	1×10 ⁸	200	8.9×10 ⁻⁵
Quartz (SiO ₂)	0.4	1.536	2.11	5×10 ⁷	5000	8.1×10 ⁻⁸
Aluminium nitride (AlN)	5	2.16	2.88	6×10 ⁵	2000	1.0×10 ⁻¹⁰
Gallium Arsenide (GaAs)	41.9	3.37	3.59	1×10 ⁵	1000	1.1×10 ⁻¹¹
Indium Phosphide (InP)	40	3.165	3.514	1×10 ⁵	1000	1.3×10 ⁻¹¹
Zinc selenide (ZnSe)	18	2.45	3.0158	5×10 ⁴	525	1.3×10 ⁻¹²
Zinc telluride (ZnTe)	56.3	2.733	3.1707	1.6×10 ³	555	8.0×10 ⁻¹⁵

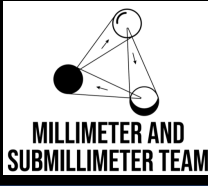
Electro-optic up-converter: aumentar la eficiencia

Material	$\chi^{(2)}$ (pm/V)	n_p	n_m	Q_p	Q_m	$\frac{\chi^{(2)^2} Q_p^2 Q_m}{n_p^4 n_m^2}$
Lithium tantalite (LiTaO ₃)	155	2.116	6.29	5.7×10 ⁸	150	1.5×10 ⁻³
Lithium Niobate (LiNbO ₃)	151	2.138	4.95	1×10 ⁸	200	8.9×10 ⁻⁵
Quartz (SiO ₂)	0.4	1.536	2.11	5×10 ⁷	5000	8.1×10 ⁻⁸
Aluminium nitride (AlN)	5	2.16	2.88	6×10 ⁵	2000	1.0×10 ⁻¹⁰
Gallium Arsenide (GaAs)	41.9	3.37	3.59	1×10 ⁵	1000	1.1×10 ⁻¹¹
Indium Phosphide (InP)	40	3.165	3.514	1×10 ⁵	1000	1.3×10 ⁻¹¹
Zinc selenide (ZnSe)	18	2.45	3.0158	5×10 ⁴	525	1.3×10 ⁻¹²
Zinc telluride (ZnTe)	56.3	2.733	3.1707	1.6×10 ³	555	8.0×10 ⁻¹⁵

Electro-optic up-converter: aumentar la eficiencia

Material	$\chi^{(2)}$ (pm/V)	n_p	n_m	Q_p	Q_m	$\frac{\chi^{(2)} Q_p^2 Q_m}{n_p^4 n_m^2}$
Lithium tantalite (LiTaO ₃)	155	2.116	6.29	5.7×10^8	150	1.5×10^{-3}
Lithium Niobate (LiNbO ₃)	151	2.138	4.95	1×10^8	200	8.9×10^{-5}
Quartz (SiO ₂)	0.4	1.536	2.11	5×10^7	5000	8.1×10^{-8}
Aluminium nitride (AlN)	5	2.16	2.88	6×10^5	2000	1.0×10^{-10}
Gallium Arsenide (GaAs)	41.9	3.37	3.59	1×10^5	1000	1.1×10^{-11}
Indium Phosphide (InP)	40	3.165	3.514	1×10^5	1000	1.3×10^{-11}
Zinc selenide (ZnSe)	18	2.45	3.0158	5×10^4	525	1.3×10^{-12}
Zinc telluride (ZnTe)	56.3	2.733	3.1707	1.6×10^3	555	8.0×10^{-15}

Electro-optic up-converter: aumentar la eficiencia



$$\eta_{ph} = \frac{2P_p}{\varepsilon_0 \omega_{\pm}} \frac{\chi^{(2)^2} Q_p^2 Q_m}{n_p^4 n_m^2} \frac{E_m'^2(\mathbf{r}_p)}{V_m} (1 - S_{11}^2 - S_{21}^2)$$

3
↓

Depends on the geometry of the resonator, the overlap between both input signals needs to be maximized by:

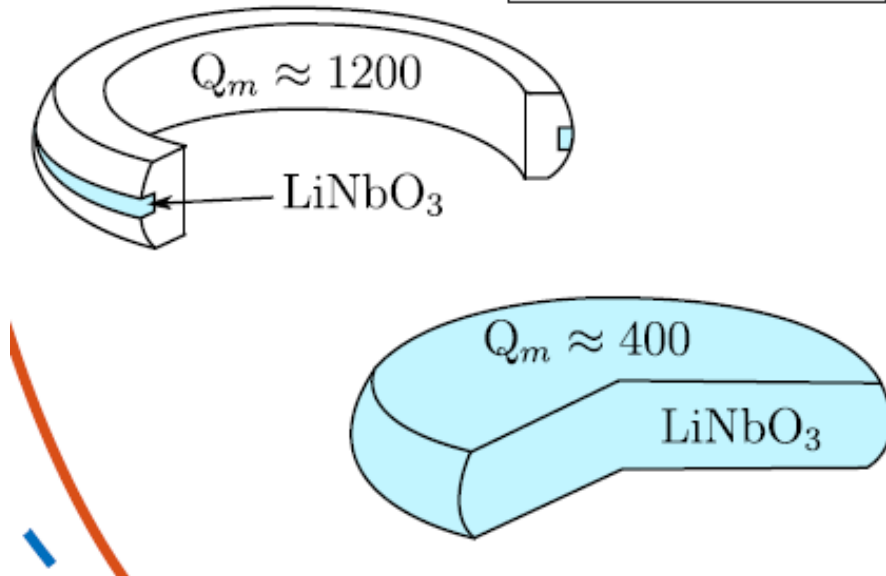
Pushing the microwave mode's maximum intensity towards the rim of the resonator

Decreasing the mode volume of the microwave signal

Electro-optic up-converter: aumentar la eficiencia

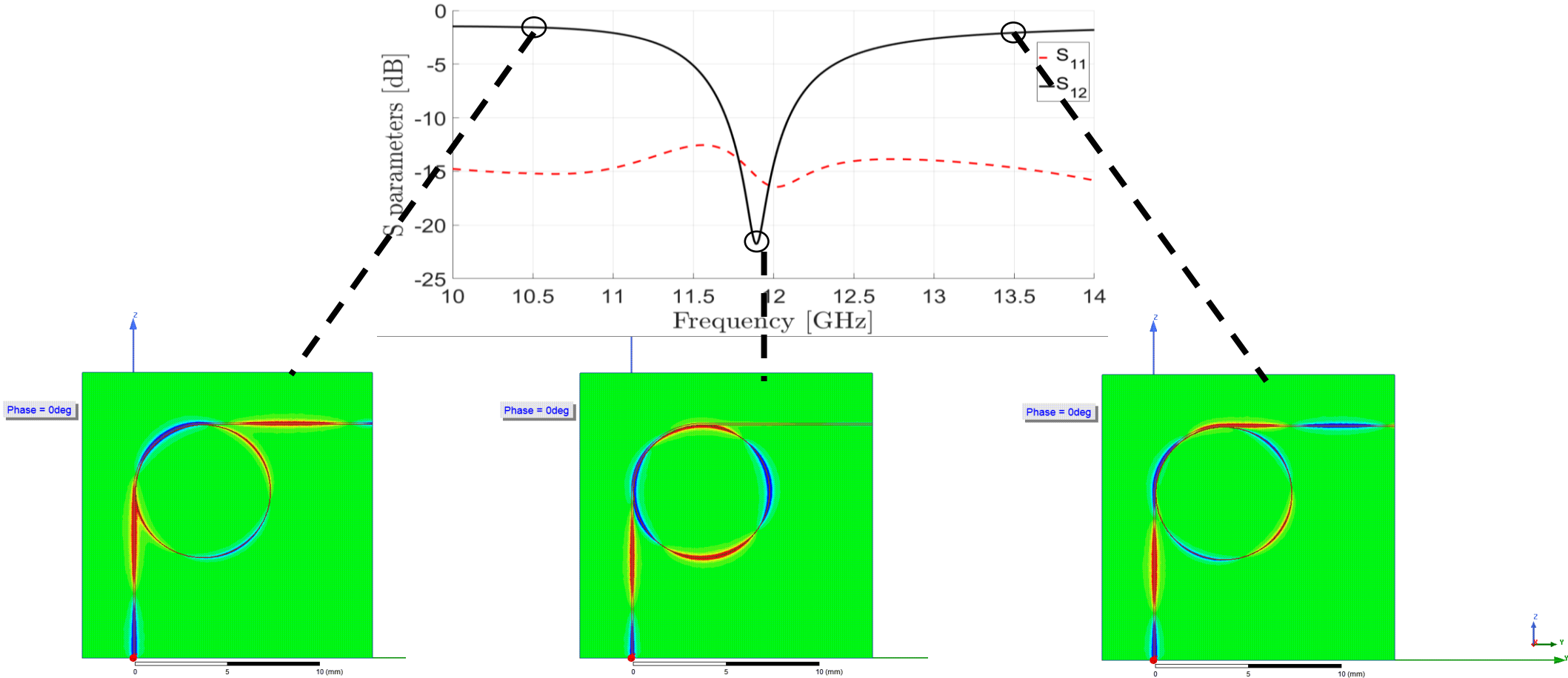
$$\eta_{ph} = \frac{2P_p}{\varepsilon_0 \omega_{\pm}} \frac{\chi^{(2)^2} Q_p^2 Q_m}{n_p^4 n_m^2} \frac{E_m'^2(\mathbf{r}_p)}{V_m} (1 - S_{11}^2 - S_{21}^2)$$

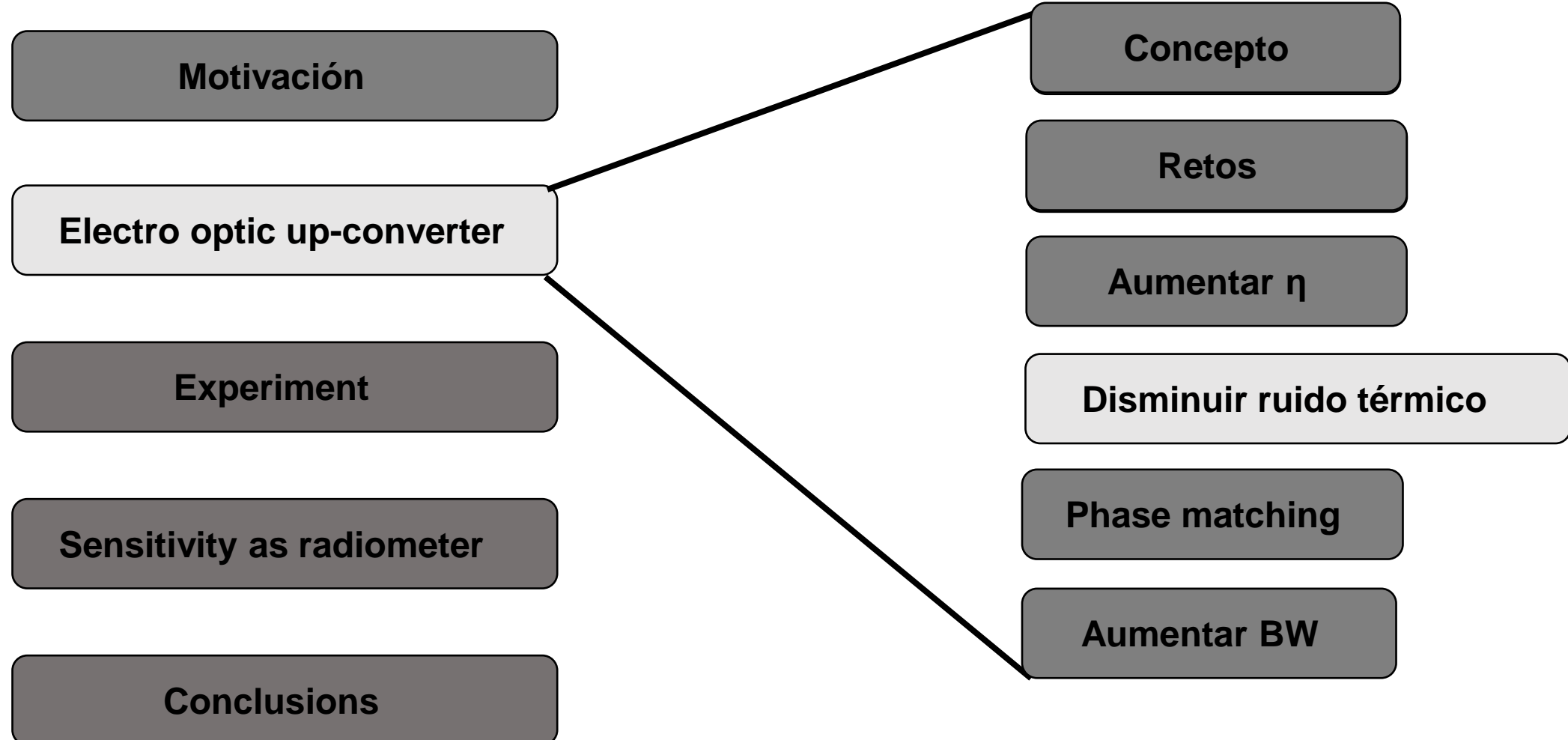
- $Q_m = 1200$
- $Q_m = 400$



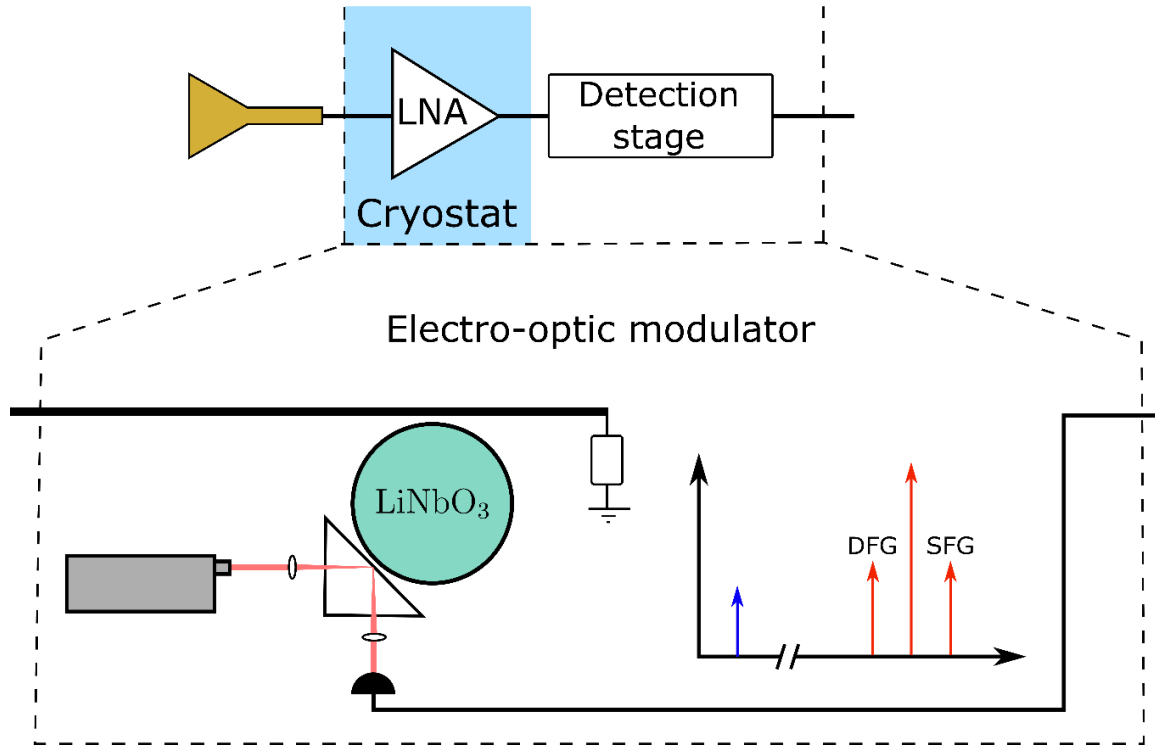
Electro-optic up-converter: aumentar la eficiencia

$$\eta_{ph} = \frac{2P_p}{\varepsilon_0 \omega_{\pm}} \frac{\chi^{(2)^2} Q_p^2 Q_m}{n_p^4 n_m^2} \frac{E_m'^2(\mathbf{r}_p)}{V_m} (1 - S_{11}^2 - S_{21}^2)$$





Electro-optic up-converter: challenges



Challenges:

1. High conversion efficiency:

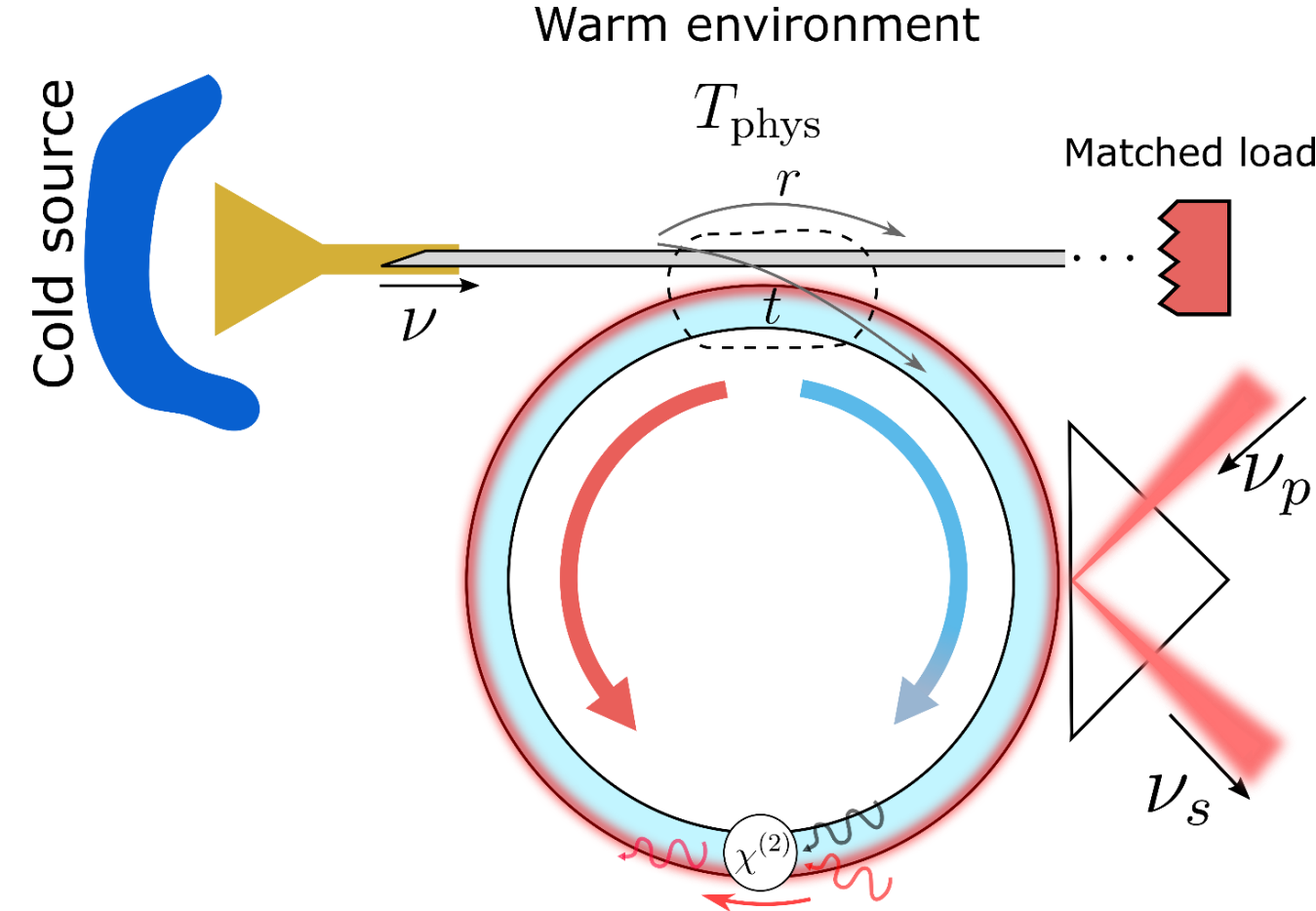
$$\eta = \frac{\# \text{ of upconverted photons}}{\# \text{ of input microwave photons}}$$

2. **Avoid thermal noise being upconverted**

3. Phase matching

4. High upconversion bandwidth

Electro-optic up-converter: ocupación térmica



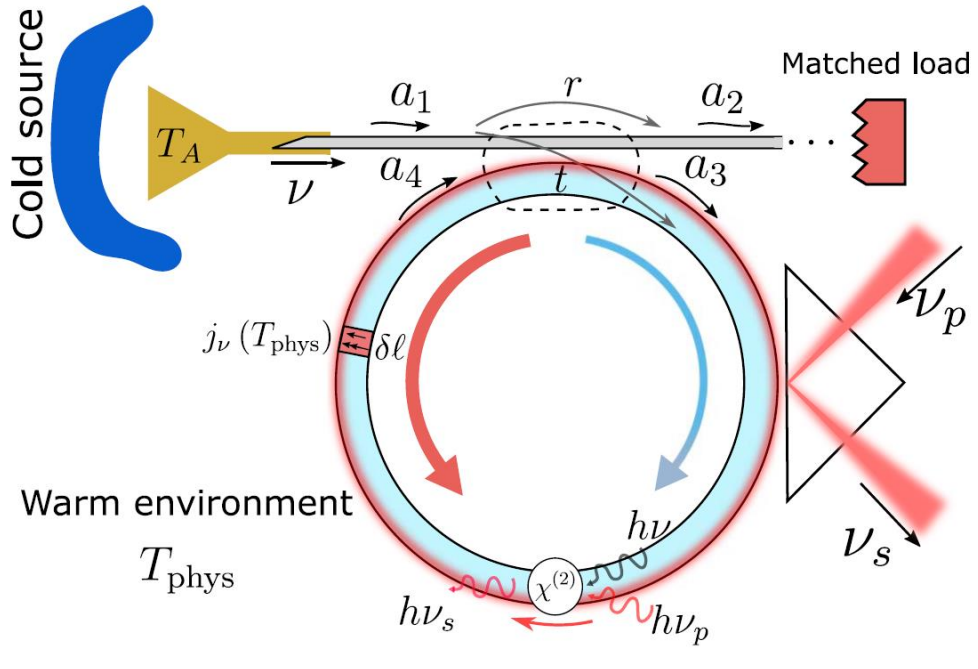
Hot matched load

Thermal noise from thermic bath

Thermal noise from horn+waveguide

Thermal noise from the resonator

Electro-optic up-converter: ruido inherente al resonador



Thermal equilibrium

a^2

$$|j_\nu(T_{\text{phys}})|^2 = h\nu(1 - \exp(-2\alpha\delta\ell))\Theta_\nu(T_{\text{phys}}),$$

$$\Theta_\nu(T) = [\exp(h\nu/(k_B T)) - 1]^{-1}$$

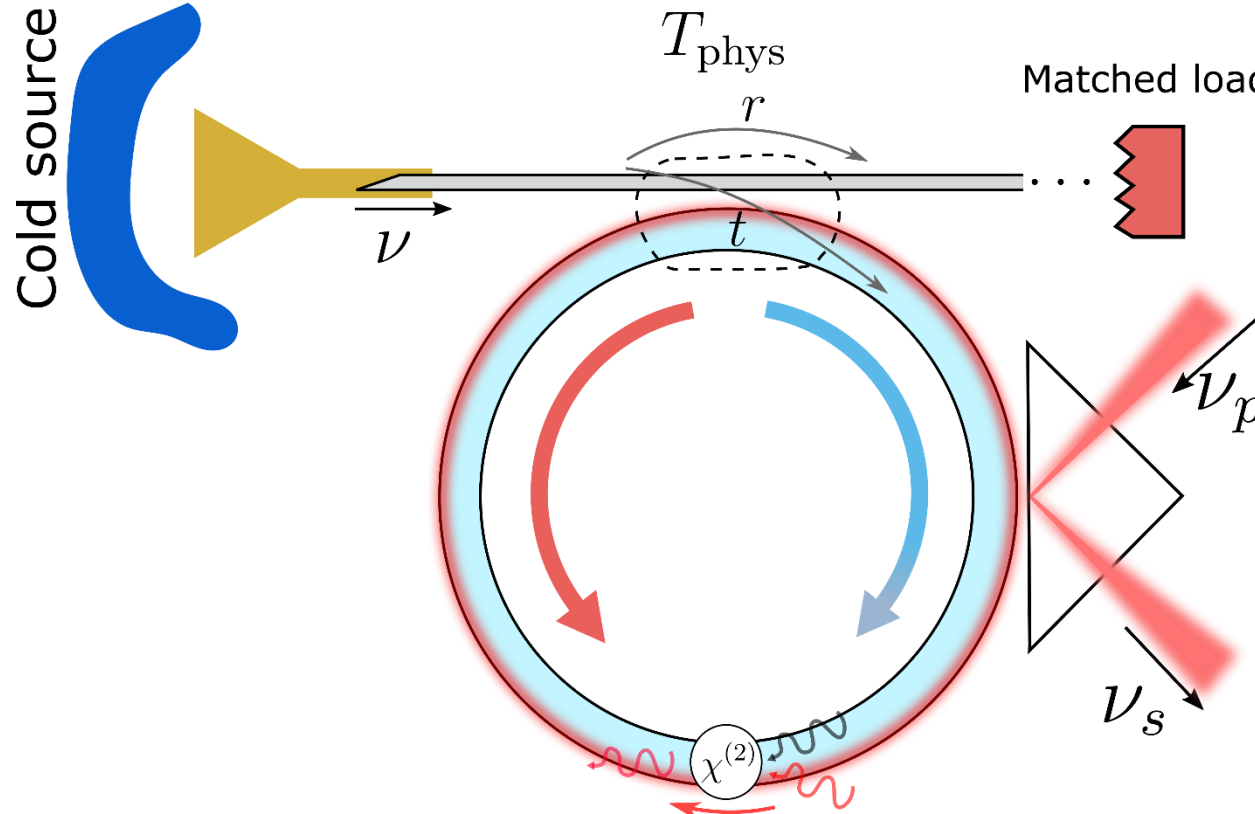
$$|s_T(\nu, \ell_2)|^2 = \underbrace{\frac{a^{2\ell_2}/L(1 - |r|^2)}{|1 - a|r| \exp(i2\pi\tau\delta\nu)|^2} h\nu\Theta_\nu(T_A)}_{\text{Antenna contribution}} + \underbrace{\frac{1 - |r|^2 a^2 - (1 - |r|^2)a^{2\ell_2}/L}{|1 - a|r| \exp(i2\pi\tau\delta\nu)|^2} h\nu\Theta_\nu(T_{\text{phys}})}_{\text{"Hot" resonator contribution}}$$

$$P_s \propto \frac{(1 - a^2)(1 - |r|^2)}{\ln(a^{-2})} h\nu[\Theta_\nu(T_A) + \Theta_\nu(T_{\text{eff}})],$$

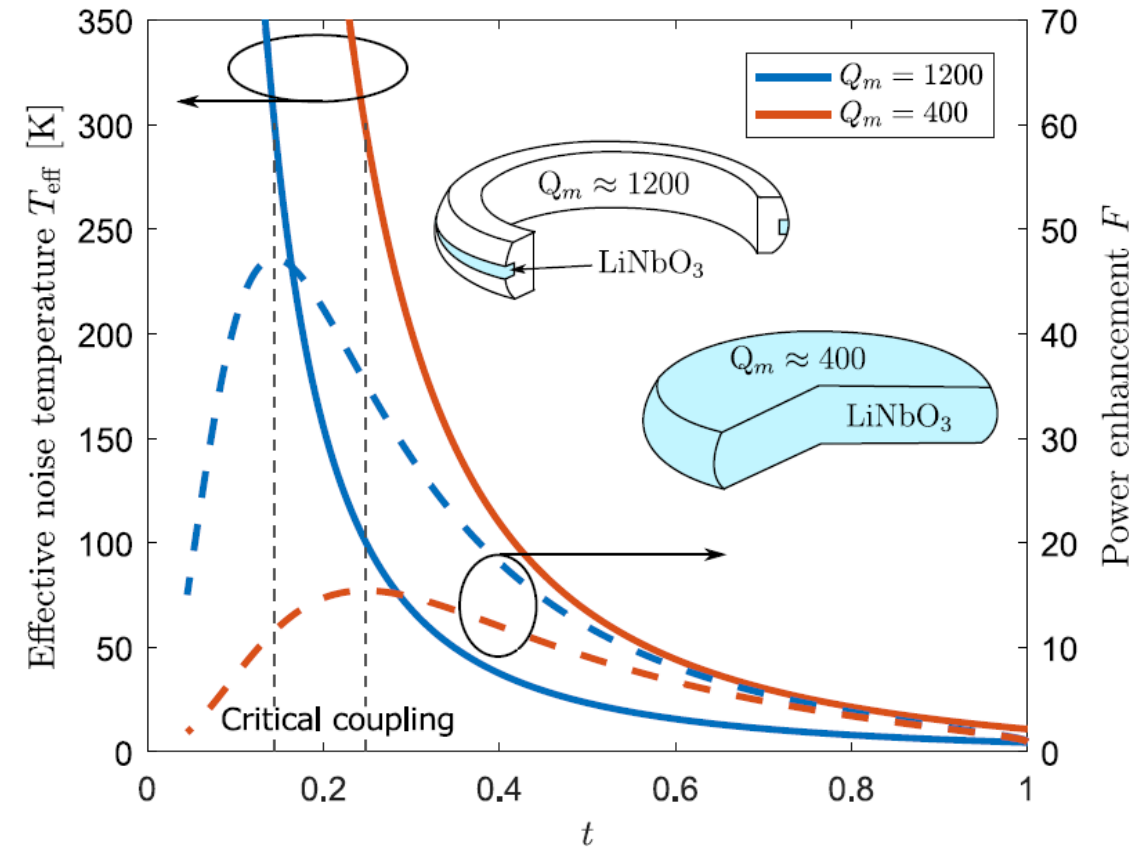
$$\Theta_\nu(T_{\text{eff}}) = \left[\frac{(1 - a^2|r|^2) \ln(a^{-2})}{(1 - a^2)(1 - |r|^2)} - 1 \right] \Theta_\nu(T_{\text{phys}}).$$

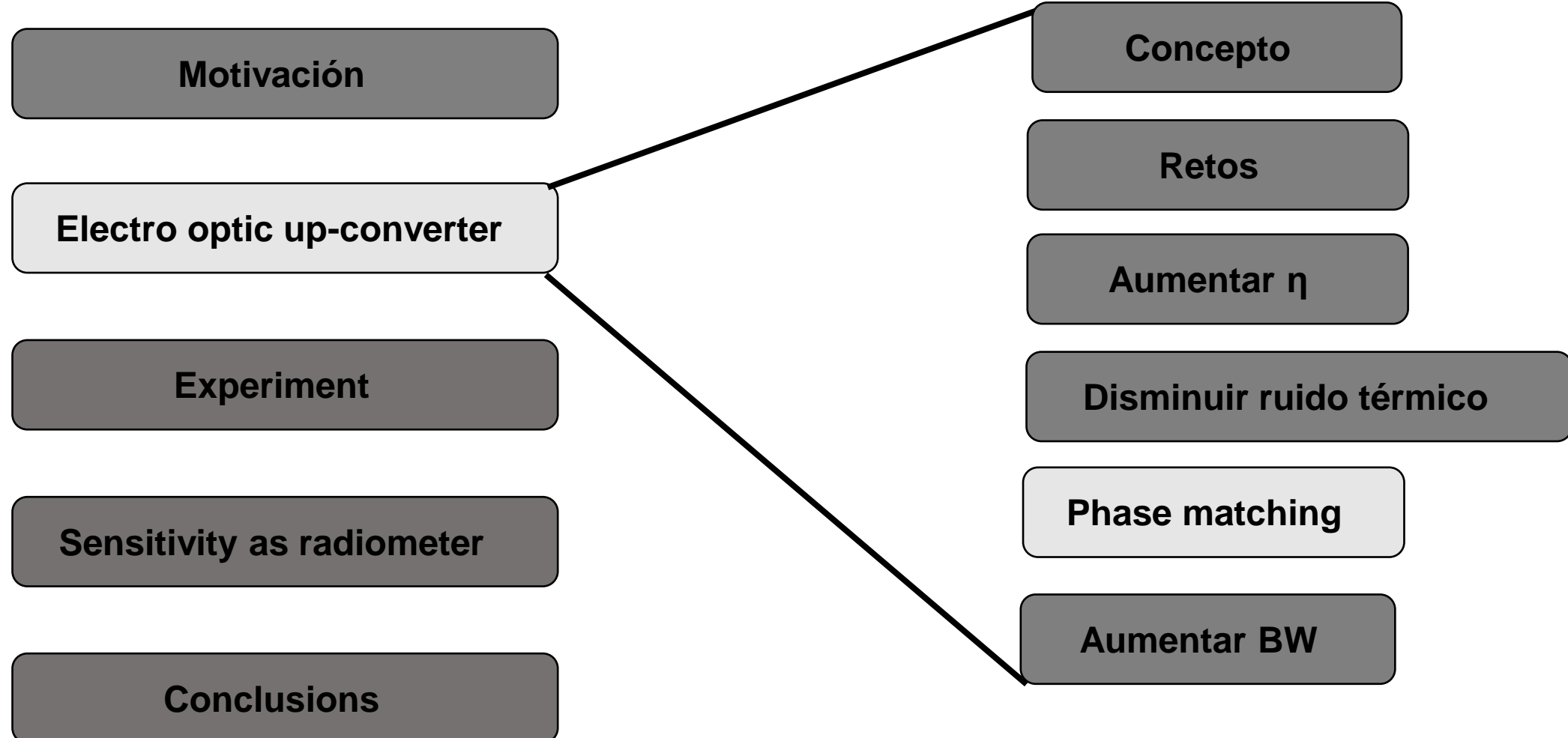
$$T_{\text{eff}} = \left[\frac{(1 - a^2|r|^2) \ln(a^{-2})}{(1 - a^2)(1 - |r|^2)} - 1 \right] T_{\text{phys}}.$$

Electro-optic up-converter: ruido inherente al resonador

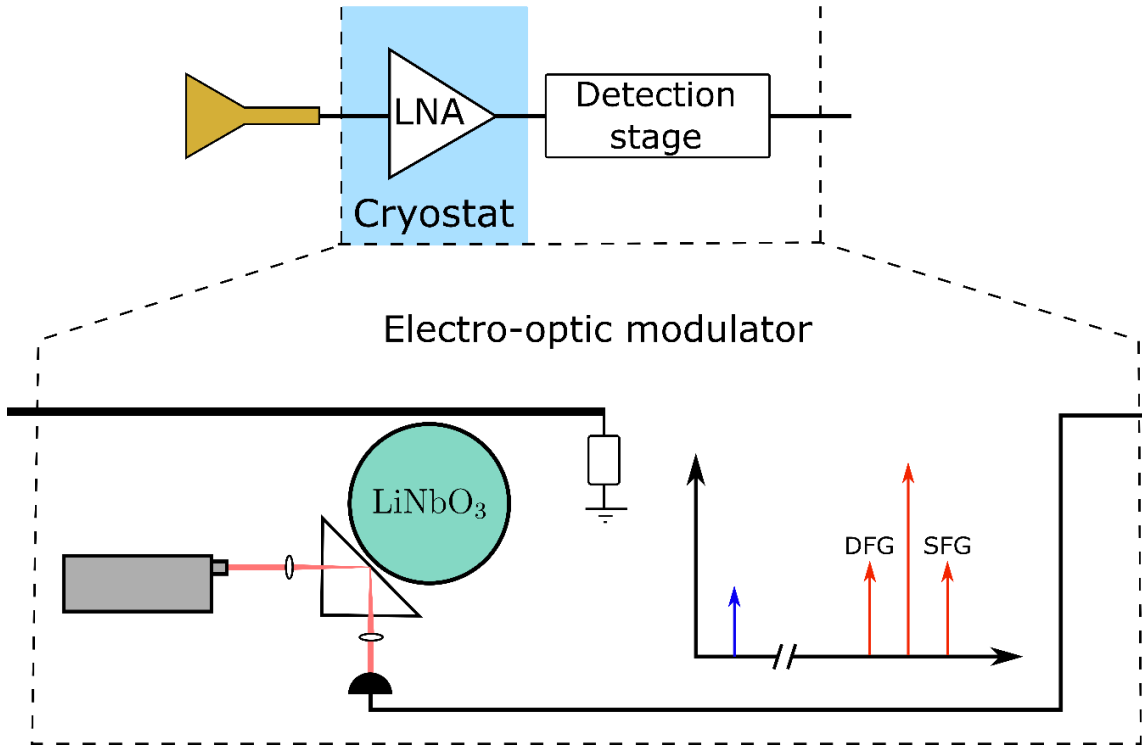


$$T_{\text{eff}} = \left[\frac{(1 - a^2 |r|^2) \ln(a^{-2})}{(1 - a^2)(1 - |r|^2)} - 1 \right] T_{\text{phys}}.$$





Electro-optic up-converter: challenges



Challenges:

1. High conversion efficiency:

$$\eta = \frac{\# \text{ of upconverted photons}}{\# \text{ of input microwave photons}}$$

2. Avoid thermal noise being upconverted

3. Phase matching

4. High upconversion bandwidth

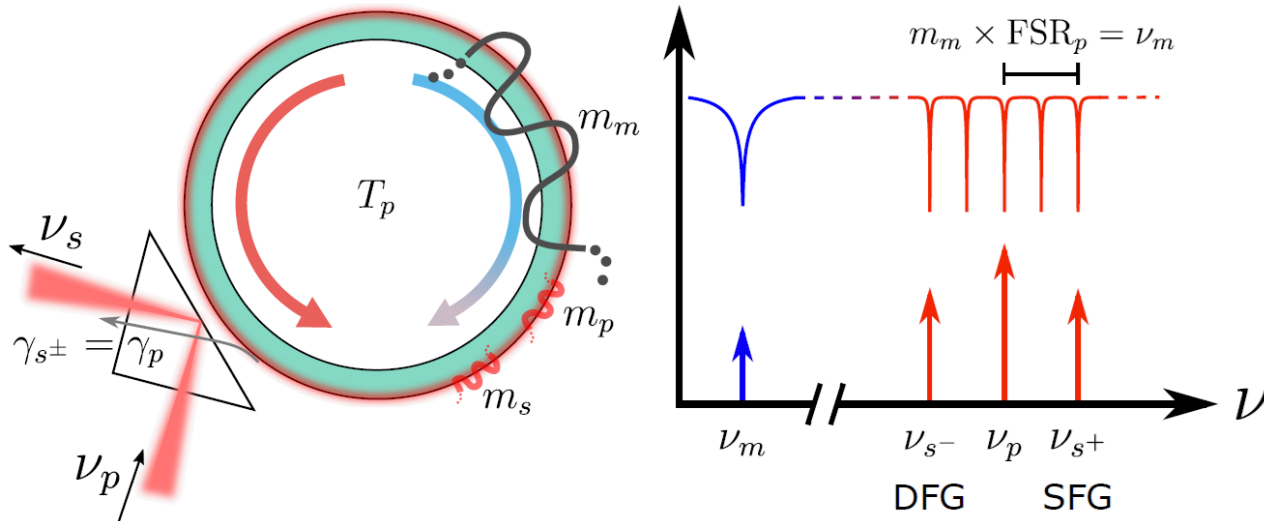
Electro-optic up-converter: realizing phase matching

Momentum conservation constrains mode azimuthal numbers to fulfill the relation:

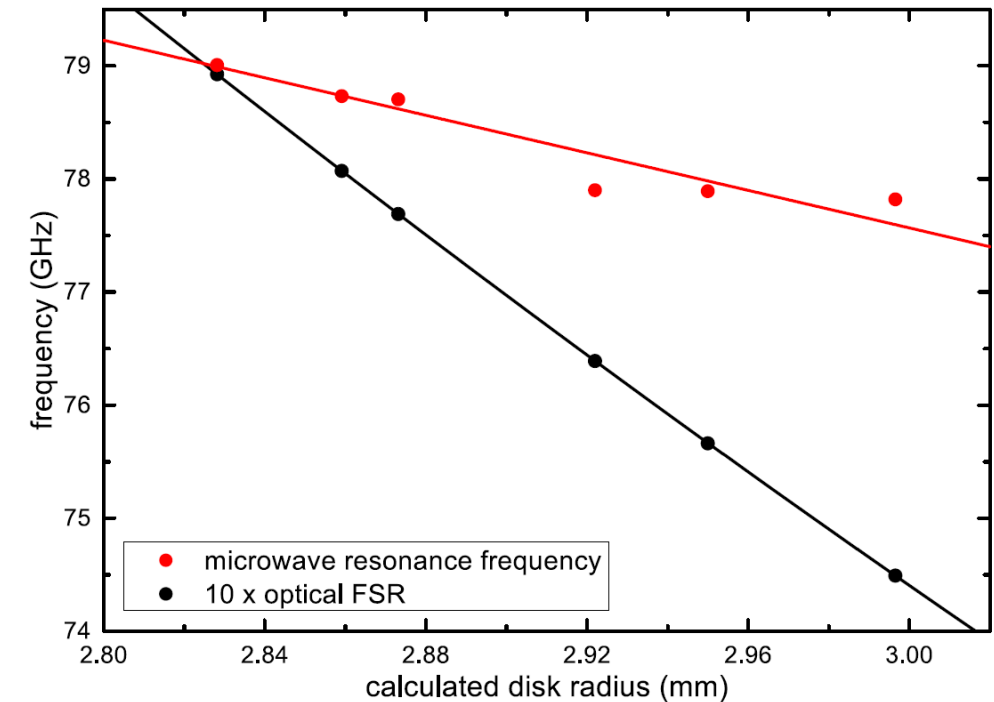
$$m_s = m_p \pm m_m$$

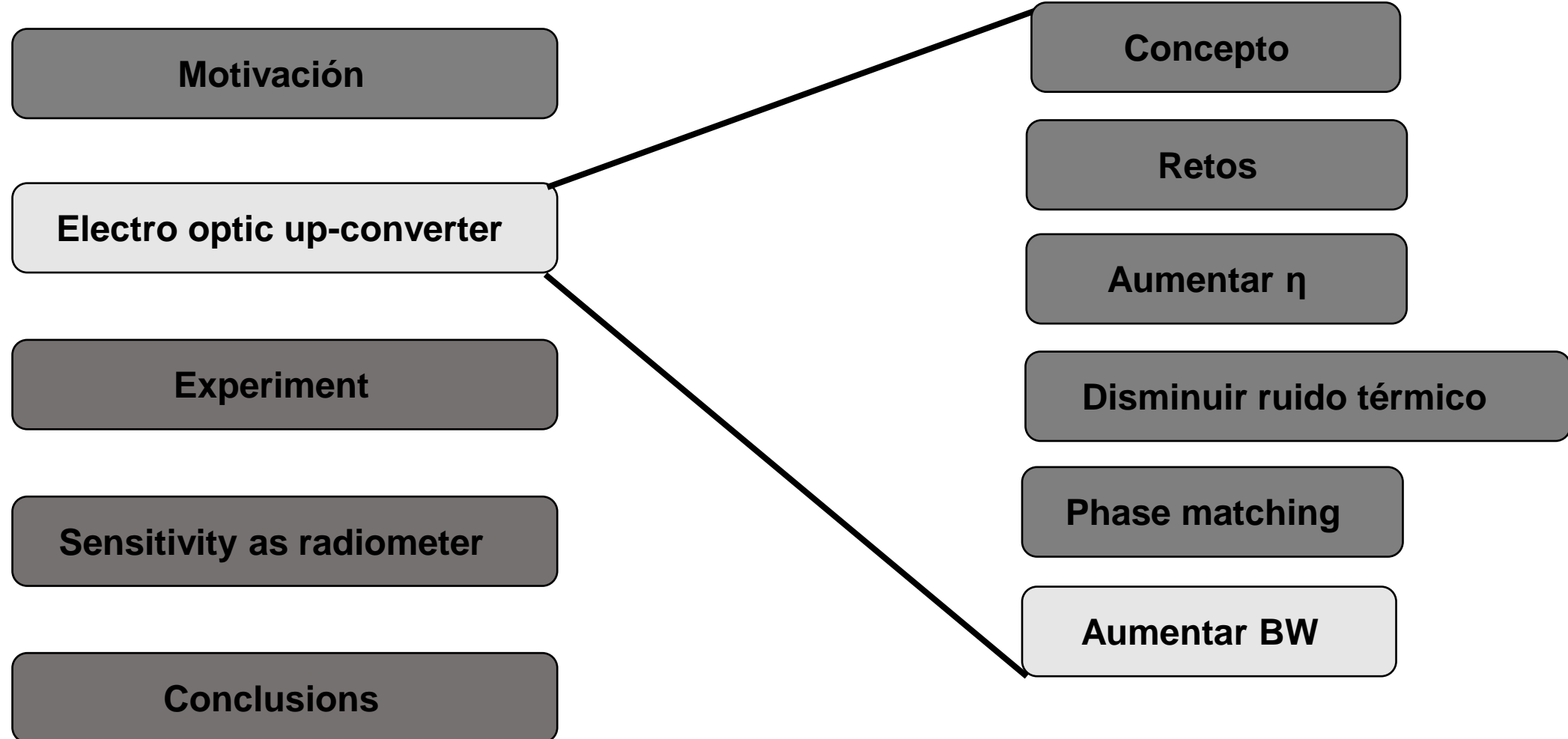
Energy conservation constrains the frequency to fulfill the relation

$$f_s = f_p \pm f_m$$

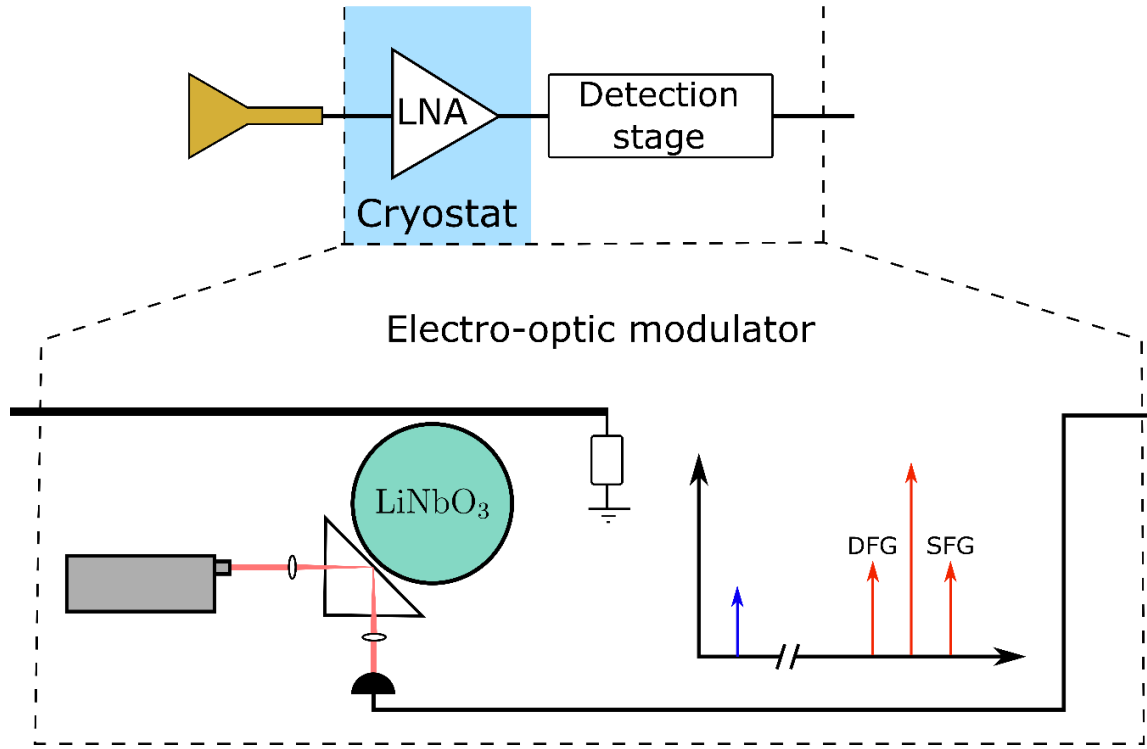


Since the prism couples both optical modes with the same rate, the sideband must also be resonant. Narrowband up-conversion! ≈ 2 MHz for 1550 nm light and $Q \approx 10^8$ cavity





Electro-optic up-converter: challenges



Challenges:

1. High conversion efficiency:

$$\eta = \frac{\# \text{ of upconverted photons}}{\# \text{ of input microwave photons}}$$

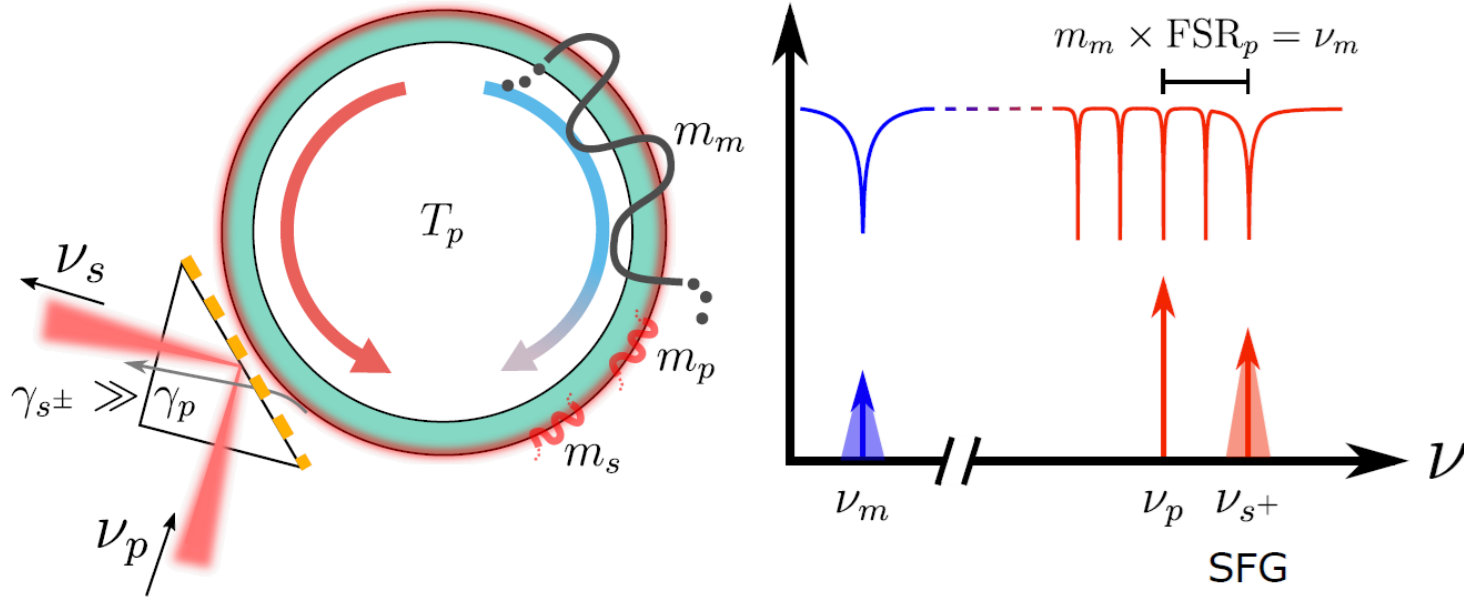
2. Avoid thermal noise being upconverted

3. Phase matching

4. High upconversion bandwidth

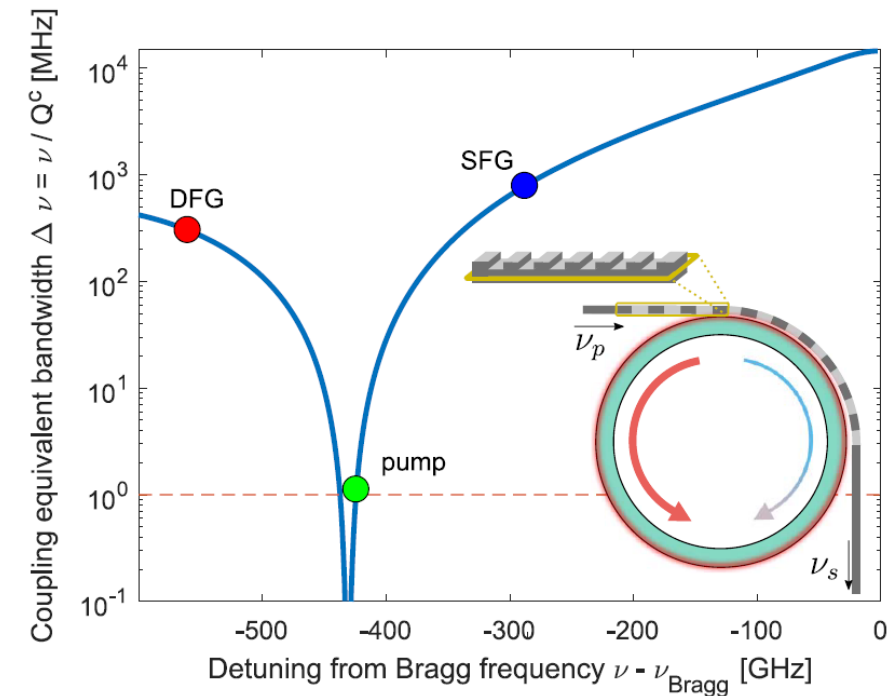
Electro-optic up-converter: increasing bandwidth

Finding a strong mode selective coupler

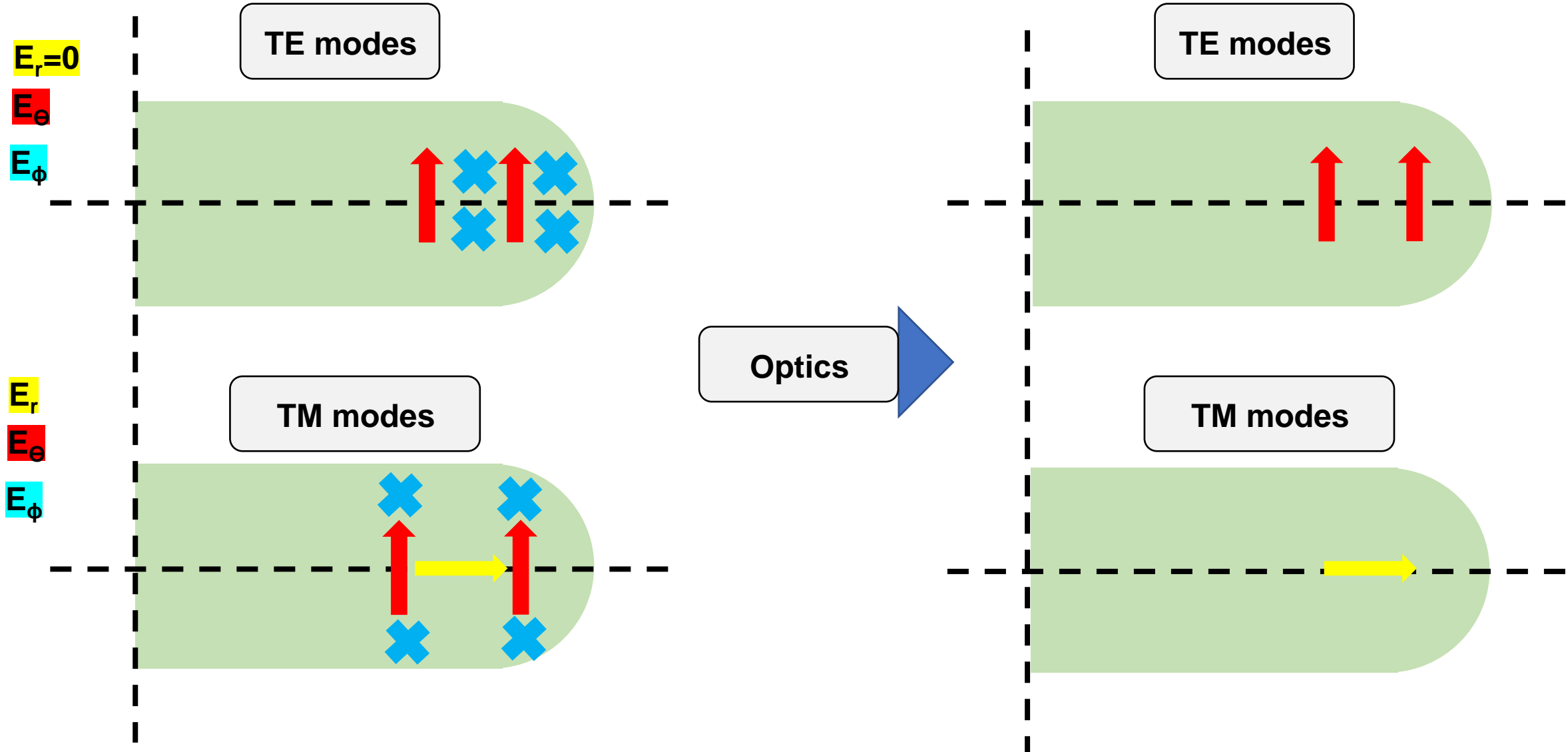


Grating etched in optical silicon coupling waveguide.

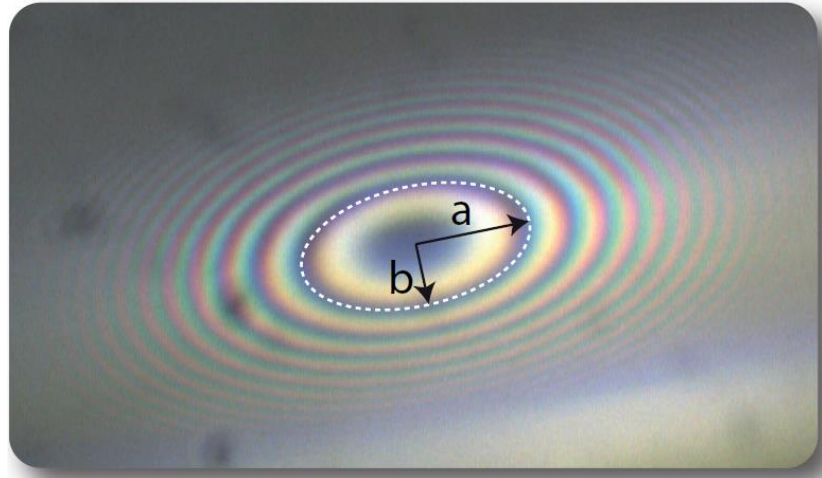
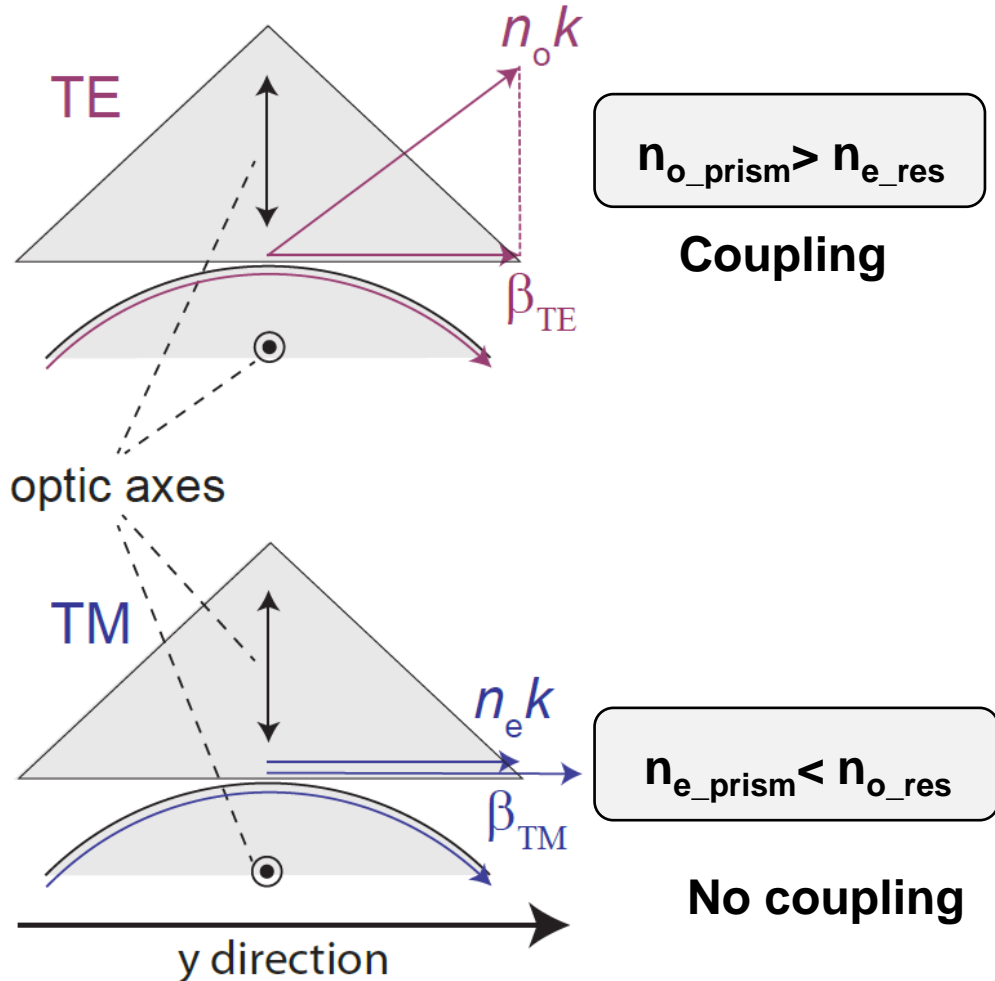
Preliminary theoretical study with coupled-mode theory shows 800 MHz upconversion bandwidth of 130 GHz signals.



Electro-optic up-converter: increasing bandwidth



Electro-optic up-converter: increasing bandwidth



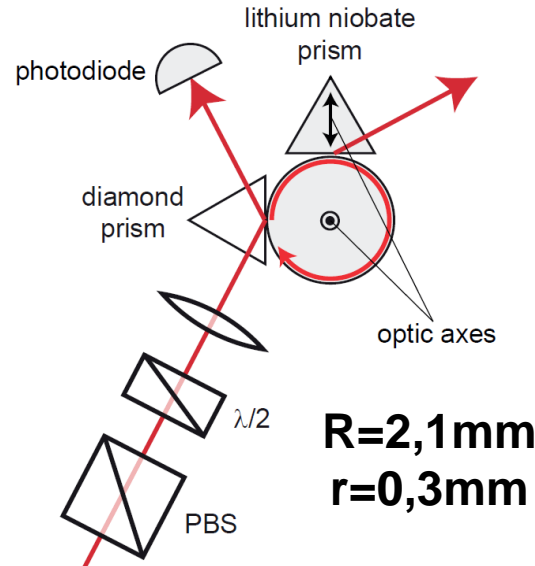
Research Article | Vol. 24, No. 23 | 14 Nov 2016 | OPTICS EXPRESS 26503

Optics EXPRESS

Maximization of the optical intra-cavity power of whispering-gallery mode resonators via coupling prism

G. A. SANTAMARÍA-BOTELLO,¹ L. E. GARCÍA MUÑOZ,^{1,*} F. SEDLMEIR,² S. PREU,³ D. SEGOVIA-VARGAS,¹ K. ATIÁ ABDALMALAK,¹ S. LLORENTE ROMANO,¹ A. GARCÍA LAMPÉREZ,¹ S. MALZER,⁴ G. H. DÖHLER,⁴ H. G. L. SCHWEFEL,² AND H. B. WEBER⁴

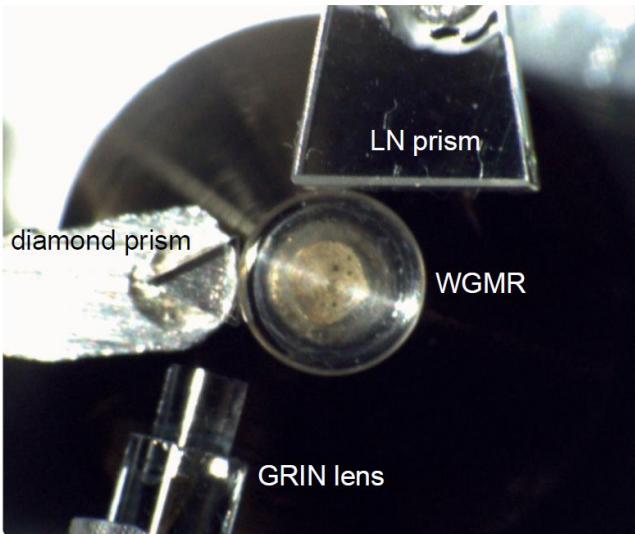
Electro-optic up-converter: experiment for increasing bandwidth



Coupling to the LN prism

TE modes

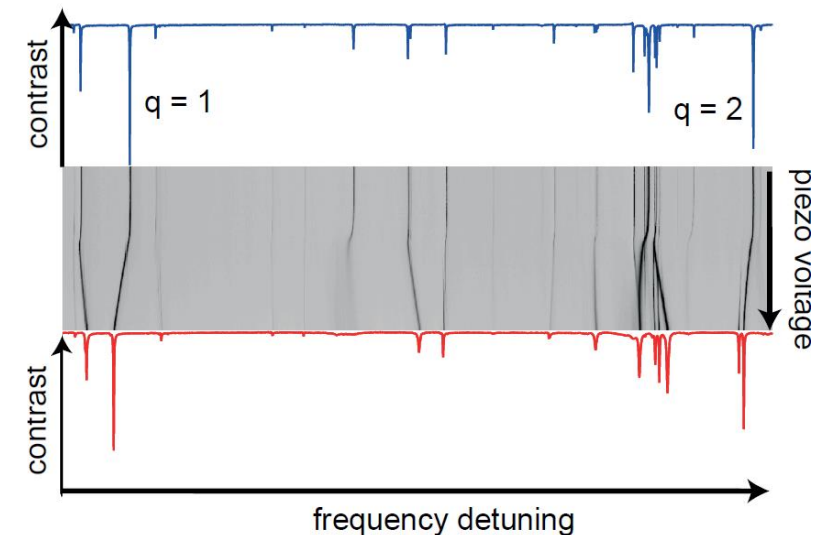
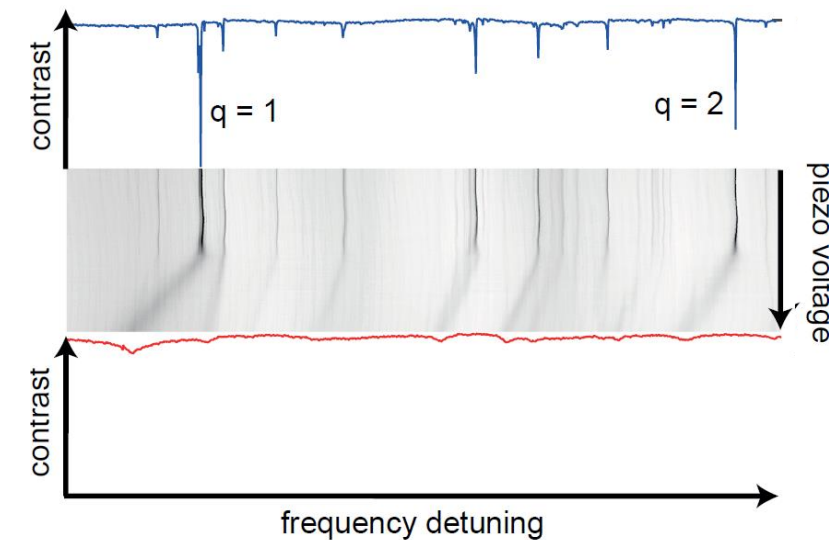
$$Q=8,8 \times 10^7$$

$$\Delta v_{TE}=2,2 \text{ MHz}$$


No coupling to the LN prism

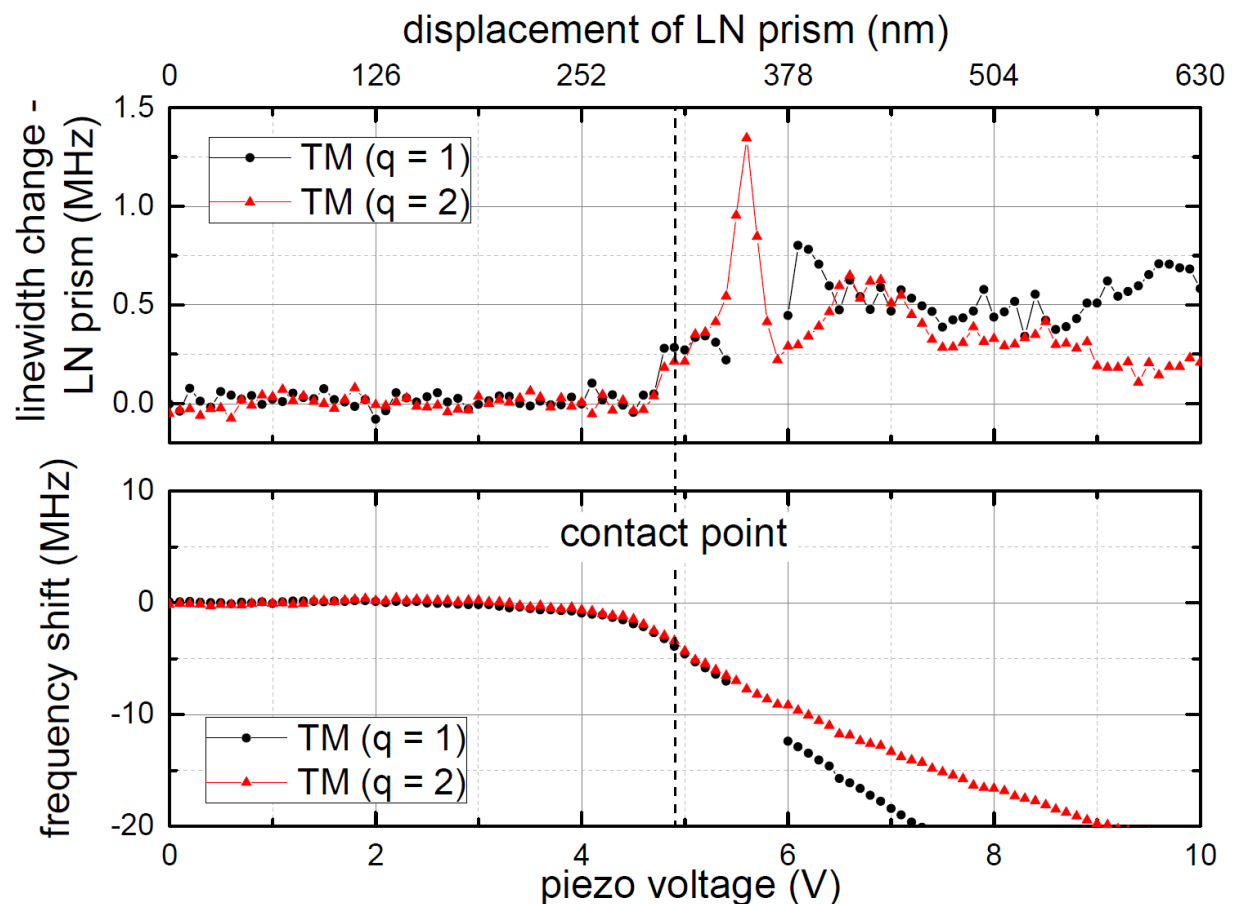
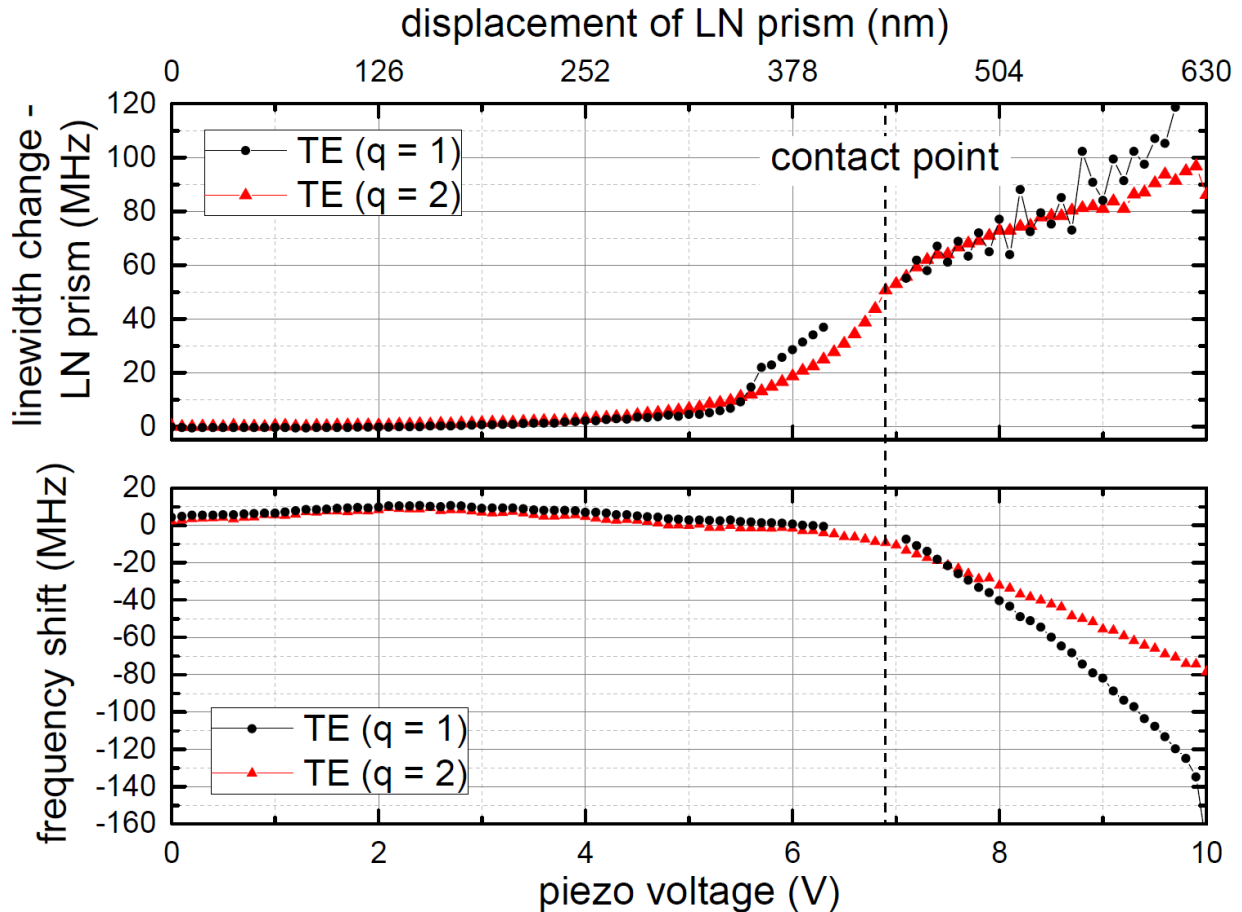
TM modes

$$Q=1,9 \times 10^8$$

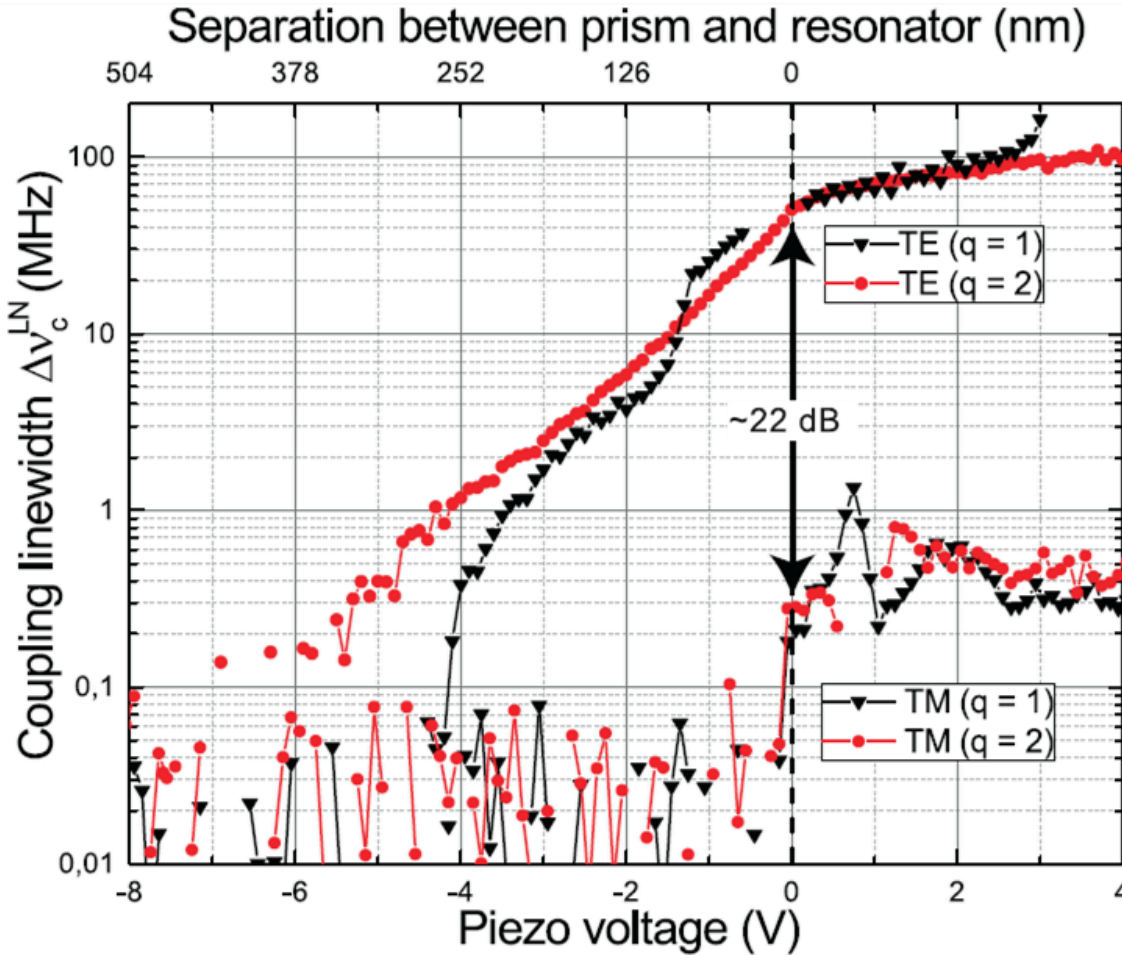
$$\Delta v_{TE}=1 \text{ MHz}$$


Electro-optic up-converter: experiment for increasing bandwidth

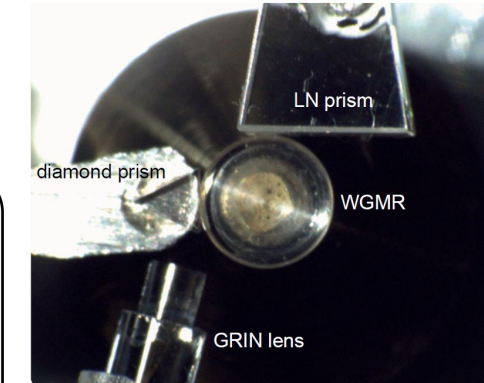
Piezo 0,1V=6,3nm



Electro-optic up-converter: experiment for increasing bandwidth



Up to 100 MHz coupling bandwidth difference between TE and TM modes



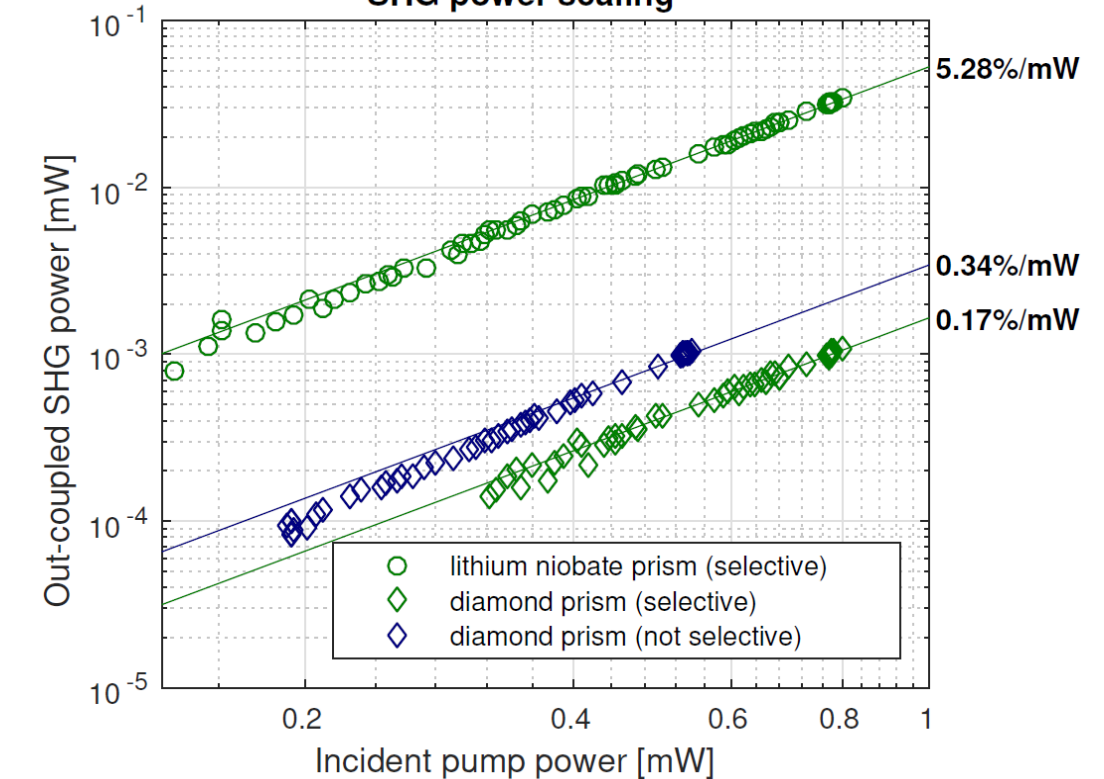
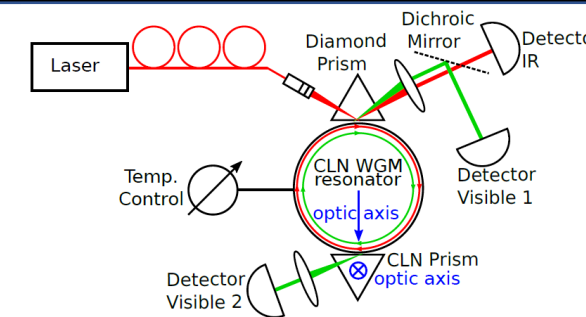
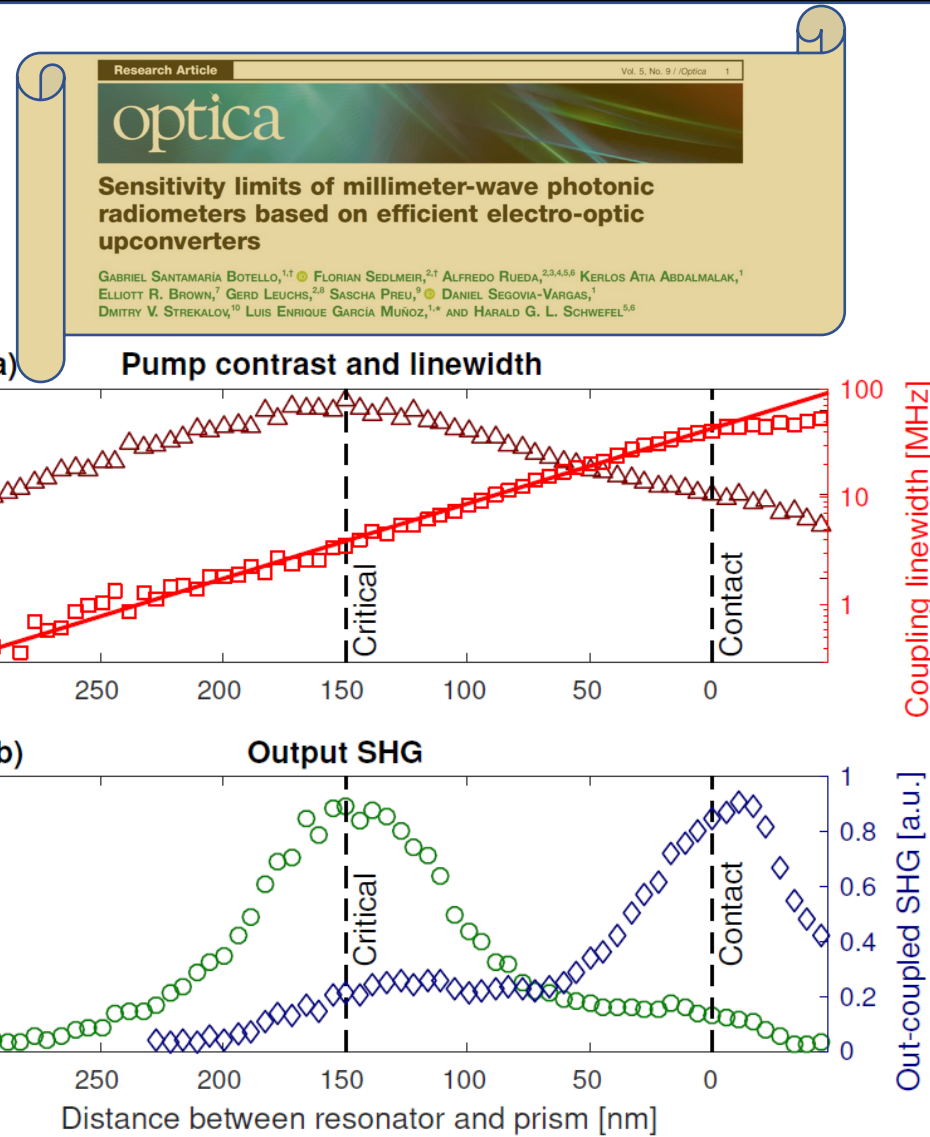
Research Article | Vol. 24, No. 23 | 14 Nov 2016 | OPTICS EXPRESS 26503

Optics EXPRESS

Maximization of the optical intra-cavity power of whispering-gallery mode resonators via coupling prism

G. A. SANTAMARÍA-BOTELLO,¹ L. E. GARCÍA MUÑOZ,^{1,*} F. SEDLMEIR,² S. PREU,³ D. SEGOVIA-VARGAS,¹ K. ATIA ABDALMALAK,¹ S. LLORENTE ROMANO,¹ A. GARCÍA LAMPÉREZ,¹ S. MALZER,⁴ G. H. DÖHLER,⁴ H. G. L. SCHWEFEL,² AND H. B. WEBER⁴

Electro-optic up-converter: increasing bandwidth, SHG experiment



Motivación

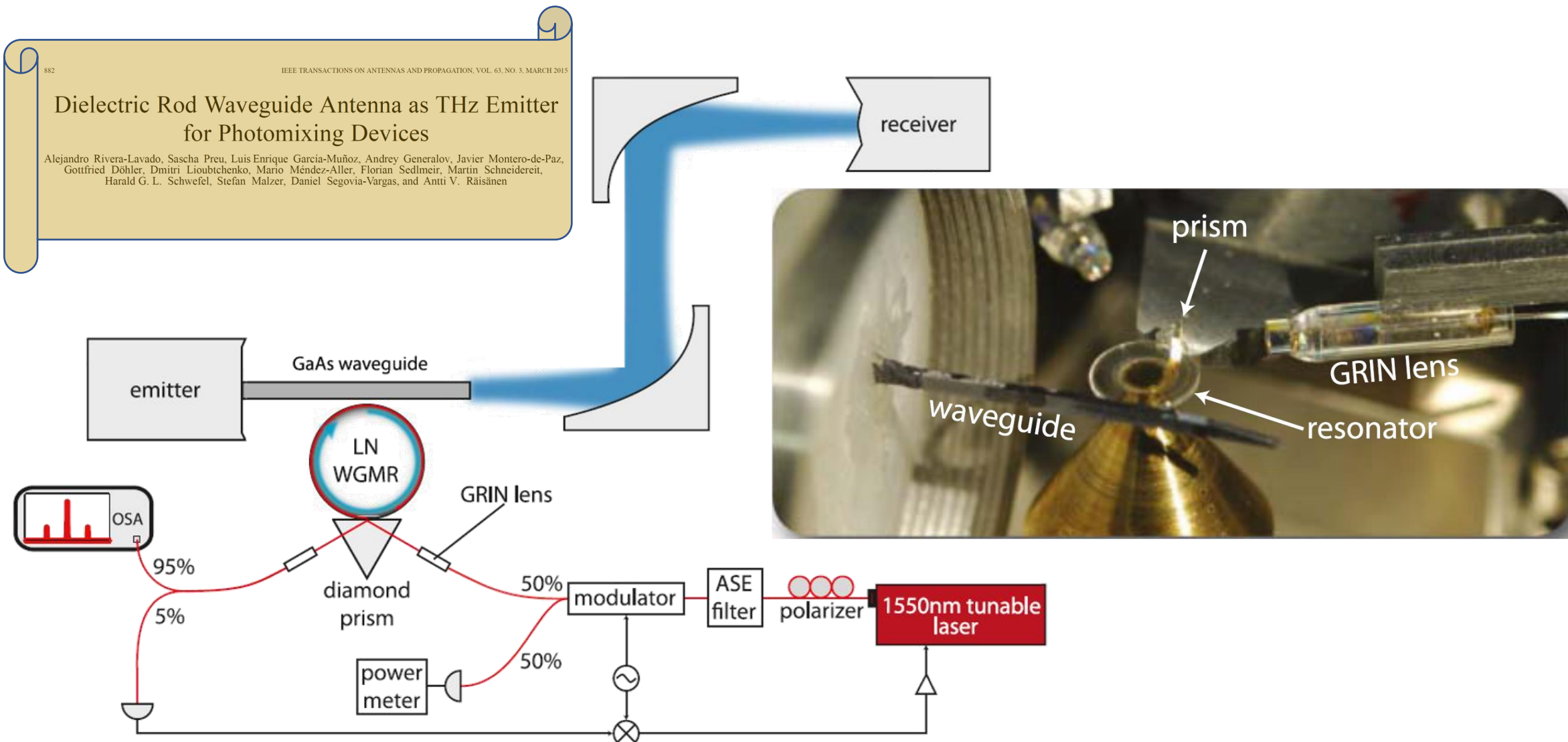
Electro optic up-converter

Experiment

Sensitivity as radiometer

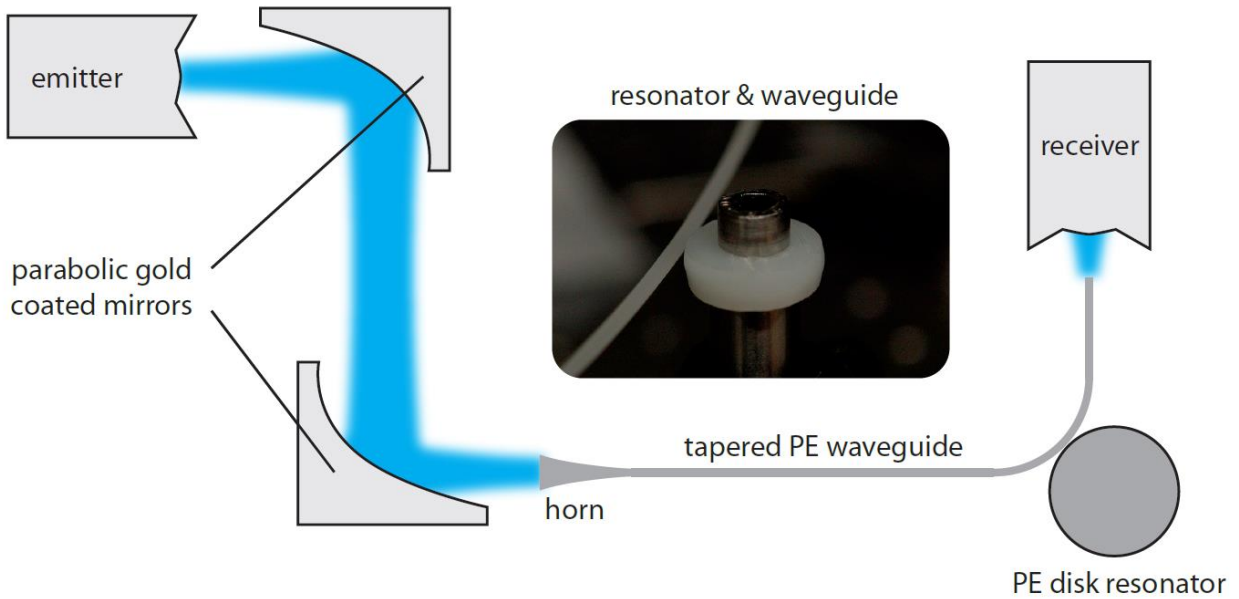
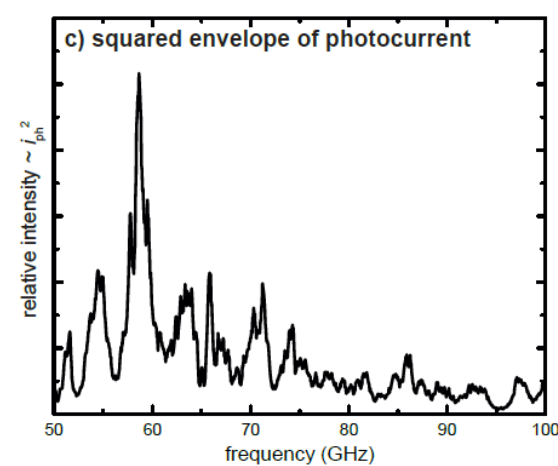
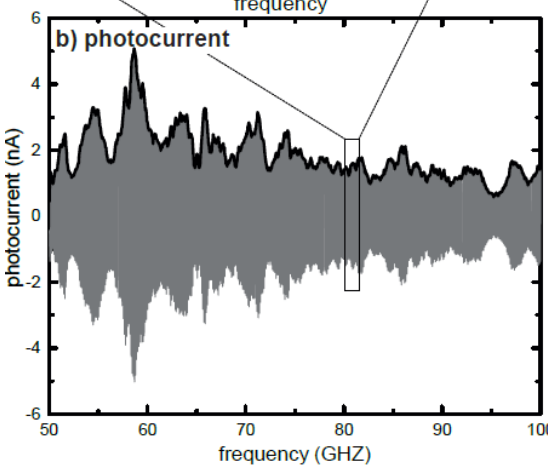
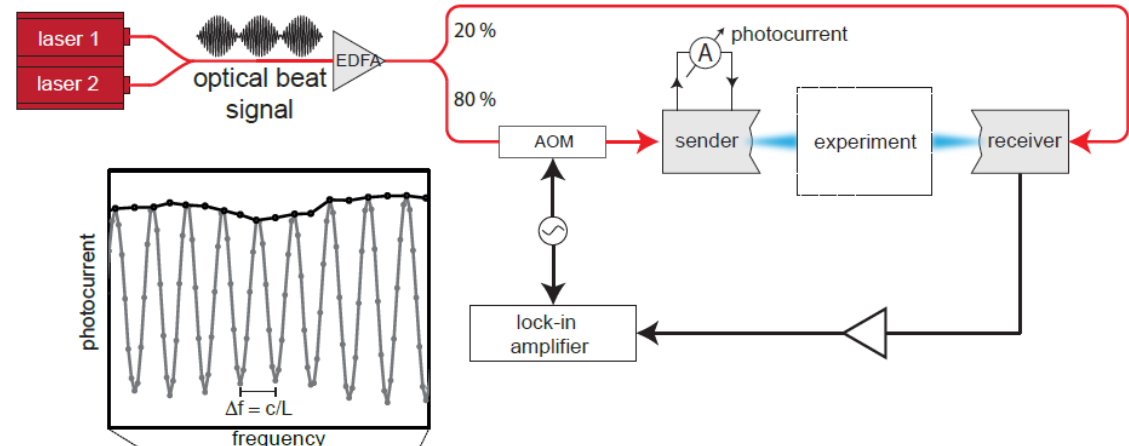
Conclusions

Electro-optic up-converter: Experimental proof of concept



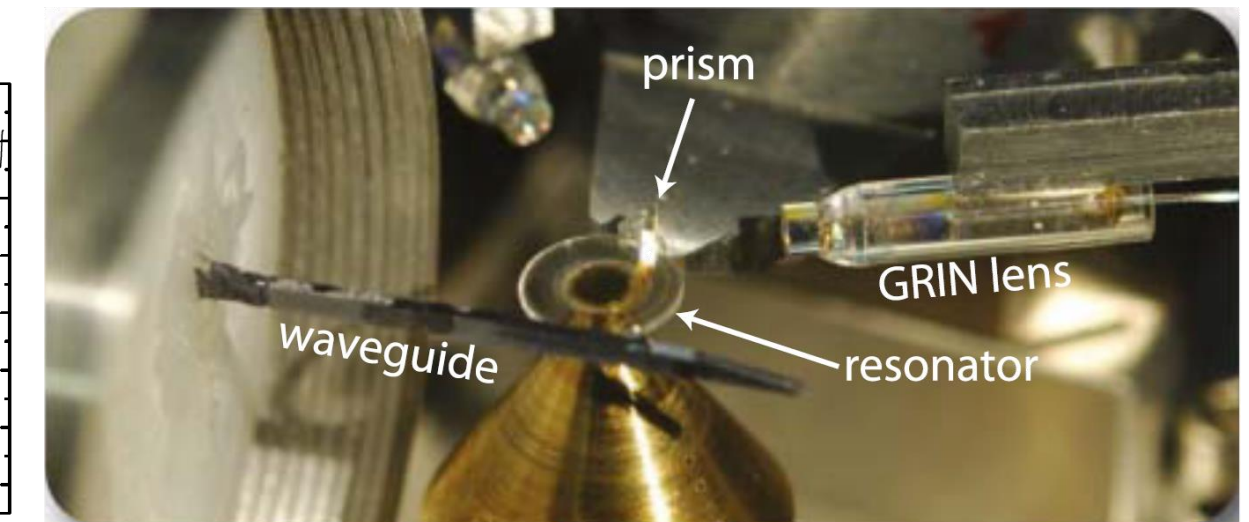
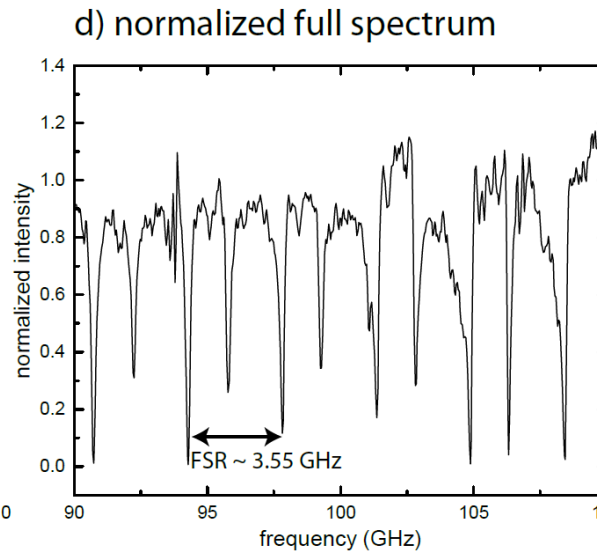
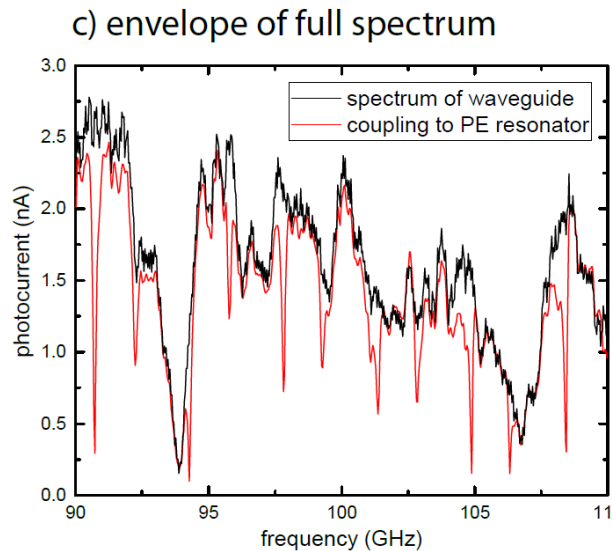
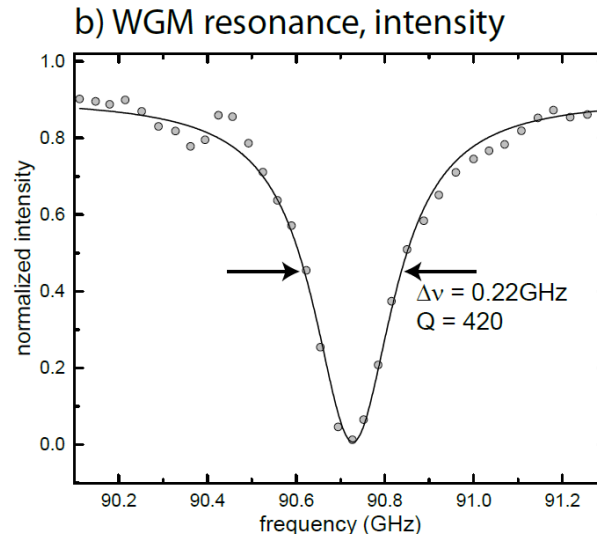
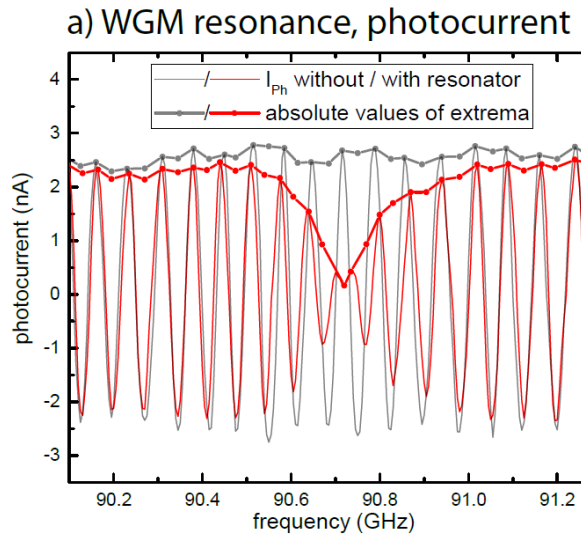
Electro-optic up-converter: Experimental proof of concept

a) schematic of the photomixing setup

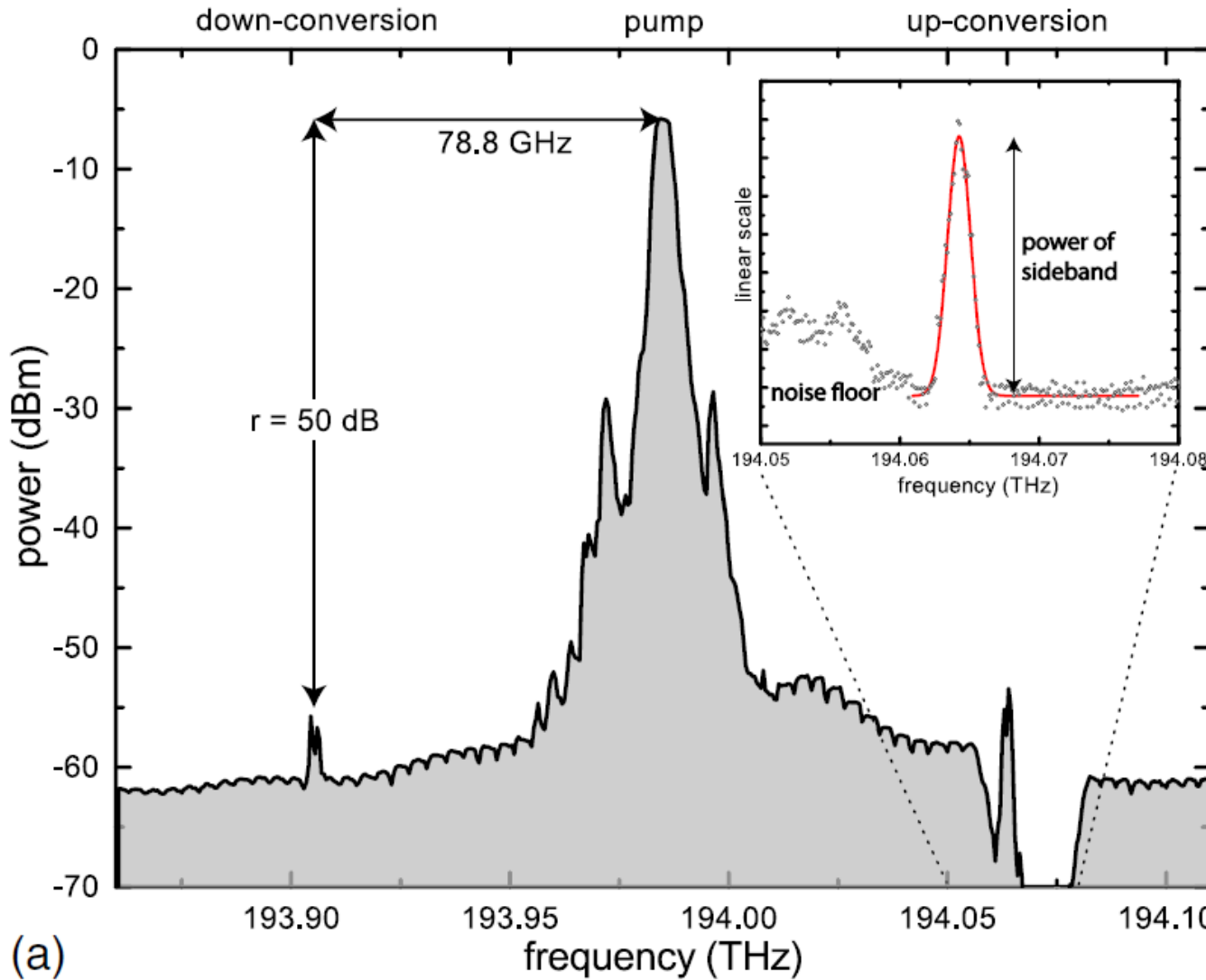


This schematic shows the setup used to couple to a PE resonator ($R = 10$ mm): The microwave from a photomixer emitting to free space is collimated and refocused with two parabolic mirrors into a tapered PE waveguide. The waveguide is bent to improve coupling to the resonator.

Electro-optic up-converter: Experimental proof of concept

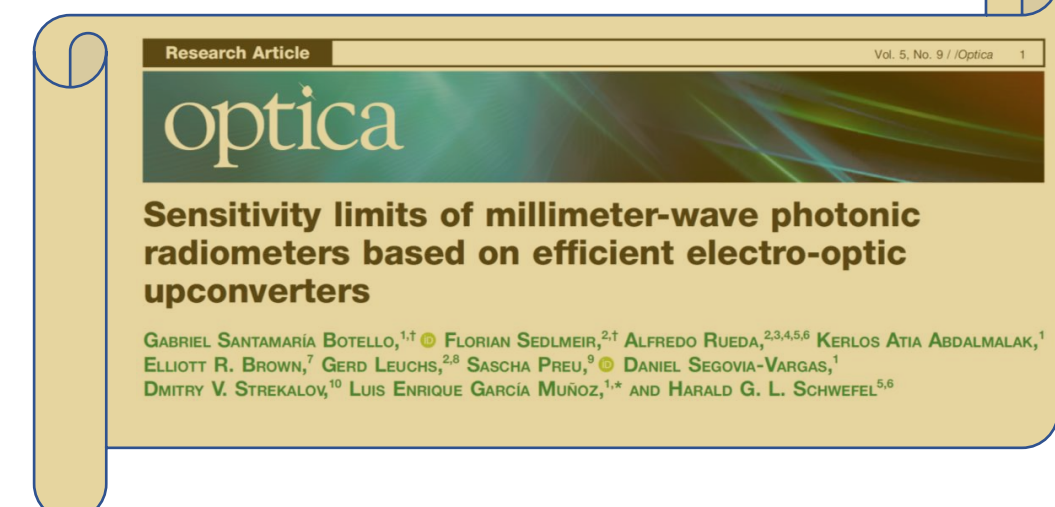


Electro-optic up-converter: Experimental proof of concept

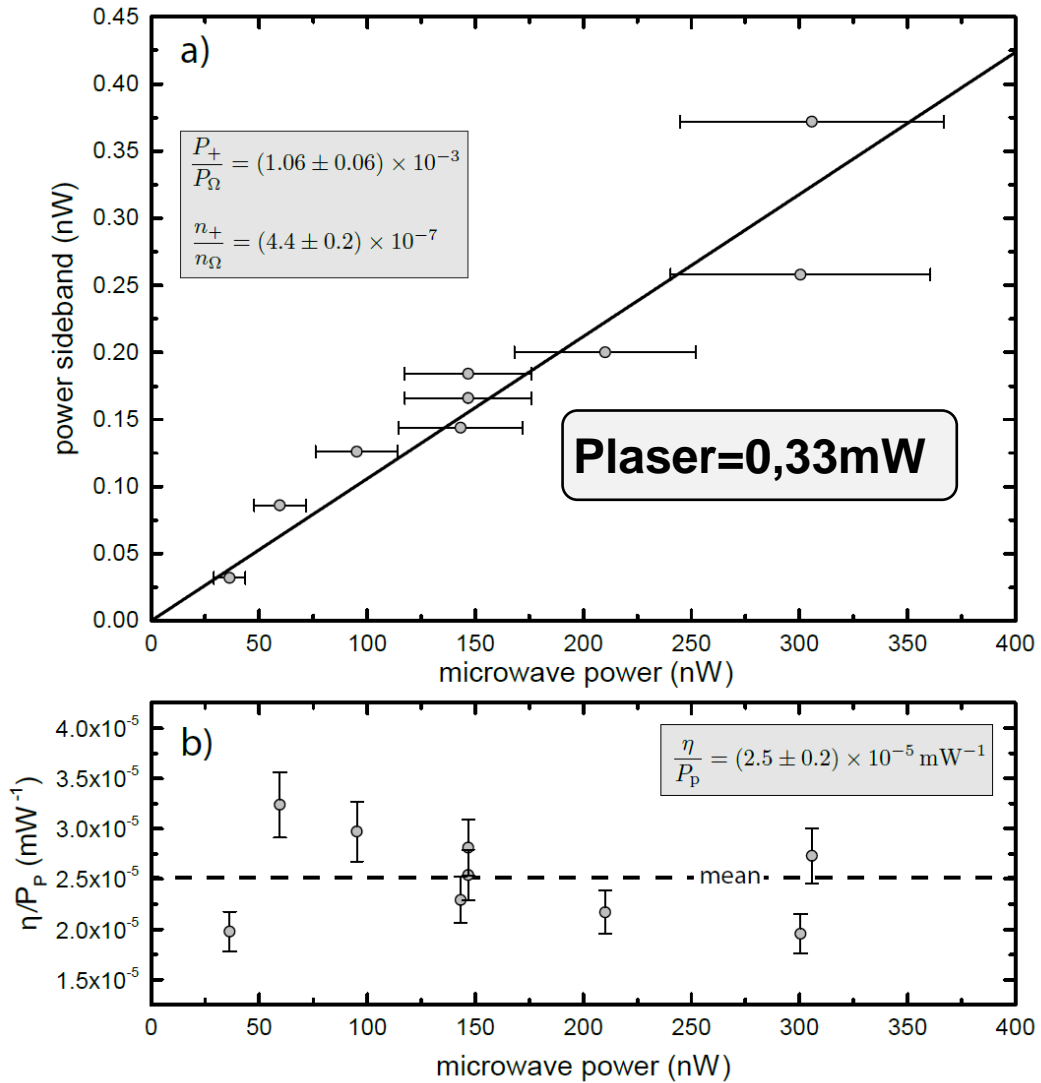
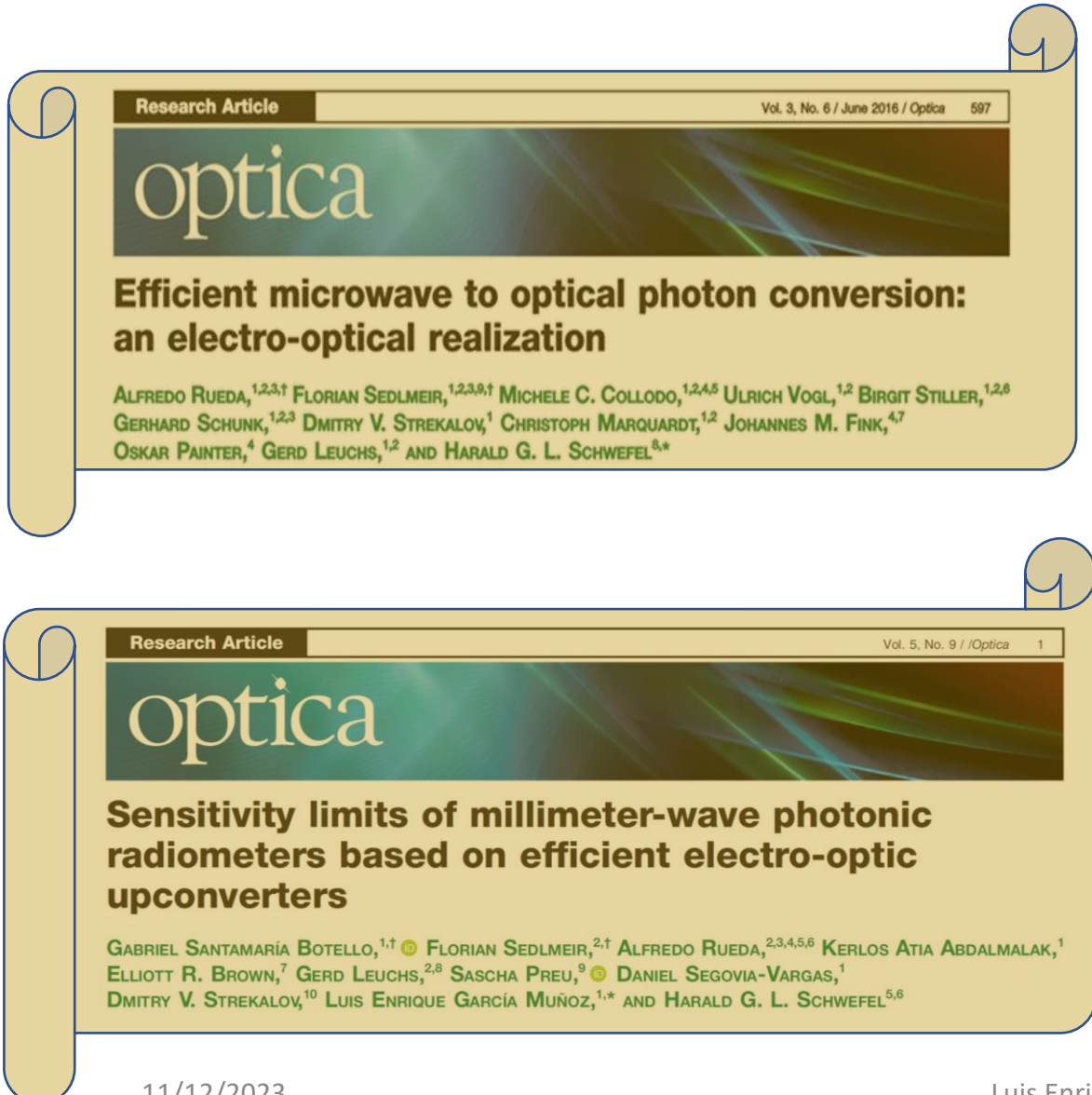


Record conversion efficiency $\eta = 2.5 \times 10^{-5}$ per mW pump power

Geometry optimizations from full-wave simulations show about 2 orders of magnitude efficiency increase



Electro-optic up-converter: Experimental proof of concept



Motivación

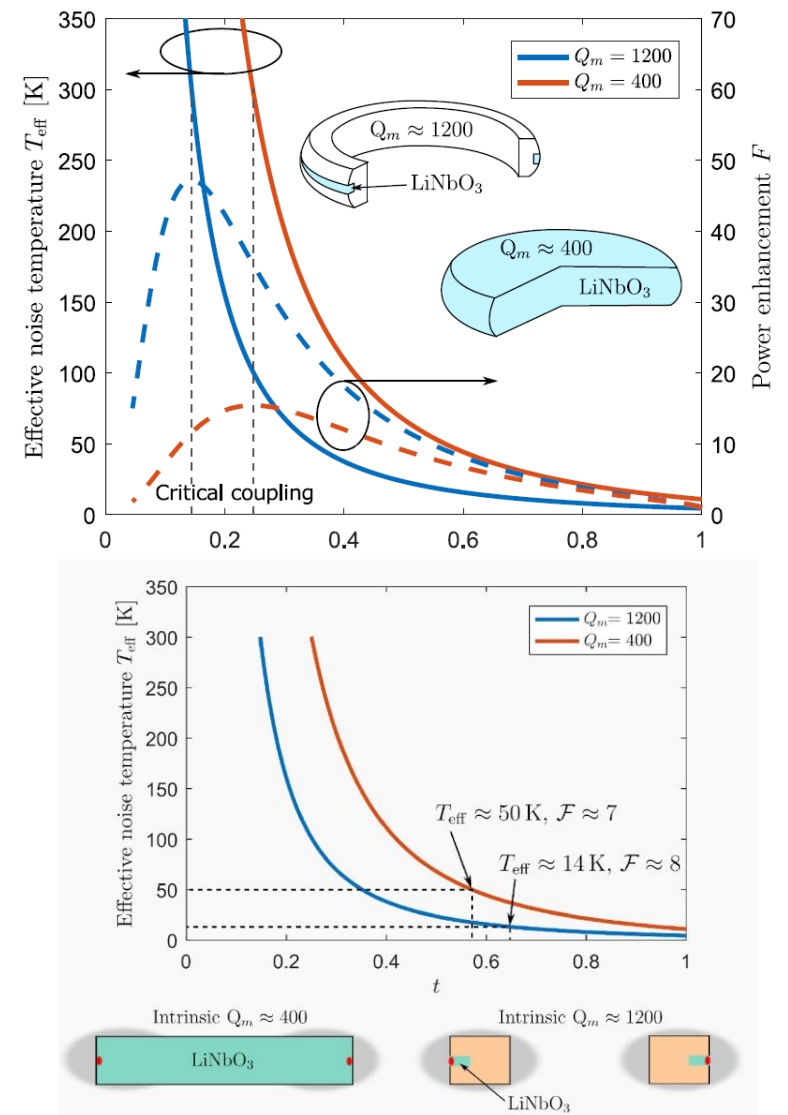
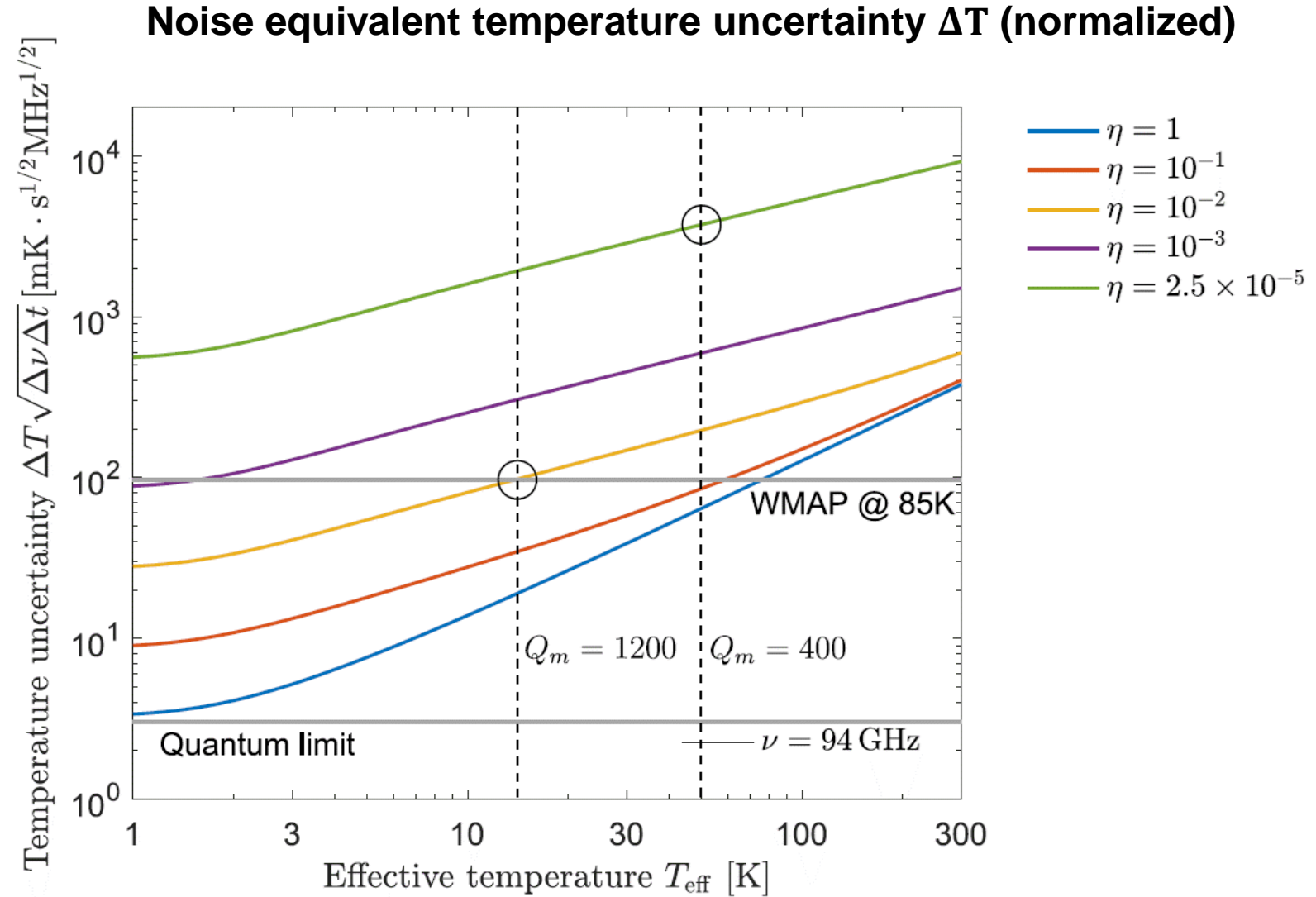
Electro optic up-converter

Experiment

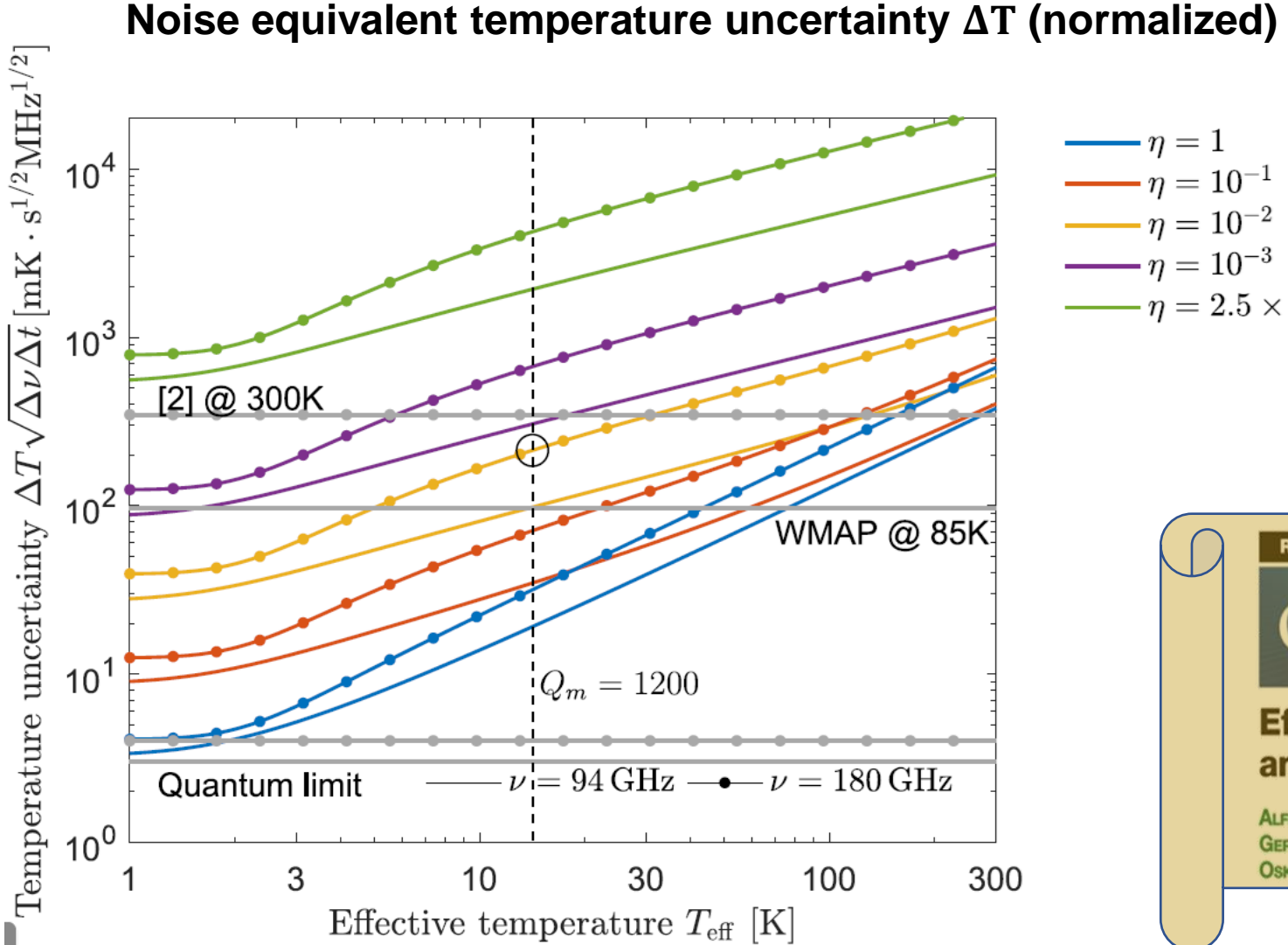
Sensitivity as radiometer

Conclusions

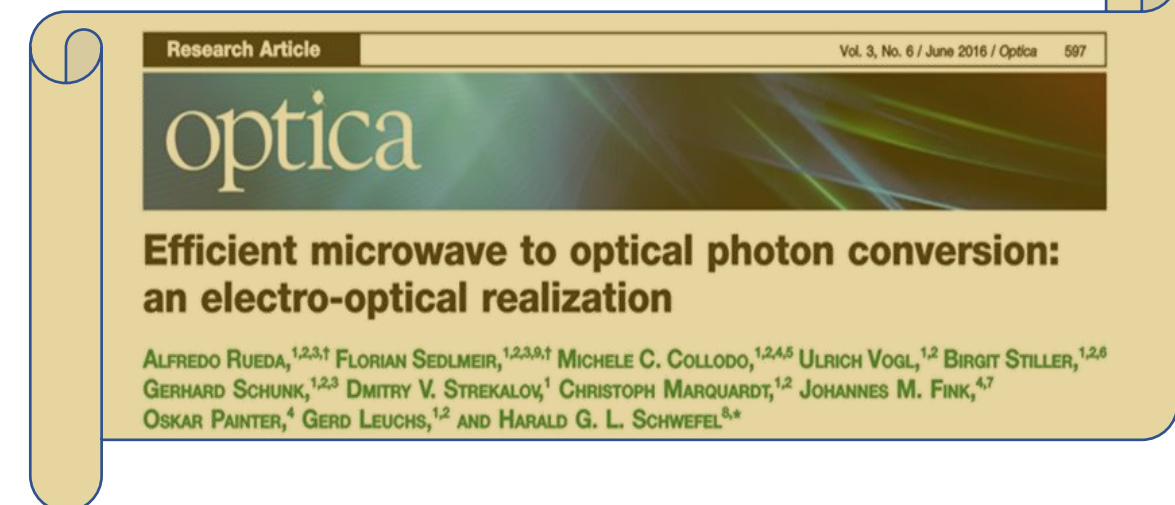
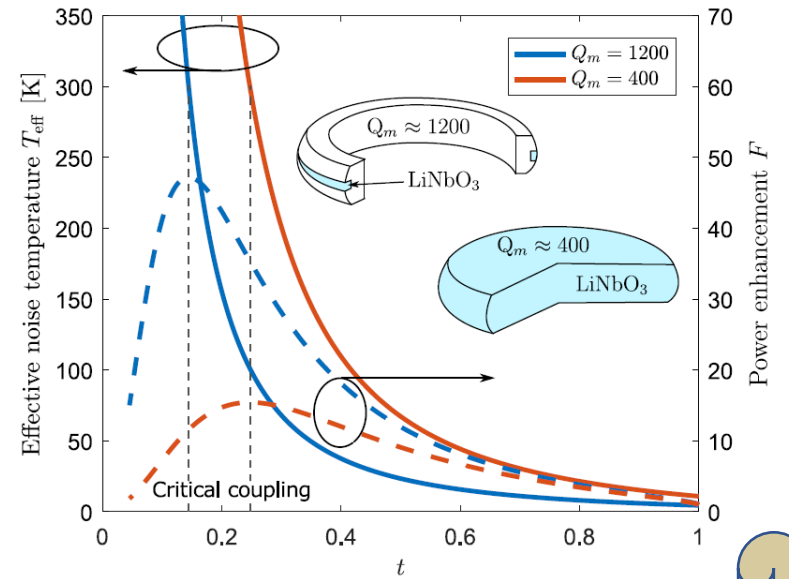
Sensitivity as a radiometer



Sensitivity as a radiometer

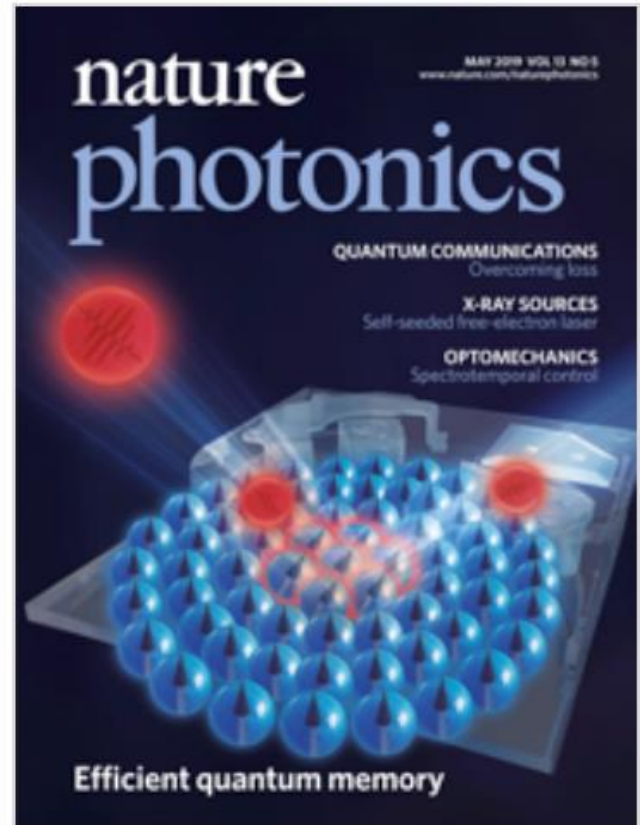
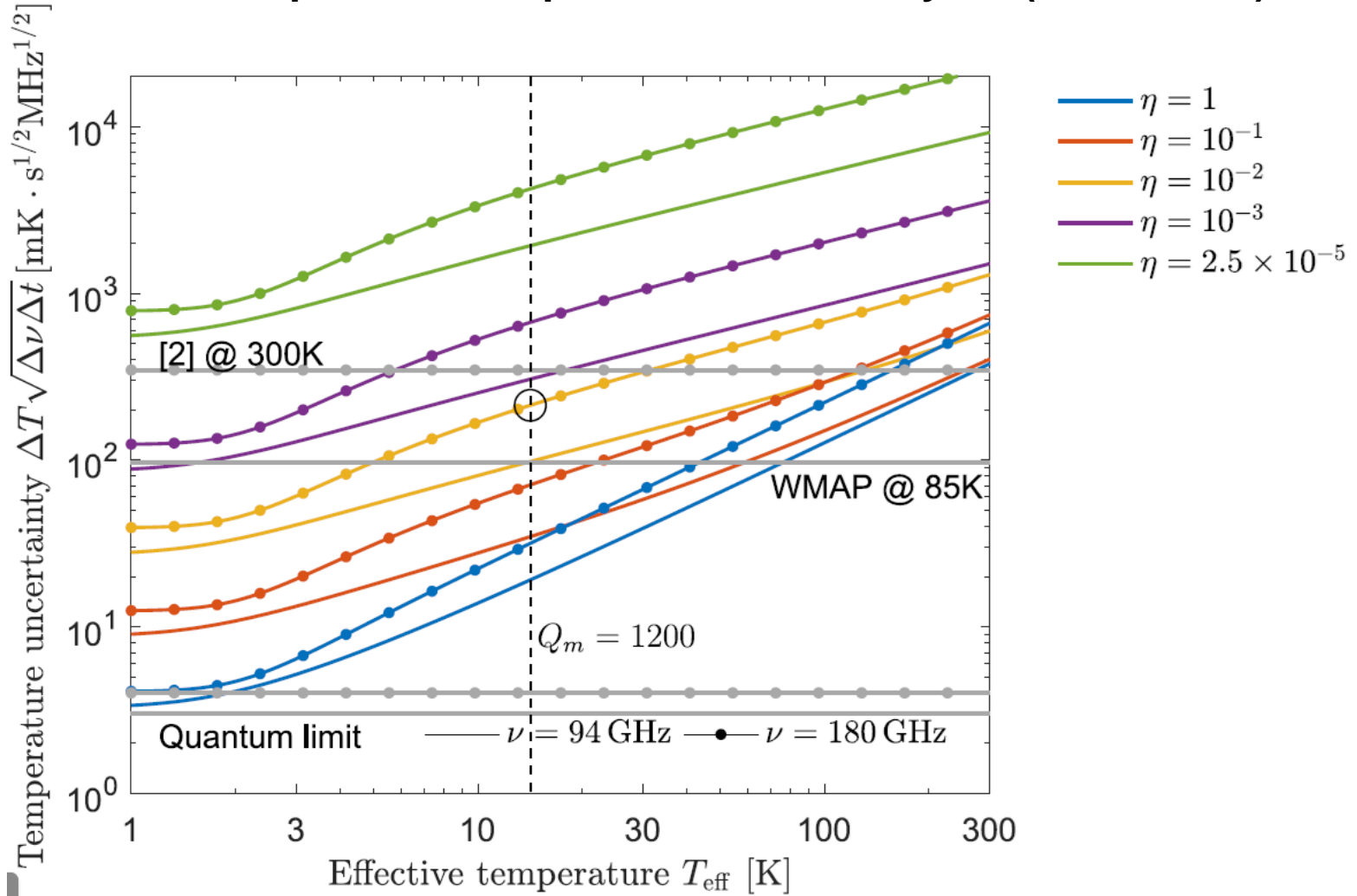


- $\eta = 1$
- $\eta = 10^{-1}$
- $\eta = 10^{-2}$
- $\eta = 10^{-3}$
- $\eta = 2.5 \times 10^{-5}$



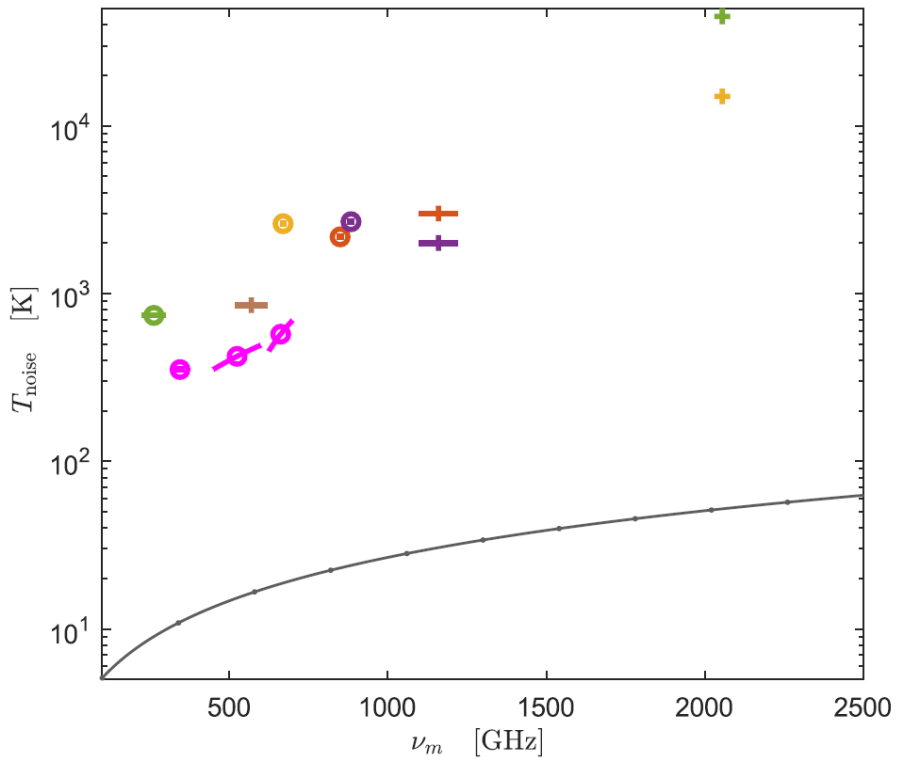
Sensitivity as a radiometer

Noise equivalent temperature uncertainty ΔT (normalized)

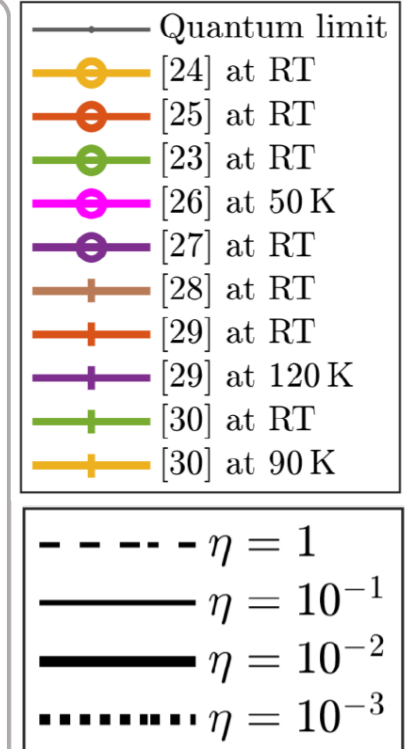
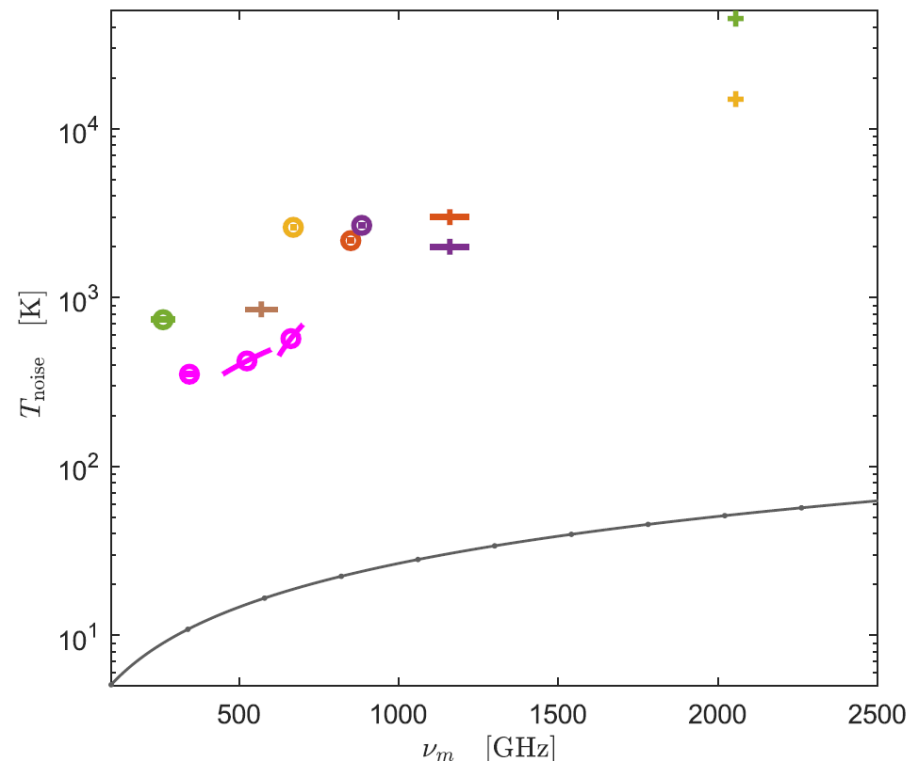


Sensitivity as a radiometer

Direct detection



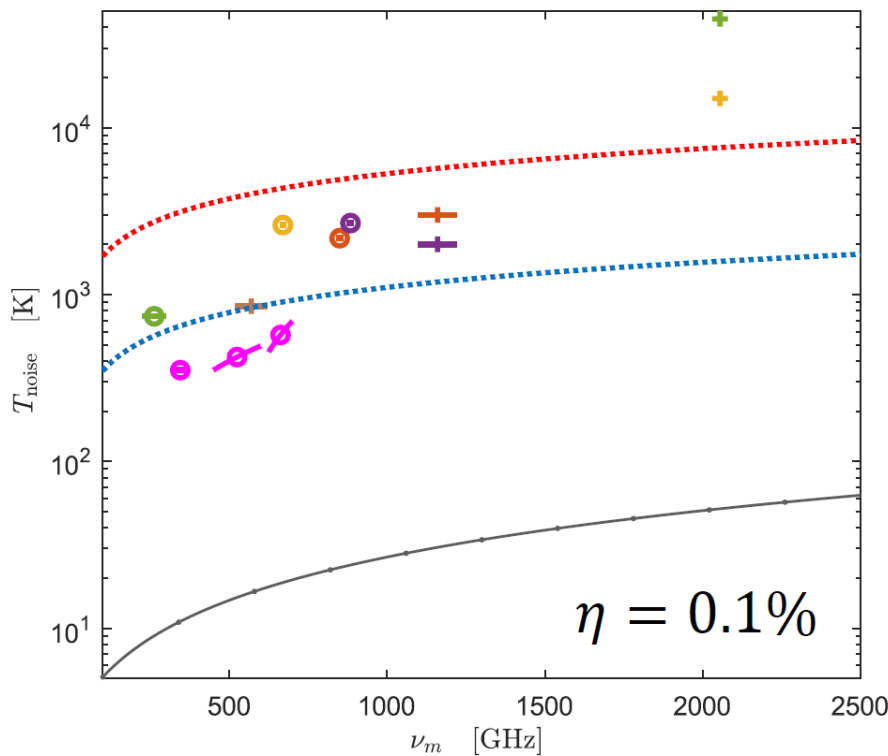
Heterodyne detection



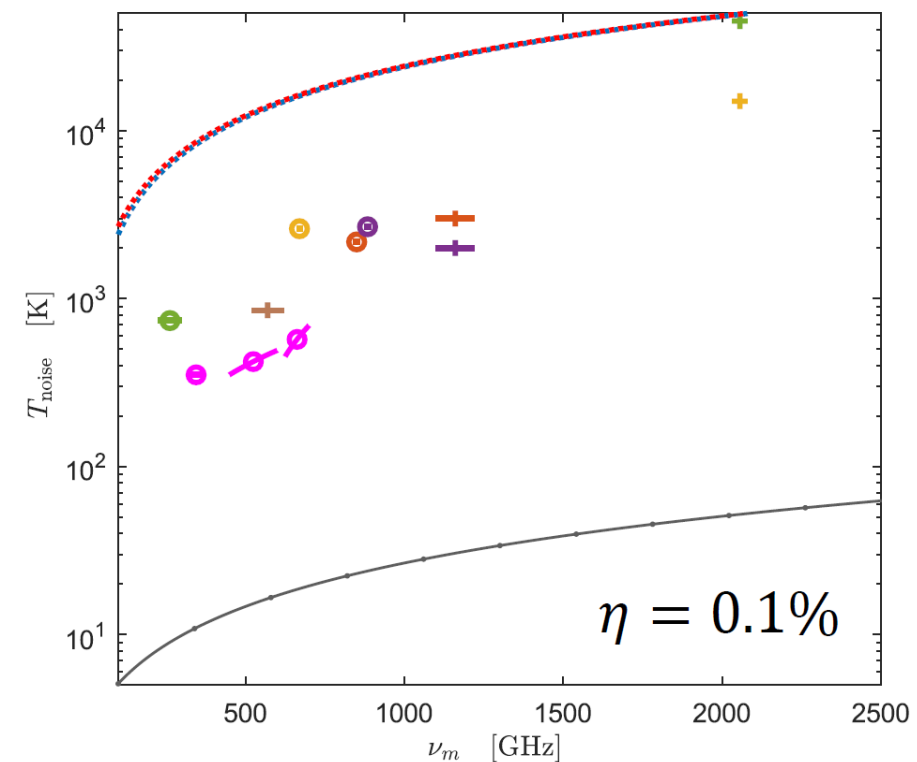
Sensitivity as a radiometer



Direct detection



Heterodyne detection



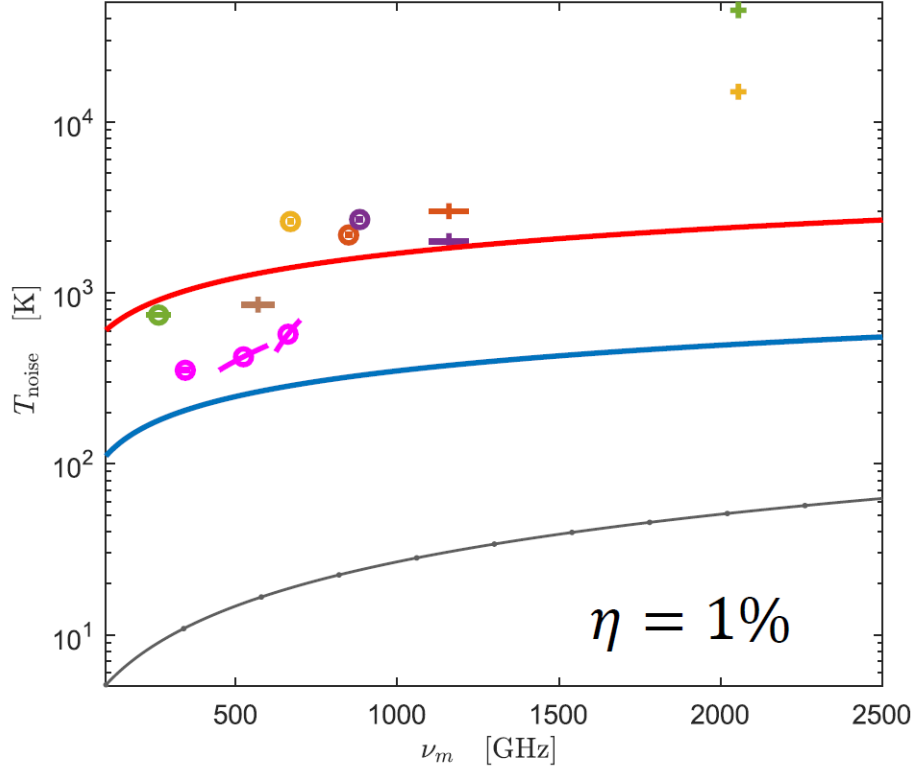
- Quantum limit
- [24] at RT
- [25] at RT
- [23] at RT
- [26] at 50 K
- [27] at RT
- [28] at RT
- [29] at RT
- [29] at 120 K
- [30] at RT
- [30] at 90 K

- $\eta = 1$
- $\eta = 10^{-1}$
- $\eta = 10^{-2}$
- $\eta = 10^{-3}$

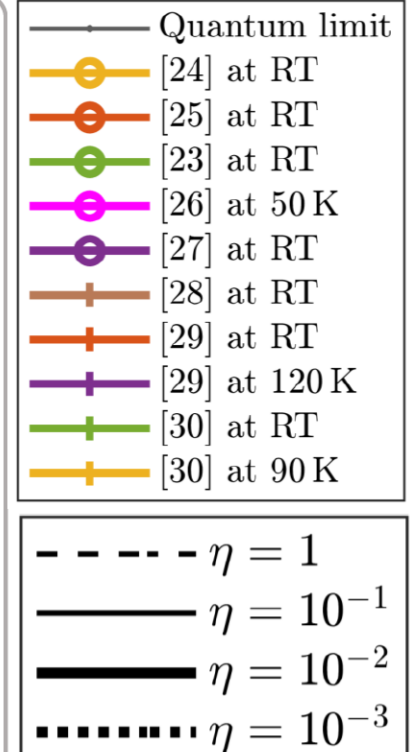
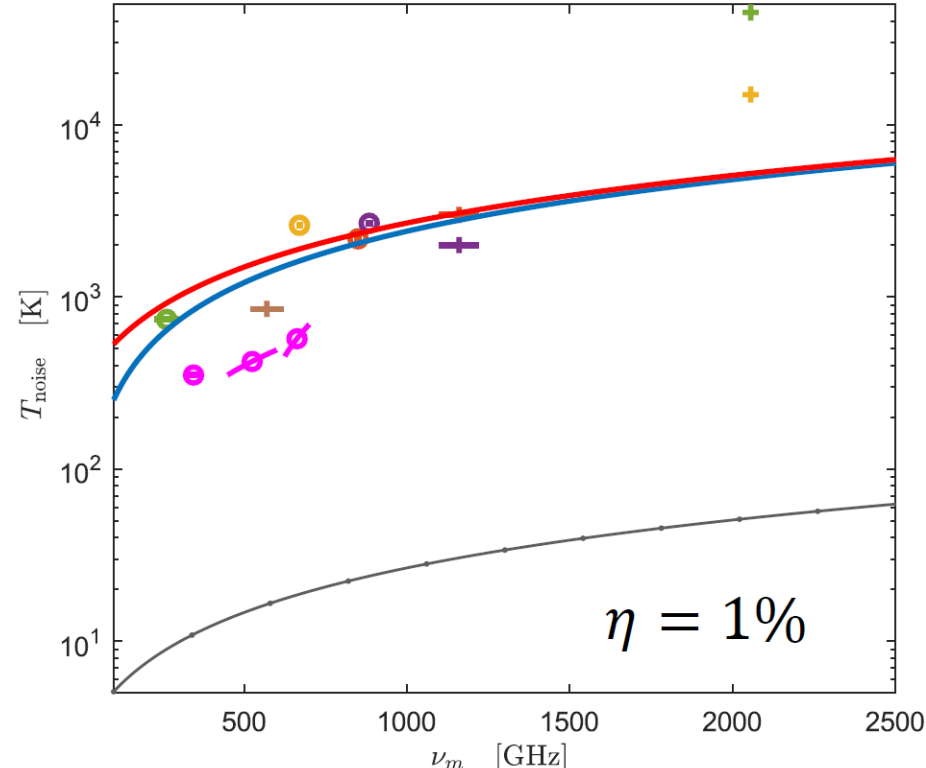
— $T_e = 10 \text{ K} ; Q_{\text{THZ}} \gtrsim 1000$
— $T_e = 290 \text{ K} ; Q_{\text{THZ}} < 100$

Sensitivity as a radiometer

Direct detection



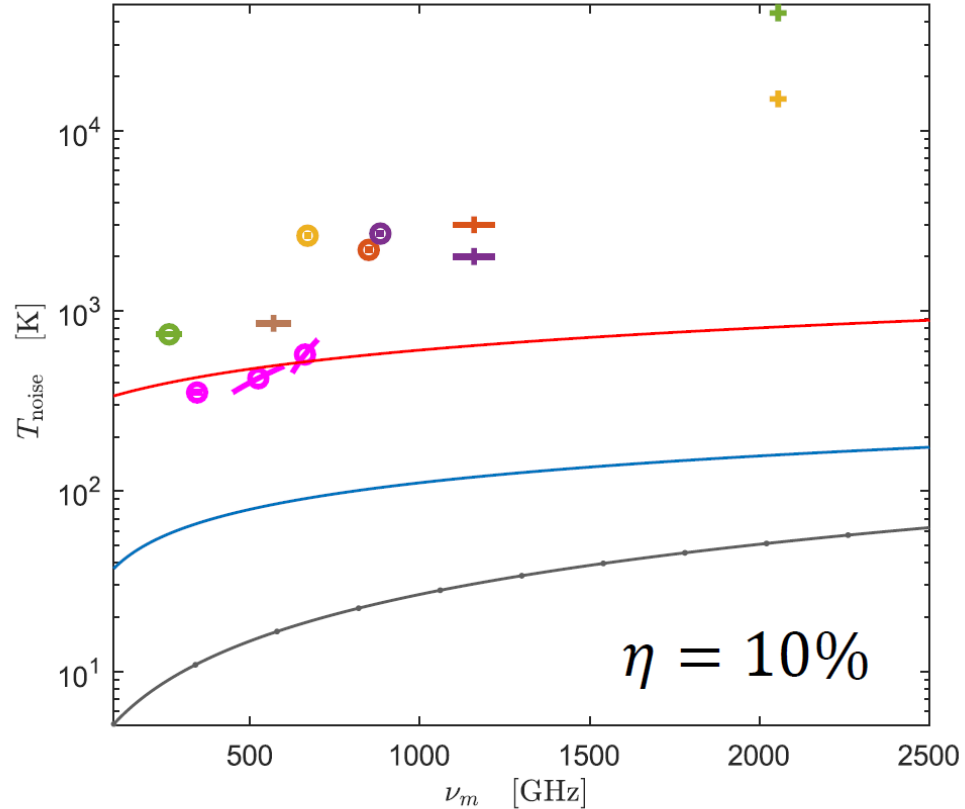
Heterodyne detection



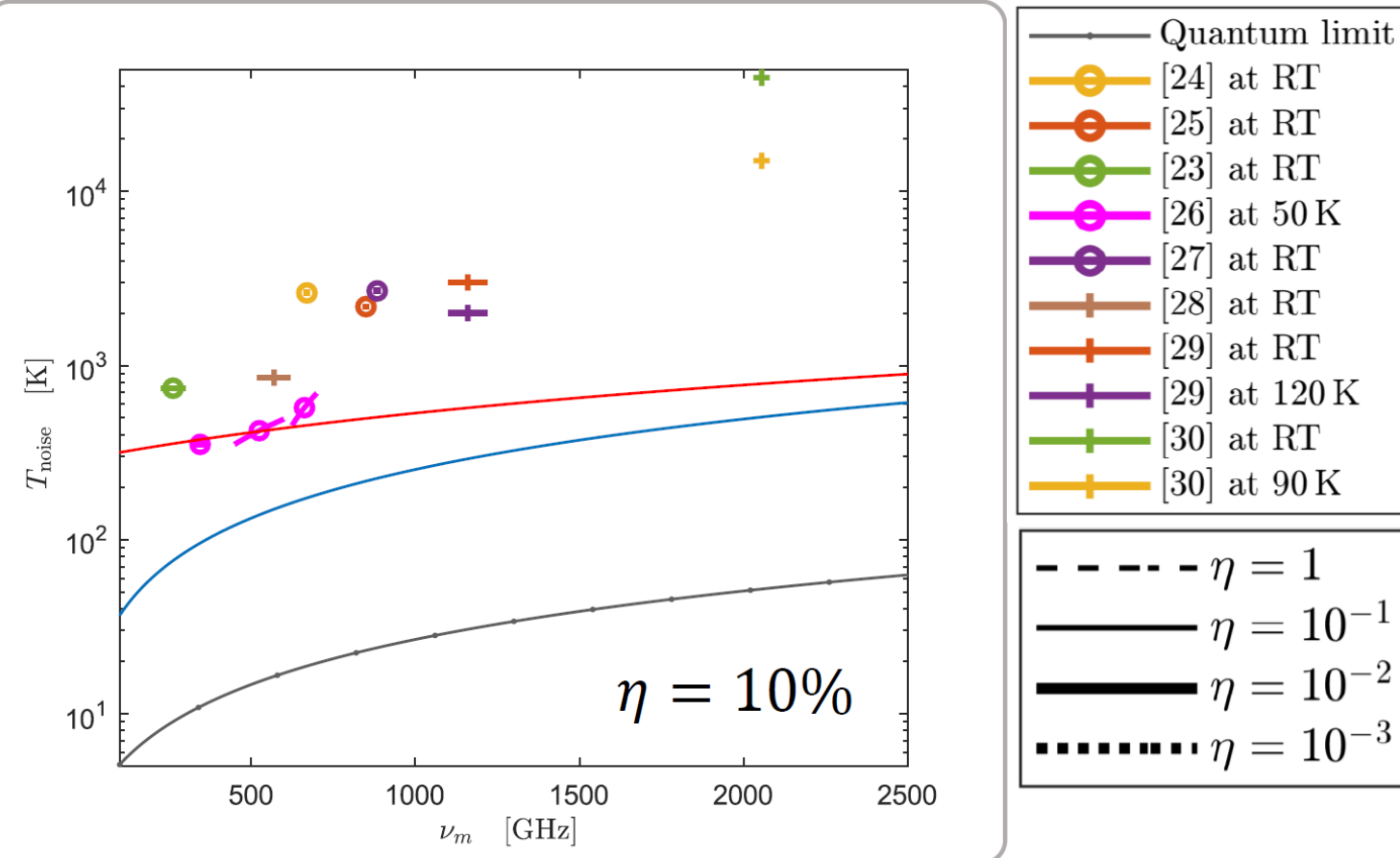
— $T_e = 10 \text{ K} ; Q_{\text{THZ}} \gtrsim 1000$
— $T_e = 290 \text{ K} ; Q_{\text{THZ}} < 100$

Sensitivity as a radiometer

Direct detection



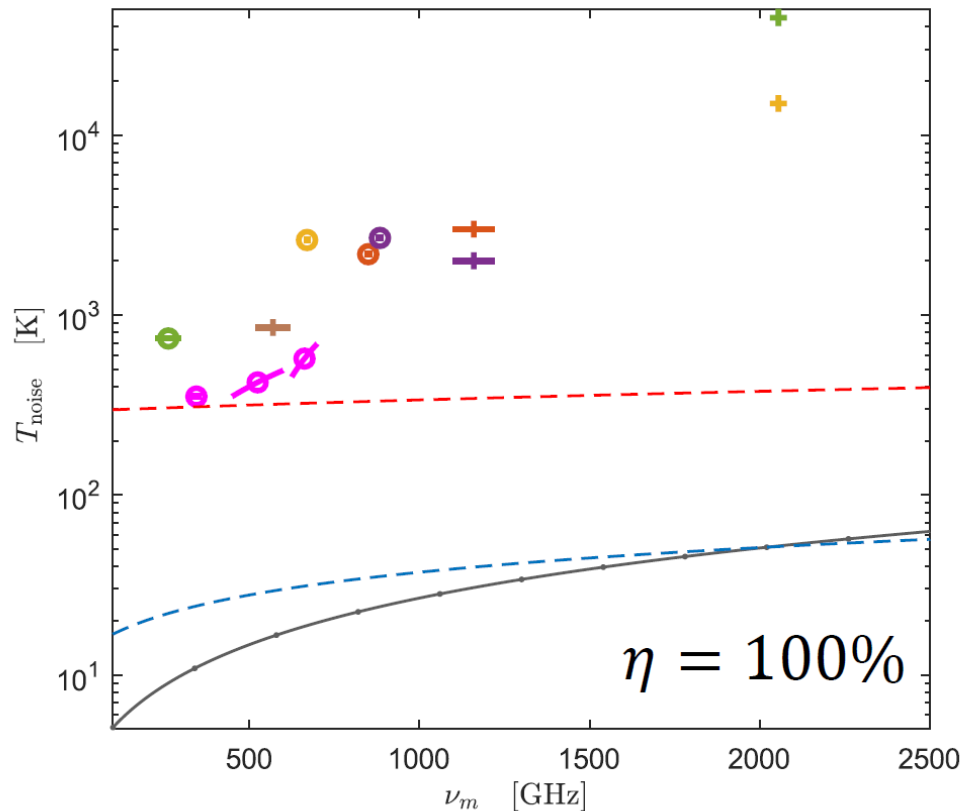
Heterodyne detection



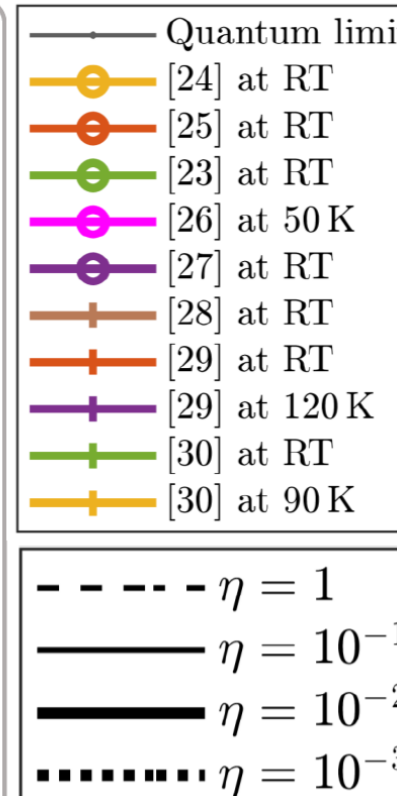
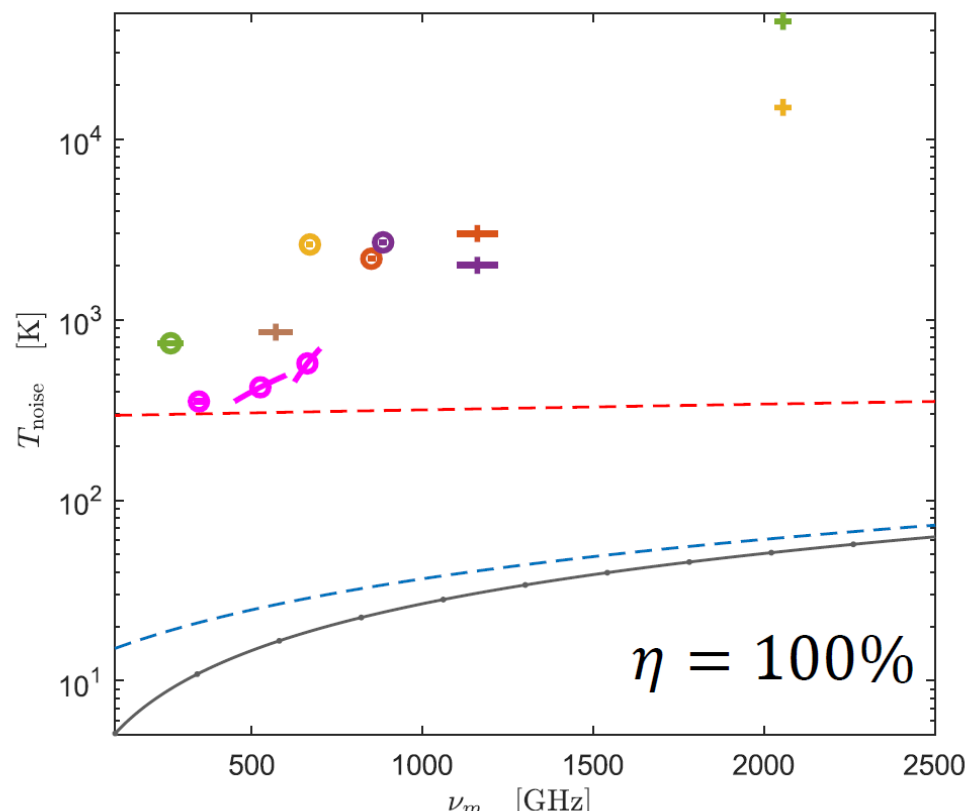
$\text{--- } T_e = 10 \text{ K} ; Q_{\text{THZ}} \gtrsim 1000$
 $\text{--- } T_e = 290 \text{ K} ; Q_{\text{THZ}} < 100$

Sensitivity as a radiometer

Direct detection

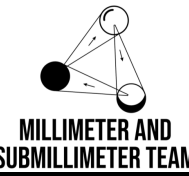


Heterodyne detection

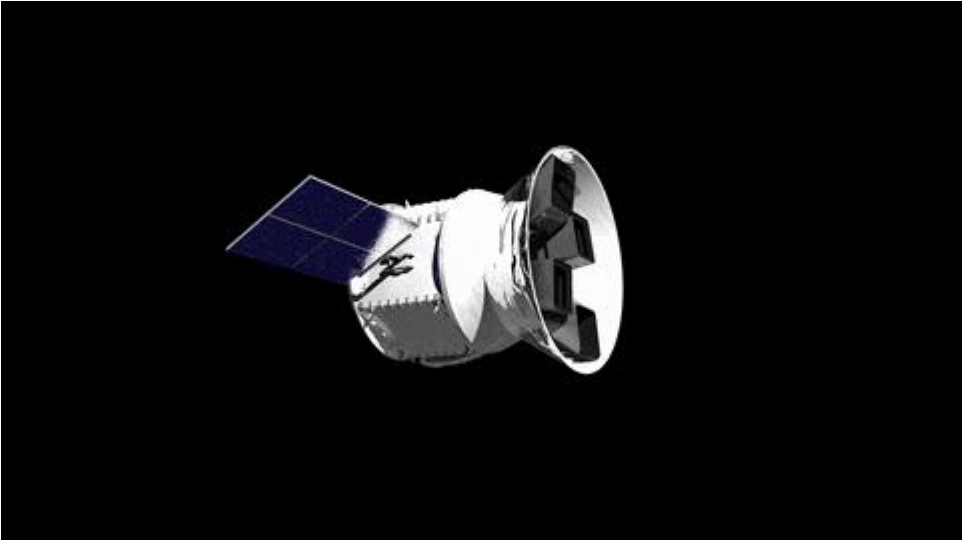


— $T_e = 10 \text{ K} ; Q_{\text{THZ}} \gtrsim 1000$
— $T_e = 290 \text{ K} ; Q_{\text{THZ}} < 100$

MARTINLARA CUBESAT



Millimeter wave Array at Room Temperature for INstruments in LEO Altitude Radio Astronomy (MARTINLARA) desarrolla una misión espacial de demostración en órbita integrando en un nanosatélite tecnologías de uso espacial en radioastronomía, observación de la Tierra, fotónica espacial, y propulsión espacial eléctrica.



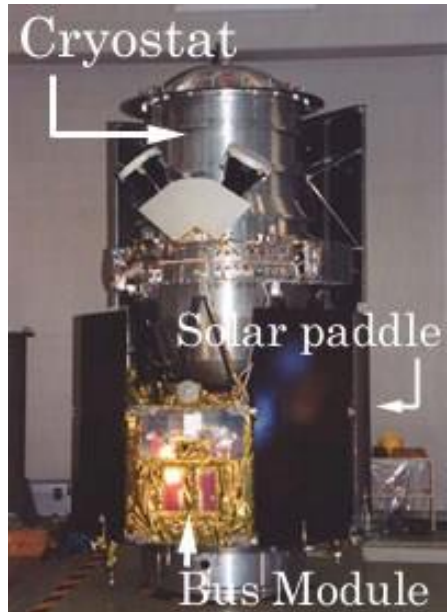
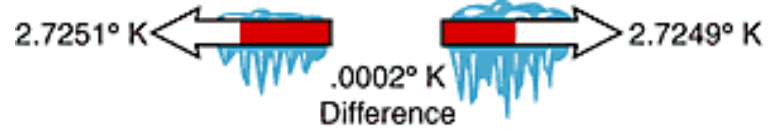
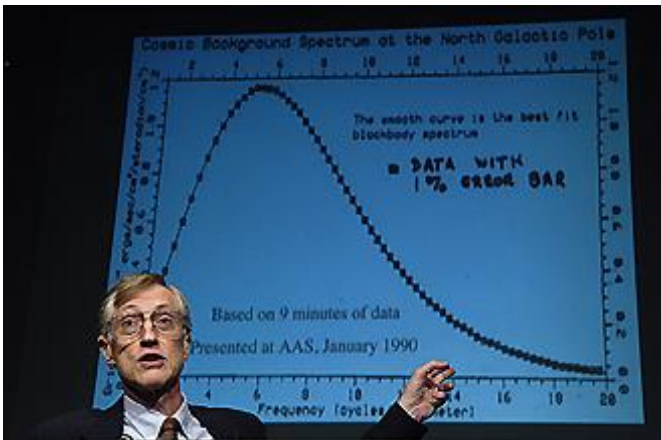
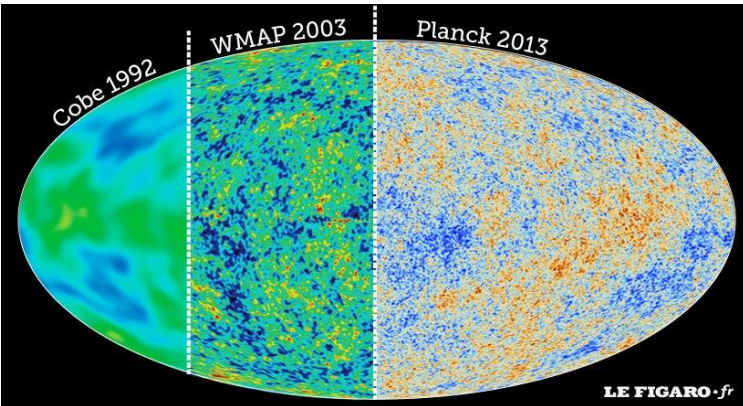
Millimeter wave Array at Room Temperature for
INstruments in LEO Altitude Radio Astronomy
(MARTINLARA)



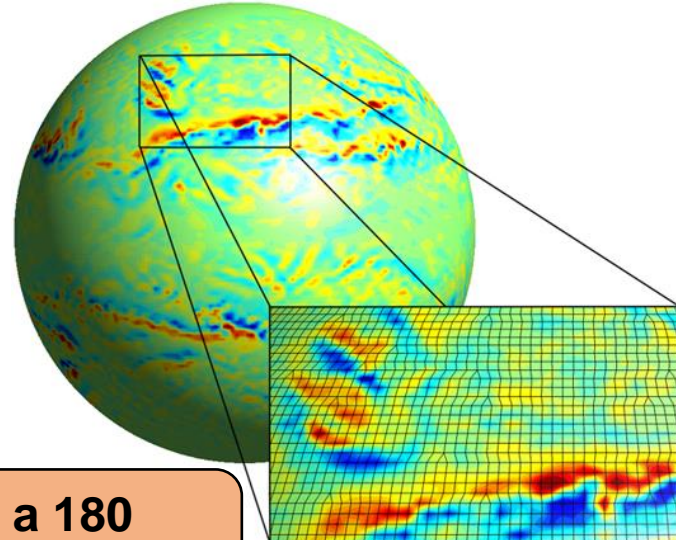
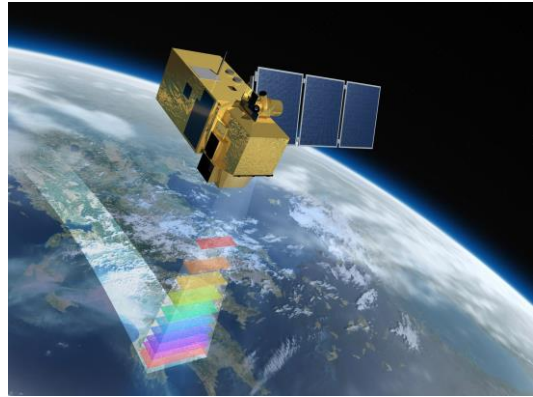
MARTINLARA CUBESAT

Anisotropías de CMB

CMB a 180, 200 y 250 GHz



“Numerical Weather Prediction”



Anisotropías de CMB

CMB a 150, 200 y 250 GHz

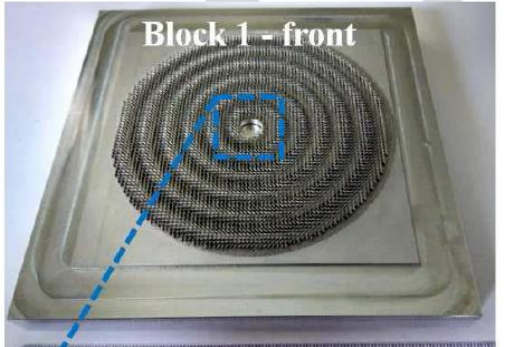
“Numerical Weather Prediction”

NWP a 150, 200 y 250 GHz

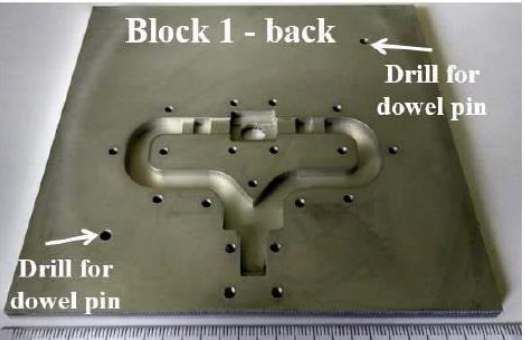
Eficiencia de apertura = 40%
Órbita = 800 km
Directividad = 38 dB
Apertura = 20λ
Cielo → 10° ($3 \times 3^\circ$)
Tierra → 10° (40x40 km de spot)

Diámetro_{150 GHz} = 8 cm
Diámetro_{200 GHz} = 6 cm
Diámetro_{250 GHz} = 4,8 cm

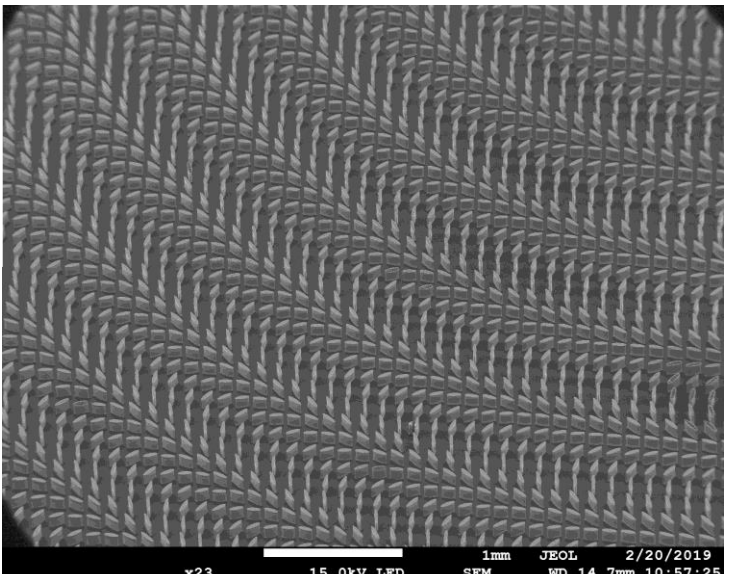
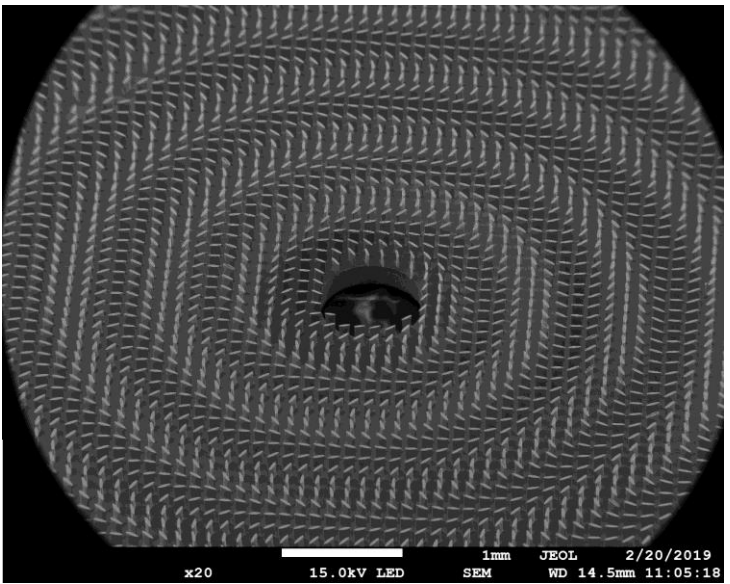
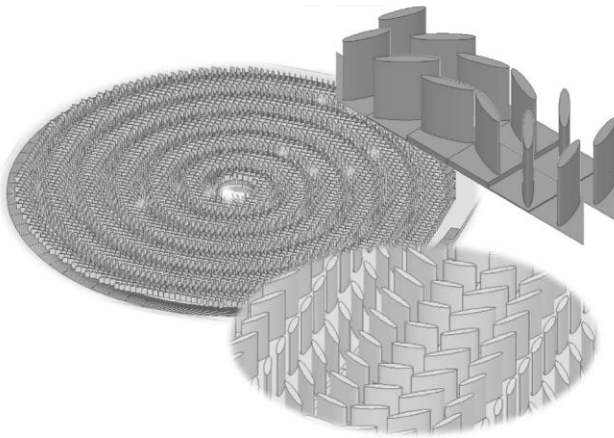
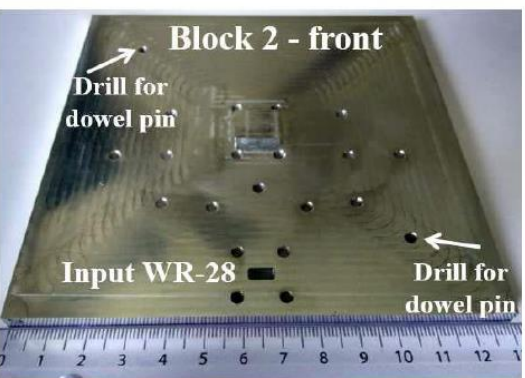
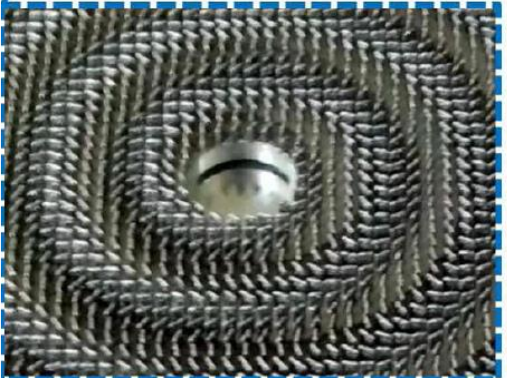
Antenas



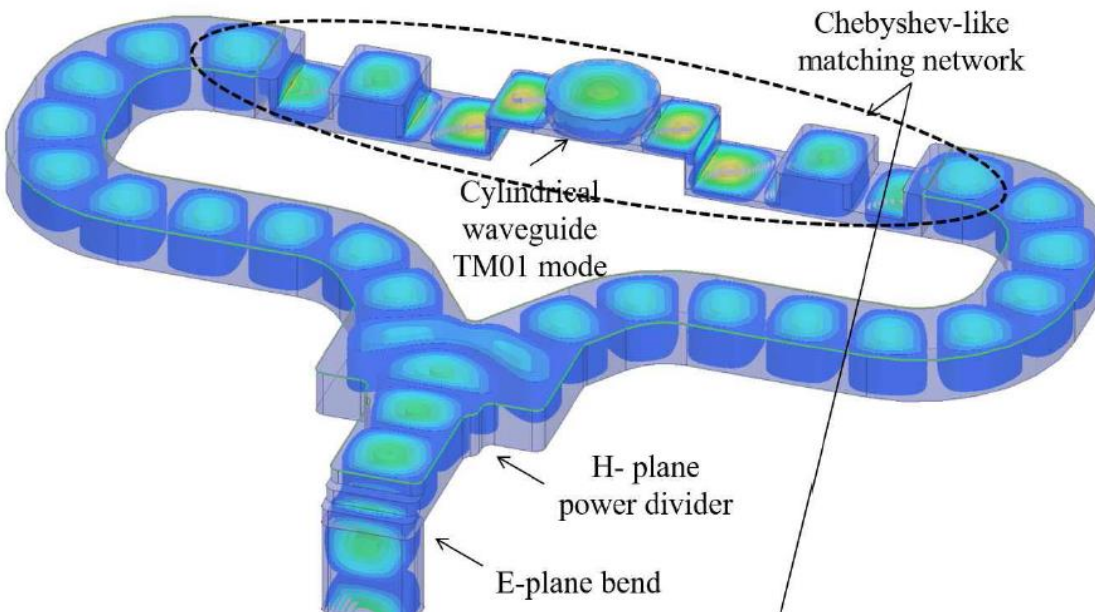
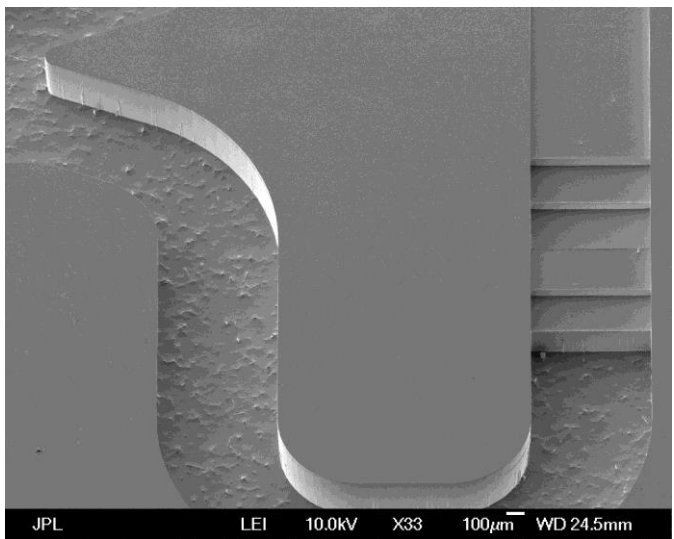
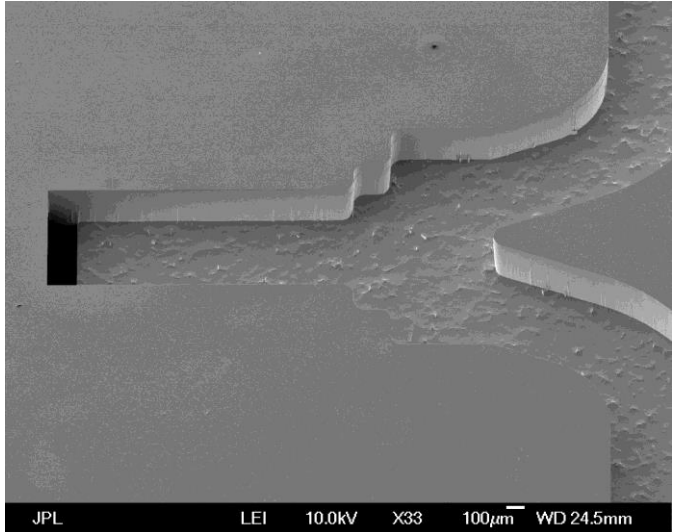
a)



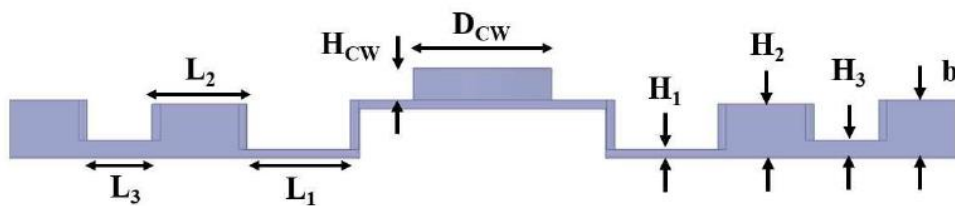
b)



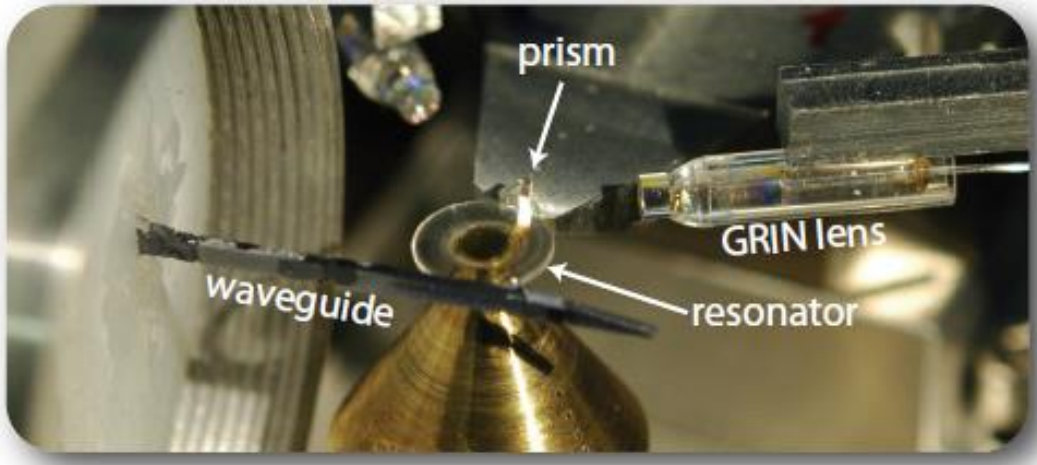
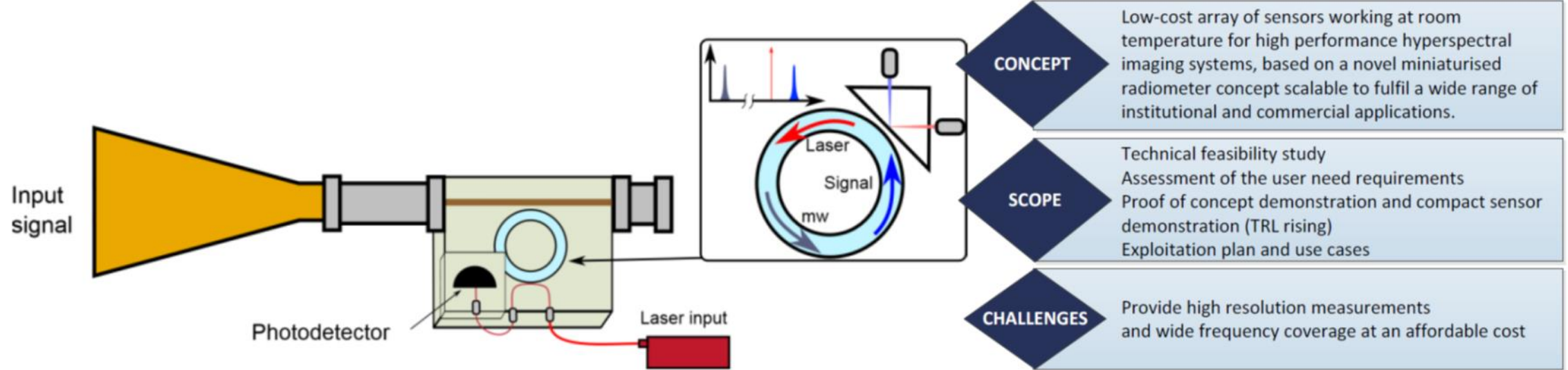
Antenas



(a)



Radiómetros



Cada radiómetro (sin guía de onda ni antena):

Caja de aluminio de 3 mm de espesor

Peso: 500 g

Volumen: 150 x 80 x 30 mm

Consumo: 10 W

Motivación

Electro optic up-converter

Experiment

Sensitivity as radiometer

Conclusions

Currently the experiment is limited by shot noise.

Optimized geometries and structures have to be designed to reduce thermal noise and increase efficiency.

For intrinsic (unloaded) microwave $Q \approx 1500$ and $\eta \approx 10\%$, the sensitivity would be 10 times above the quantum limit at room temperature.

The same concept can be extended to the sub-millimeter range by just scaling the resonator's geometry.

The conversion bandwidth is not fundamentally limited. We are seeking for other ideas and approaches to achieve broadband up-conversion.

Conclusiones: el equipo de trabajo



FRIEDRICH-ALEXANDER
UNIVERSITÄT
ERLANGEN-NÜRNBERG

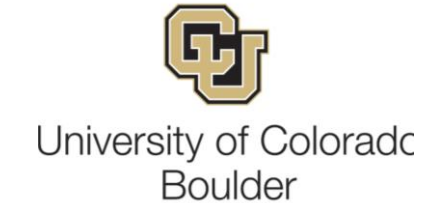
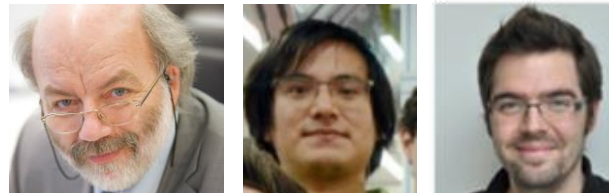


TECHNISCHE
UNIVERSITÄT
DARMSTADT

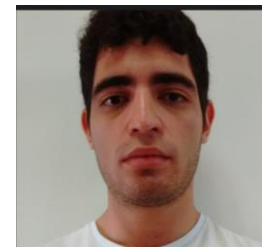


UNIVERSITY
of
OTAGO

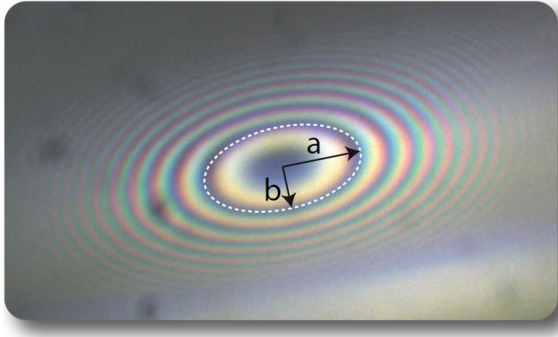
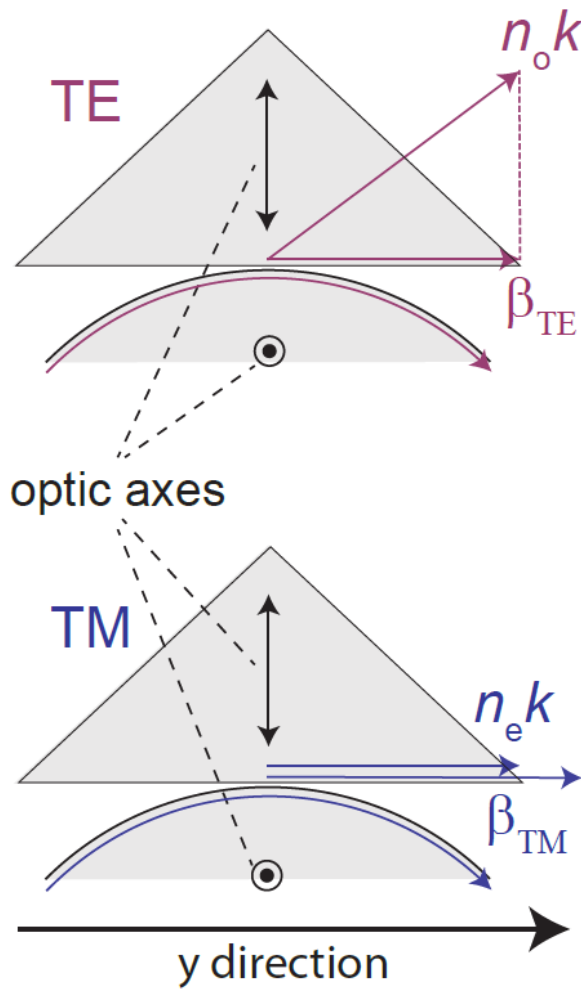
Te Whare Wānanga o Otago
NEW ZEALAND



Maynooth
University
National University
of Ireland Maynooth

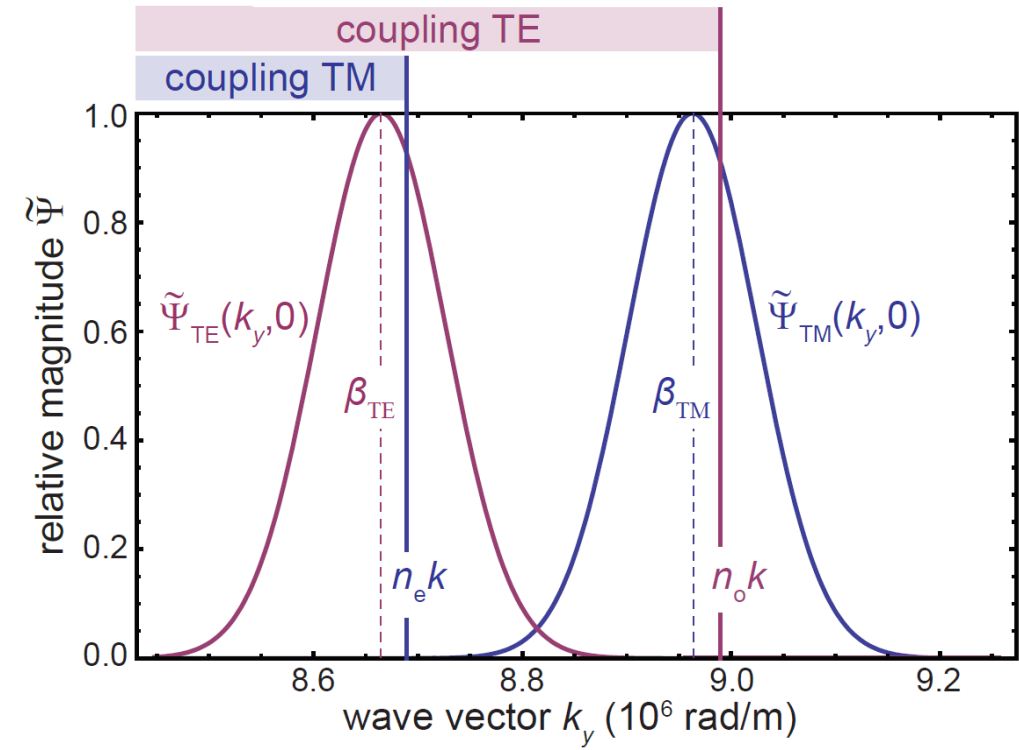


Electro-optic up-converter: increasing bandwidth

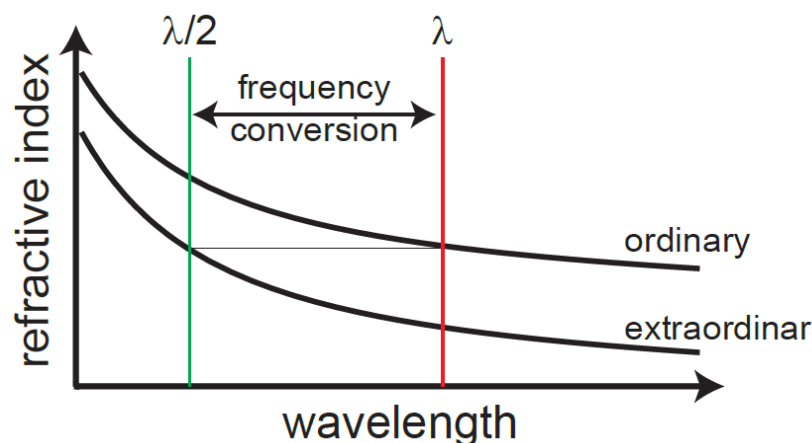


$$\Psi^p(x_p, y, z) \propto \Psi^r(x, y, z) \Big|_{\rho=r} \times \exp \left[-\kappa \left(d + \frac{z^2}{2r} + \frac{y^2}{2R} \right) \right]$$

$$|\tilde{\Psi}^p(k_y, k_z)|^2 \propto \exp \left[-\Delta y^2 (k_y - \beta)^2 - \Delta z^2 k_z^2 \right]$$



Electro-optic up-converter: increasing bandwidth



- dashed line: TM polarized
- straight line: TE polarized
- green: pump light
- red: signal light

